



# วิทยานิพนธ์

นวัตกรรมการผลิตวัสดุเปลี่ยนสถานะเพื่อใช้เป็นส่วนผสมในสิ่งก่อสร้าง  
เพื่ออนุรักษ์พลังงาน

**INNOVATIVE PRODUCTION OF PHASE CHANGE  
MATERIALS AS COMPOSITION USED IN BUILDING  
MATERIALS FOR ENERGY CONSERVATION**

นายกมพล ล้อเลิศสกุล

บัณฑิตวิทยาลัย มหาวิทยาลัยเกษตรศาสตร์

พ.ศ. 2551



ใบรับรองวิทยานิพนธ์  
บัณฑิตวิทยาลัย มหาวิทยาลัยเกษตรศาสตร์

วิศวกรรมศาสตรมหาบัณฑิต (วิศวกรรมเคมี)  
ปริญญา

วิศวกรรมเคมี	วิศวกรรมเคมี
สาขาวิชา	ภาควิชา

เรื่อง นวัตกรรมการผลิตวัสดุเปลี่ยนสถานะเพื่อใช้เป็นส่วนผสมในสิ่งก่อสร้างเพื่อนำรักษ์  
พลังงาน

Innovative Production of Phase Change Materials as Composition Used in Building  
Materials for Energy Conservation

ผู้วิจัย นายกำพล ล้อเลิศสกุล

ได้พิจารณาเห็นชอบโดย

อาจารย์ที่ปรึกษาวิทยานิพนธ์หลัก

( รองศาสตราจารย์ศรีกฤศยา สุวิจิตคานนท์, Ph.D. )

หัวหน้าภาควิชา

( รองศาสตราจารย์ไพบูล คงคำนยชา, Ph.D. )

บัณฑิตวิทยาลัย มหาวิทยาลัยเกษตรศาสตร์รับรองแล้ว

( รองศาสตราจารย์กฤชนา วีระกุล, D.Agr. )  
คณบดีบัณฑิตวิทยาลัย

วันที่ ๒๙ เดือน พฤษภาคม พ.ศ. ๒๕๕๑

วิทยานิพนธ์

เรื่อง

นวัตกรรมการผลิตวัสดุเปลี่ยนสถานะเพื่อใช้เป็นส่วนผสมในสิ่งก่อสร้าง  
เพื่ออนรักษ์พลังงาน

Innovative Production of Phase Change Materials as Composition Used in Building Materials  
for Energy Conservation

โดย

นายกมพล สืบเลิศสกุล

เสนอ

บัณฑิตวิทยาลัย มหาวิทยาลัยเกษตรศาสตร์  
เพื่อความสมบูรณ์แห่งปริญญาวิศวกรรมศาสตรมหาบัณฑิต (วิศวกรรมเคมี)  
พ.ศ. 2551

กำพล สื้อเลิศสกุล 2551: นวัตกรรมการผลิตวัสดุเปลี่ยนสถานะเพื่อใช้เป็นส่วนผสมในสิ่งก่อสร้างเพื่อนรักษายพลังงาน ปริญญาวิศวกรรมศาสตรมหาบัณฑิต (วิศวกรรมเคมี) สาขาวิชาระบบที่ปรึกษาวิทยานิพนธ์หลัก:  
รองศาสตราจารย์ศรีกัลยา สุวิจิตดานนท์, Ph.D. 131 หน้า

งานวิจัยนี้มีจุดประสงค์ในการนำวัสดุเปลี่ยนสถานะ (Phase Change Materials, PCMs) มาทดลองใช้งานร่วมกับวัสดุก่อสร้าง โดยวัสดุเปลี่ยนสถานะที่ใช้คือพาราฟิน ได้แบ่งการทดลองออกเป็นสองส่วน โดยส่วนแรกเป็นการผลิตวัสดุเปลี่ยนสถานะ โดยการนำถ่านօลมานาคูดชั้นพาราฟินด้วยวิธีการแร่แบบธรรมชาติ และวิธีการแร่แบบระบบสุญญากาศ จากนั้นจึงนำไปทำการทดสอบหาคุณสมบัติทางความร้อน ในการทดลองพบว่าการคุณชั้นพาราฟินของถ่านօลมายังคงอยู่ด้วยวิธีการแร่แบบระบบสุญญากาศ สามารถดูดซับพาราฟินได้ดีกว่าวิธีการแร่แบบธรรมชาตามาก นอกเหนือจากนี้สภาวะที่ใช้ในการแร่แบบระบบสุญญากาศ ยังมีผลต่อการคุณชั้นพาราฟินของถ่านօลมายังคงอยู่ด้วย ทำการทดลองในส่วนที่สองเป็นการทดสอบประสิทธิภาพของวัสดุเปลี่ยนสถานะที่ผลิตได้โดยการนำไปใช้ร่วมกับปูนซีเมนต์ ในการทดลองได้สร้างห้องจำลองขนาด  $150 \times 150 \times 150$  มิลลิเมตร โดยหลังค่าด้านบนของห้องจำลองเป็นมอร์ตาร์เพลทและมอร์ตาร์ PCMs เพลท ส่วนด้านบนของหลังคามีหลอดไฟขนาด 100 วัตต์ให้ความร้อน พบว่าห้องจำลองที่หลังคามีมอร์ตาร์ PCMs เพลท สามารถดูดเก็บพลังงานความร้อนเพื่อป้องกันความร้อนเข้าสู่ภายในห้องได้ดีกว่ามอร์ตาร์เพลท นอกจากนี้ความแข็งแกร่งของปูนซีเมนต์ที่ใช้งานร่วมกับวัสดุเปลี่ยนสถานะยังได้รับการทดสอบอีกด้วย โดยความแข็งแกร่งของวัสดุจะลดลงเมื่อปริมาณของวัสดุเปลี่ยนสถานะเพิ่มขึ้น

Kamphol Lorlertsakul 2008: Innovative Production of Phase Change Materials as Composition Used in Building Materials for Energy Conservation. Master of Engineering (Chemical Engineering), Major Field: Chemical Engineering, Department of Chemical Engineering. Thesis Advisor: Associate Professor Sirikalaya Suwatjittanon, Ph.D. 131 pages.

This research aimed to study an application of Phase Change Materials (PCMs) blended with constructional materials. Paraffin was used as the PCMs. Experiments were performed in two following parts. First, the PCMs was synthesised by an absorption of paraffin with fly ash via normal immersion and vacuum immersion. Thermal property of the synthesised PCMs was tested. Results showed that paraffin absorbability of fly ash via vacuum immersion was considerably higher than normal immersion and the absorbability was also effected by the vacuum immersion conditions. Second, effectiveness of the synthesised PCMs blended with cement was investigated. A 150x150x150 millimeter model room was built. Mortar plate and mortar-PCMs-plate were used as a roof, each at a time. The room inside was heated by a 100 watts electric light bulb equipped on a housetop. Results showed higher heat absorption of the mortar-PCMs-plate roof so it could prevent heat flow into the room more than mortarplate one. Moreover, strength of the PCMs blended with the cement was tested and it was found that the strength decreased with increasing amount of the PCMs.

Kamphol Lorlertsakul

Student's signature

Sirikalaya Suwatjittanon

Thesis Advisor's signature

21 / 05 / 07

## กิตติกรรมประกาศ

วิทยานิพนธ์ฉบับนี้สามารถสำเร็จได้ด้วยความช่วยเหลือและความกรุณาจากบุคคลผู้มีพระคุณหลายท่าน ข้าพเจ้าขอกราบขอบพระคุณ รศ.ดร.ศิริกัลยา สุวิจิตานันท์ ประธานกรรมการที่ปรึกษา ที่ให้ความดูแลเอาใจใส่และให้กำปรึกษาแนะนำในการทำวิทยานิพนธ์อย่างดีเยี่ยม

งานวิจัยในวิทยานิพนธ์ฉบับนี้ได้รับทุนสนับสนุนจากหน่วยงานดังต่อไปนี้ สถาบันพัฒนาและวิจัยแห่งมหาวิทยาลัยเกษตรศาสตร์ และโครงการพัฒนาบัณฑิตและวิจัยด้านวิศวกรรมเคมี ภาควิชาเคมี คณะวิศวกรรมศาสตร์ มหาวิทยาลัยเกษตรศาสตร์ (ADB)

ขอขอบพระคุณเจ้าหน้าที่ปฏิบัติการและเจ้าหน้าที่ธุรการของภาควิชาเคมีทุกท่าน ที่ช่วยติดต่อประสานงานและอำนวยความสะดวกในการทำงานจนสำเร็จลุล่วง

ขอขอบคุณครอบครัว เพื่อนๆ พี่ๆ น้องๆ วิศวกรรมเคมี และบุคคลรอบข้างทุกคนที่ให้ความช่วยเหลือ ให้กำลังใจ และความรู้สึกที่ดีตลอดมา รวมถึงคำแนะนำและสนับสนุนการทำวิทยานิพนธ์จนสำเร็จลุล่วงได้

ประโภชน์อันได้อันจะเกิดจากวิทยานิพนธ์ฉบับนี้ ขอขอบแด่ คุณพ่อ คุณแม่ และคณาจารย์ ทุกท่าน ที่เมตตาอบรมสั่งสอน ให้คำแนะนำต่างๆ จนถึงปัจจุบัน

กำпад ล้อเดิศสกุล

เมษายน 2551

## สารบัญ

หน้า

สารบัญ	(1)
สารบัญตาราง	(2)
สารบัญภาพ	(5)
คำนำ	1
วัตถุประสงค์และขอบเขตงานวิจัย	3
การตรวจสอบสาร	5
อุปกรณ์และวิธีการ	30
ผลและวิเคราะห์ผลการทดลอง	46
สรุปและข้อเสนอแนะ	84
สรุป	84
ข้อเสนอแนะ	86
เอกสารและสิ่งอ้างอิง	87
ภาคผนวก	90
ภาคผนวก ก ข้อมูลที่ได้จากการวิเคราะห์ตัวอย่าง	91
ภาคผนวก ข ข้อมูลสมบัติทางกลศาสตร์ที่ได้จากการทดสอบแรงดึงของผลิตภัณฑ์	109
ภาคผนวก ค การคำนวณค่าความจุความร้อน จุดหลอมเหลวและค่าความร้อนแห้ง	125
ภาคผนวก ง การทดสอบหากำลังอัดของมอร์ตาร์ซีเมนต์	127
ภาคผนวก จ องค์ประกอบทางเคมีของถ้าลอบ	130
ประวัติการศึกษา และการทำงาน	131

## สารบัญตาราง

ตารางที่	หน้า
1 เปรียบเทียบคุณสมบัติของวัสดุที่ใช้ในการเก็บสะสมพลังงานความร้อน	5
2 ตัวอย่างสารอินทรีย์ที่นำมาใช้เป็นวัสดุ PCMs	8
3 ตัวอย่างสารอินทรีย์ที่นำมาใช้เป็นวัสดุ PCMs	8
4 เปรียบเทียบข้อดี – ข้อเสียระหว่างสารอินทรีย์กับสารอินทรีย์	9
5 องค์ประกอบทางเคมีของปูนซีเมนต์ปอร์ตแลนด์และถ้าลอยจาก 5 แหล่งที่ผลิตได้ในประเทศไทย	16
6 สภาวะที่ใช้ทดลองเพื่อหาสภาวะที่เหมาะสมต่อการผลิต Paraffin / Fly Ash Composite PCMs	34
7 อัตราส่วนผสมระหว่าง PCMs : ปูนซีเมนต์ : ทราย : น้ำ	39
8 อัตราส่วนระหว่าง PCMs : ปูนซีเมนต์ปอร์ตแลนด์ : ทราย : น้ำ	45
9 พื้นที่ผิว ขนาดของรูพรุนและปริมาตรรูพรุนของถ้าลอย	47
10 คุณสมบัติทางความร้อนของพาราฟิน	51
11 ความดันสุญญากาศและสภาวะต่างๆที่ใช้ในการทดลองและคุณสมบัติทางความร้อนของสารตัวอย่าง	53
12 เปอร์เซ็นต์ความร้อนแห้งของ Paraffin / Fly Ash Composite PCMs ที่ความดันสุญญากาศต่างๆ เทียบกับพาราฟิน	58
13 เวลาในการแช่ถ้าลอยในพาราฟินและสภาวะต่างๆที่ใช้ในการทดลองและคุณสมบัติทางความร้อนของสารตัวอย่าง	59
14 เปอร์เซ็นต์ความร้อนแห้งของ Paraffin / Fly Ash Composite PCMs ที่เวลาการแช่พาราฟินต่างๆ เทียบกับพาราฟิน	63
15 อุณหภูมิของพาราฟินและสภาวะต่างๆที่ใช้ในการทดลองและคุณสมบัติทางความร้อนของสารตัวอย่าง	63
16 เปอร์เซ็นต์ความร้อนแห้งของ Paraffin / Fly Ash Composite PCMs ที่อุณหภูมิพาราฟินต่างๆ เทียบกับพาราฟิน	67
17 กำลังรับแรงอัดของปูนซีเมนต์ผสมถ้าลอยแม่เม้าท์ที่อัตราส่วนต่างๆ	77
18 กำลังรับแรงอัดของปูนซีเมนต์ผสมถ้าลอย BLCP ที่อัตราส่วนต่างๆ	78
19 กำลังรับแรงอัดของปูนซีเมนต์ผสม PCMs ที่อัตราส่วนต่างๆ	79

## สารบัญตาราง (ต่อ)

ตารางผนวกที่	หน้า
ก1 ข้อมูลพื้นที่พิwa ขนาดของรูปrunและปริมาตรrunของถ้าloy	91
ก2 ความดันสูญญากาศและสภาพต่างๆที่ใช้ในการทดลองและคุณสมบัติทางความร้อนของสารตัวอย่าง	93
ก3 เวลาในการแข่งถ้าloyในพาราfinและสภาพต่างๆที่ใช้ในการทดลองและคุณสมบัติทางความร้อนของสารตัวอย่าง	93
ก4 อุณหภูมิของพาราfinและสภาพต่างๆที่ใช้ในการทดลองและคุณสมบัติทางความร้อนของสารตัวอย่าง	94
ก5 กำลังรับแรงอัดของปูนซีเมนต์ผสมถ้าloyแม่เมะที่อัตราส่วนต่างๆ	103
ก6 กำลังรับแรงอัดของปูนซีเมนต์ผสมถ้าloy BLCP ที่อัตราส่วนต่างๆ	103
ก7 กำลังรับแรงอัดของปูนซีเมนต์ผสม PCMs ที่อัตราส่วนต่างๆ	104
ข1 ข้อมูลการทดสอบแรงกดของมอร์ตาร์ลูกบาศก์ปูนซีเมนต์	109
ข2 ข้อมูลการทดสอบแรงกดของมอร์tarลูกบาศก์ปูนซีเมนต์ผสมถ้าloyแม่เมะที่อัตราส่วน 10 : 90	110
ข3 ข้อมูลการทดสอบแรงกดของมอร์tarลูกบาศก์ปูนซีเมนต์ผสมถ้าloyแม่เมะที่อัตราส่วน 20 : 80	111
ข4 ข้อมูลการทดสอบแรงกดของมอร์tarลูกบาศก์ปูนซีเมนต์ผสมถ้าloyแม่เมะที่อัตราส่วน 30 : 70	112
ข5 ข้อมูลการทดสอบแรงกดของมอร์tarลูกบาศก์ปูนซีเมนต์ผสมถ้าloyแม่เมะที่อัตราส่วน 40 : 60	113
ข6 ข้อมูลการทดสอบแรงกดของมอร์tarลูกบาศก์ปูนซีเมนต์ผสมถ้าloyแม่เมะที่อัตราส่วน 50 : 50	114
ข7 ข้อมูลการทดสอบแรงกดของมอร์tarลูกบาศก์ปูนซีเมนต์ผสมถ้าloy BLCP ที่อัตราส่วน 10 : 90	115
ข8 ข้อมูลการทดสอบแรงกดของมอร์tarลูกบาศก์ปูนซีเมนต์ผสมถ้าloy BLCP ที่อัตราส่วน 20 : 80	116

## สารบัญตาราง (ต่อ)

ตารางผนวกที่	หน้า
ข9 ข้อมูลการทดสอบแรงกดของมอร์ตาร์ลูกบาศก์ปูนซีเมนต์ผสมถ้าloy BLCP ที่อัตราส่วน 30 : 70	117
ข10 ข้อมูลการทดสอบแรงกดของมอร์tarลูกบาศก์ปูนซีเมนต์ผสมถ้าloy BLCP ที่อัตราส่วน 40 : 60	118
ข11 ข้อมูลการทดสอบแรงกดของมอร์tarลูกบาศก์ปูนซีเมนต์ผสมถ้าloy BLCP ที่อัตราส่วน 50 : 50	119
ข12 ข้อมูลการทดสอบแรงกดของมอร์tarลูกบาศก์ปูนซีเมนต์ผสม PCMs ที่อัตราส่วน 10 : 90	120
ข13 ข้อมูลการทดสอบแรงกดของมอร์tarลูกบาศก์ปูนซีเมนต์ผสม PCMs ที่อัตราส่วน 20 : 80	121
ข14 ข้อมูลการทดสอบแรงกดของมอร์tarลูกบาศก์ปูนซีเมนต์ผสม PCMs ที่อัตราส่วน 30 : 70	122
ข15 ข้อมูลการทดสอบแรงกดของมอร์tarลูกบาศก์ปูนซีเมนต์ผสม PCMs ที่อัตราส่วน 40 : 60	123
ข16 ข้อมูลการทดสอบแรงกดของมอร์tarลูกบาศก์ปูนซีเมนต์ผสม PCMs ที่อัตราส่วน 50 : 50	124
ง1 ขนาดคละของ trajectory มาตรฐาน	127
ง2 ค่าคลาดเคลื่อนที่อนุญาตของการบ่มน้ำที่อัตราส่วน 20 : 80	129
จ1 องค์ประกอบทางเคมีของถ้าloy	130

## สารบัญภาพ

ภาพที่	หน้า
1 อิมัลชันที่มีวัลภากภัยในเป็นพาราฟินและวัลภากภายนอกสารละลายเจลatin	11
2 ภาพถ่ายจาก SEM ของ Microencapsulated ที่เตรียมด้วยวิธี Complex Coacervation	12
3 ภาพถ่ายจาก SEM ของ Microencapsulated ที่เตรียมด้วยวิธี Spray Drying	12
4 ข้ามของ David Allan ที่ใช้ PCM มาเป็นสารที่ให้ความอบอุ่นภายในข้ามในเวลา กลางคืน	13
5 รูปร่างลักษณะของถ้าโลยที่ถ่ายโดย SEM	18
6 ชุดเครื่องมือ DSC	19
7 ชุดอุปกรณ์สำัญของเครื่อง Differential Scanning Calorimetry (DSC)	20
8 ตำแหน่งการจัดวางอุปกรณ์ของ DSC Apparatus	21
9 คุณสมบัติต่างๆที่ทดสอบได้จากเครื่อง DSC	22
10 ตัวอย่างกราฟในช่วงเริ่มแรกของการทดสอบสารตัวอย่างด้วยเครื่อง DSC	23
11 กราฟที่ได้จากการทดสอบด้วยเครื่อง DSC สำหรับกระบวนการดูดความร้อน	24
12 กราฟที่ได้จากการทดสอบด้วยเครื่อง DSC สำหรับกระบวนการด้วยความร้อน	24
13 การเปรียบเทียบสมรรถภาพของระบบให้ความร้อนใต้พื้นห้องโดยใช้และไม่ใช้ PCMs	28
14 เครื่อง Nitrogen Adsorption รุ่น Autosorb1	31
15 ชุดอุปกรณ์ในการทดลอง	33
16 ถ้าโลยก่อนและหลังขึ้นรูป	34
17 ชุดทดสอบ DSC-TGA ที่ห้อง TA INSTRUMENT รุ่น SDT 2860	36
18 เครื่อง SEM ที่ห้อง PHILIPS รุ่น XL30	37
19 นอร์ตาร์เพลทหนา 20 และ 10 มิลลิเมตร	40
20 นอร์ตาร์ PCMs เพลทหนา 20 มิลลิเมตร	40
21 ภาพการจัดอุปกรณ์เพื่อทำการทดสอบประสิทธิภาพของ Paraffin / Fly Ash Composite PCMs	41
22 เครื่องทดสอบแรงอัด	43
23 แม่แบบถูกนากระซิส (Mold) ขนาด 50 mm. x 50 mm.	43

## สารบัญภาพ (ต่อ)

ภาพที่	หน้า
24 เครื่องทดสอบ	44
25 เกรียงและแท่งกระทุ้ง	44
26 การกระจายขนาดธูพรุนของถ้าลอยจากแม่เมะ	47
27 การกระจายขนาดธูพรุนของถ้าลอยจาก BLCP	48
28 เถ้าลอยเม็ดก้อนและหลังการแข็งพาราฟินกับถ้าลอยหลังแข็งพาราฟินที่ผ่านการบด	50
29 กราฟ DSC ของพาราฟิน	52
30 ผลของความดันสุญญากาศต่อค่าความร้อนแห้ง	54
31 กราฟ DSC ที่ความดันสุญญากาศ 0 นิวปดาท	54
32 กราฟ DSC ที่ความดันสุญญากาศ 10 นิวปดาท	55
33 กราฟ DSC ที่ความดันสุญญากาศ 20 นิวปดาท	55
34 กราฟ DSC ที่ความดันสุญญากาศ 30 นิวปดาท	56
35 กราฟ DSC ที่ความดันสุญญากาศ 40 นิวปดาท	56
36 กราฟ DSC ที่ความดันสุญญากาศ 50 นิวปดาท	57
37 กราฟ DSC ที่ความดันสุญญากาศต่างๆ	57
38 ผลของเวลาการแข็งพาราฟินต่อค่าความร้อนแห้ง	59
39 กราฟ DSC ที่เวลาการแข็งพาราฟิน 5 นาที	60
40 กราฟ DSC ที่เวลาการแข็งพาราฟิน 15 นาที	60
41 กราฟ DSC ที่เวลาการแข็งพาราฟิน 30 นาที	61
42 กราฟ DSC ที่เวลาการแข็งพาราฟิน 60 นาที	61
43 กราฟ DSC ที่เวลาการแข็งพาราฟินต่างๆ	62
44 ผลของอุณหภูมิพาราฟินต่อค่าความร้อนแห้ง	64
45 กราฟ DSC ที่อุณหภูมิพาราฟิน 65 องศาเซลเซียส	64
46 กราฟ DSC ที่อุณหภูมิพาราฟิน 90 องศาเซลเซียส	65
47 กราฟ DSC ที่อุณหภูมิพาราฟิน 130 องศาเซลเซียส	65
48 กราฟ DSC ที่อุณหภูมิพาราฟินต่างๆ	66
49 ภาพถ่าย SEM เถ้าลอยจากโรงงานไฟฟ้าแม่เมะ	68
50 ภาพถ่าย SEM เถ้าลอยจากโรงงานไฟฟ้า BLCP	69

## สารบัญภาพ (ต่อ)

ภาพที่	หน้า
51 ภาพถ่าย SEM Paraffin / Fly Ash Composite PCMs	70
52 ภาพแสดงอุณหภูมิภายในห้องจำลองที่เวลาต่างๆ	71
53 ภาพแสดงอุณหภูมิผิวที่เวลาต่างๆ	72
54 การแก้ปัญหาการปลดปล่อยพลังงานความร้อนของ PCMs	74
55 การร้าวซึมของมอร์ตาร์ PCMs เพลท	74
56 การร้าวซึมของมอร์tar PCMs เพลทที่เปอร์เซ็นต์ PCMs ต่างๆ	75
57 มอร์tar PCMs เพลททาสี	75
58 สีเหลี่ยมลูกบากระยะ 50 x 50 x 50 มิลลิเมตร	76
59 กำลังรับแรงอัดของปูนซีเมนต์ผสมถ้าถอดอยแม่เมะที่อัตราส่วนต่างๆ	77
60 กำลังรับแรงอัดของปูนซีเมนต์ผสมถ้าถอดอย BLCP ที่อัตราส่วนต่างๆ	78
61 กำลังรับแรงอัดของปูนซีเมนต์ผสม PCMs ที่อัตราส่วนต่างๆ	79
62 กำลังรับแรงอัดของปูนซีเมนต์ผสมที่อัตราส่วน 10:90	80
63 กำลังรับแรงอัดของปูนซีเมนต์ผสมที่อัตราส่วน 20:80	80
64 กำลังรับแรงอัดของปูนซีเมนต์ผสมที่อัตราส่วน 30:70	81
65 กำลังรับแรงอัดของปูนซีเมนต์ผสมที่อัตราส่วน 40:60	81
66 กำลังรับแรงอัดของปูนซีเมนต์ผสมที่อัตราส่วน 50:50	82
<b>ภาพผนวกที่</b>	
ก1 การกระจายขนาดรูพรุนของถ้าถอดอยจากแม่เมะ	91
ก2 การกระจายขนาดรูพรุนของถ้าถอดอยจาก BLCP	92
ก3 ภาพ DSC ที่ความดันสุญญากาศ 0 นิวปอนท	94
ก4 ภาพ DSC ที่ความดันสุญญากาศ 10 นิวปอนท	95
ก5 ภาพ DSC ที่ความดันสุญญากาศ 20 นิวปอนท	95
ก6 ภาพ DSC ที่ความดันสุญญากาศ 30 นิวปอนท	96
ก7 ภาพ DSC ที่ความดันสุญญากาศ 40 นิวปอนท	96
ก8 ภาพ DSC ที่ความดันสุญญากาศ 50 นิวปอนท	97

## สารบัญภาพ (ต่อ)

ภาพผนวกที่	หน้า
ก9 กราฟ DSC ที่ความดันสุญญากาศต่างๆ	97
ก10 กราฟ DSC ที่เวลาการแข็งพาราฟิน 5 นาที	98
ก11 กราฟ DSC ที่เวลาการแข็งพาราฟิน 15 นาที	98
ก12 กราฟ DSC ที่เวลาการแข็งพาราฟิน 30 นาที	99
ก13 กราฟ DSC ที่เวลาการแข็งพาราฟิน 60 นาที	99
ก14 กราฟ DSC ที่เวลาการแข็งพาราฟินต่างๆ	100
ก15 กราฟ DSC ที่อุณหภูมิพาราฟิน 65 องศาเซลเซียส	100
ก16 กราฟ DSC ที่อุณหภูมิพาราฟิน 90 องศาเซลเซียส	101
ก17 กราฟ DSC ที่อุณหภูมิพาราฟิน 130 องศาเซลเซียส	101
ก18 กราฟ DSC ที่อุณหภูมิพาราฟินต่างๆ	102
ก19 กำลังรับแรงอัดของปูนซีเมนต์ผสมถ้าลอยแม่เมะที่อัตราส่วนต่างๆ	104
ก20 กำลังรับแรงอัดของปูนซีเมนต์ผสมถ้าลอย BLCP ที่อัตราส่วนต่างๆ	105
ก21 กำลังรับแรงอัดของปูนซีเมนต์ผสม PCMs ที่อัตราส่วนต่างๆ	105
ก22 กำลังรับแรงอัดของปูนซีเมนต์ผสมที่อัตราส่วน 10:90	106
ก23 กำลังรับแรงอัดของปูนซีเมนต์ผสมที่อัตราส่วน 20:80	106
ก24 กำลังรับแรงอัดของปูนซีเมนต์ผสมที่อัตราส่วน 30:70	107
ก25 กำลังรับแรงอัดของปูนซีเมนต์ผสมที่อัตราส่วน 40:60	107
ก26 กำลังรับแรงอัดของปูนซีเมนต์ผสมที่อัตราส่วน 50:50	108
ค1 กราฟ DSC ของพาราฟินที่ได้จากโปรแกรม TA ANALYSIS	125
ง1 แท่นทดสอบการไฟล์	128
ง2 แบบและแท่งกระทุ้ง	128

# นวัตกรรมการผลิตวัสดุเปลี่ยนสถานะเพื่อใช้เป็นส่วนผสมในสิ่งก่อสร้าง เพื่อนำรักษ์พลังงาน

## Innovative Production of Phase Change Materials as Composition Used in Building Materials for Energy Conservation

### คำนำ

พลังงานเป็นสิ่งจำเป็นพื้นฐานทั้งทางตรงและทางอ้อมของมนุษย์ กิจกรรมทุกรายดับของมนุษย์ ต้องใช้พลังงานทั้งสิ้น และยิ่งมนุษย์ต้องการความสะดวกสบายยิ่งต้องใช้พลังงานมากขึ้น แหล่งกำเนิดพลังงานในปัจจุบัน คือ เชื้อเพลิงฟอสซิล เช่น น้ำมัน ถ่านหิน และก๊าซธรรมชาติ พลังงานจากเชื้อเพลิงต่างๆ เหล่านี้นอกจากจะมีจำกัดแล้ว ก็ยังสร้างปัญหามลพิษต่อสิ่งแวดล้อม รวมถึงทำลายชั้นบรรยากาศของโลกด้วย ปัจจุบันประเทศไทยต่างๆ ในโลกได้ให้ความสนใจในการแก้ปัญหาเหล่านี้ โดยวิธีหนึ่งที่ได้รับความสนใจเป็นอย่างมาก คือ การจัดการพลังงาน (Energy Management) เนื่องจากในประเทศไทยมีภูมิอากาศหนาวเย็นนั้น มีการใช้พลังงานเพื่อสร้างความอบอุ่นให้กับที่พักอาศัย โดยพลังงานที่ใช้คิดเป็น 47 % ของพลังงานทั้งหมดที่ผลิตได้ซึ่งจะเห็นว่า พลังงานที่ใช้มีปริมาณสูงมาก การจัดการพลังงานที่เหมาะสมสามารถลดการใช้พลังงานในส่วนนี้ลงได้โดยการนำเอาพลังงานความร้อนจากดวงอาทิตย์ซึ่งมีอยู่อย่างไม่จำกัดมาใช้ให้เกิดประโยชน์

ประเทศไทยมีภูมิอากาศหนาวเย็นมีการใช้วัสดุ Phase Change Materials (PCMs) ในลักษณะของการจัดการพลังงาน (Energy Management) โดยมีวัตถุประสงค์คือการนำเอาพลังงานความร้อนจากดวงอาทิตย์มาใช้ให้เกิดประโยชน์ โดยวัสดุ PCMs จะฝังตัวและแพร่กระจายอยู่ในโครงสร้างของสิ่งก่อสร้าง ซึ่งวัสดุ PCMs จะทำหน้าที่ดูดซับ (Adsorb) พลังงานความร้อนจากดวงอาทิตย์ในเวลากลางวัน ทำให้สามารถป้องกันความร้อนเข้าสู่ภายในอาคารที่พักอาศัยได้ และในเวลากลางคืน อุณหภูมิภายในอาคารและสิ่งแวดล้อมภายนอกจะต่ำกว่าอุณหภูมิของวัสดุ PCMs ทำให้วัสดุ PCMs สามารถปลดปล่อย (Release) พลังงานความร้อนเข้าภายในอาคารที่พักอาศัยเพื่อสร้างความอบอุ่นแก่ผู้พักอาศัยได้ นอกจากนี้การใช้ PCMs ยังสามารถเลื่อนการใช้พลังงานจากช่วงเวลาที่มีการใช้พลังงานสูงสุดมาเป็นช่วงเวลาที่ใช้พลังงานไฟฟ้าต่ำสุดได้ จึงทำให้ค่าใช้จ่ายที่ต้องใช้สำหรับการผลิตพลังงานลดลงได้ เนื่องจากประเทศไทยมีภูมิอากาศร้อน เช่น ประเทศไทยนั้นการปลดปล่อยพลังงานความร้อนเข้าสู่ภายในอาคารในเวลากลางคืนนั้นไม่เป็นที่ต้องการ แต่สามารถใช้คุณสมบัติ

ในการคุณชั้บพลังงานความร้อนเพื่อป้องกันความร้อนของวัสดุ PCMs ให้เกิดประโยชน์ได้ดังนี้ การศึกษาการใช้งานวัสดุ PCMs สำหรับประเภทที่มีภูมิอากาศร้อนนั้นจึงมีความจำเป็น เพราะสามารถลดการใช้พลังงานได้

ในงานวิจัยนี้มุ่งหวังที่จะนำ PCMs มาใช้ร่วมกับวัสดุก่อสร้างเพื่อการอนุรักษ์พลังงาน โดยการใช้งานวัสดุ PCMs นั้นจำเป็นจะต้องหากาชนานาบรรจุเพื่อป้องกันการร้าวไหลในขณะใช้งาน การคุณชั้บ PCMs ในรูปrunของวัสดุรูปrunเป็นวิธีที่ได้รับความสนใจในการป้องกันการร้าวไหลของ PCMs ในงานวิจัยนี้ วัสดุที่เหมาะสมสมจะนำมาเป็นตัวคุณชั้บจะต้องมีรูปrunมาก ทำให้ง่ายและสามารถนำไปใช้ร่วมกับวัสดุก่อสร้างได้เป็นอย่างดี

ปัจจุบันมีการนำถ้าลอย (Fly ash) มาใช้ร่วมกับวัสดุก่อสร้างนั้นก็คือปูนซีเมนต์ งานวิจัยนี้จึงมีความสนใจที่จะนำถ้าลอยมาทำหน้าที่เป็นตัวคุณชั้บ เพราะถ้าลอยมีรูปrun ทำให้ง่ายและสามารถนำไปใช้ร่วมกับวัสดุก่อสร้างได้เป็นอย่างดี

## วัตถุประสงค์และขอบเขตงานวิจัย

### วัตถุประสงค์

1. ศึกษาและพัฒนาการใช้งานวัสดุ PCMs ให้เหมาะสมกับประเทศไทยที่มีภูมิอากาศร้อน โดยใช้ PCMs ผสมลงในซีเมนต์เพื่อช่วยในการเพิ่มประสิทธิภาพการดูดซับความร้อนไม่ให้เข้าสู่ภายในอาคารลึกลงก่อสร้าง
2. ศึกษาวิธีการผลิต PCMs ด้วยวิธี Vacuum Impregnation โดยใช้ถ้าโลยเป็นตัวดูดซับ
3. ศึกษาผลกระทบของปริมาณวัสดุ PCMs ที่ใช้ที่มีผลต่อคุณสมบัติทางกายภาพ เช่น ความแข็งแรงของโครงสร้างอาคารและหาปริมาณที่เหมาะสมในการใช้งานวัสดุ PCMs
4. เปรียบเทียบประสิทธิภาพการใช้งานของวัสดุ PCMs ในโครงสร้างอาคารกับอาคารที่ปราศจากการใช้งานวัสดุ PCMs หรือเปรียบเทียบกับอาคารที่มีการติดตั้งนวนกันความร้อน เพื่อศึกษาถึงความเป็นไปได้ในการใช้วัสดุ PCMs ในการอนุรักษ์พลังงาน

### ขอบเขตการวิจัย

1. ใช้พาราฟินเป็นวัสดุเปลี่ยนสถานะและใช้ถ้าโลยเป็นวัสดุรูพรุนในการผลิต Paraffin / Fly ash Composite PCMs
2. ช่วงสภาพการผลิต Paraffin / Fly ash Composite PCMs
  - 2.1 เวลาสุญญากาศ 30 นาที
  - 2.2 ความดันสุญญากาศ 0, 10, 20, 30, 40 และ 50 นิวปอนท์
  - 2.3 อุณหภูมิพาราฟิน 65, 90 และ 130 องศาเซลเซียส
  - 2.4 เวลาการแห้งถ้าโลยในพาราฟิน 5, 15, 30 และ 60 นาที
3. คุณสมบัติของ Paraffin / Fly ash Composite PCMs ที่วิเคราะห์ได้แก่
  - 3.1 คุณสมบัติทางความร้อนด้วยเครื่อง Differential Scanning Calorimetry (DSC)
  - 3.2 ลักษณะรูปร่างด้วยเครื่อง Scanning Electron Microscope (SEM)
  - 3.3 พื้นที่ผิวจำเพาะและขนาดรูพรุนด้วยเครื่อง Autosorb-1
4. ทดสอบผลกระทบของ Paraffin / Fly ash Composite PCMs ต่อความแข็งแกร่งของปูนซีเมนต์ด้วยเครื่องทดสอบแรงอัด

## ประโยชน์ที่คาดว่าจะได้รับ

สามารถผลิต PCMs ในรูปแบบของ Paraffin / Fly Ash Composite PCMs ได้และสามารถนำคุณสมบัติของ PCMs ที่เก็บสะสมพลังงานความร้อนในรูปของความร้อนแฝงมาใช้ประโยชน์และไม่มีการร้าวไหลของ PCMs ออกจากผลิตภัณฑ์

## การตรวจเอกสาร

### Phase Change Materials (PCMs)

ในอดีตการเก็บสะสมพลังงานความร้อน (Thermal Energy Storage, TES) จะถูกเก็บสะสมในรูปแบบของ Sensible Heat ซึ่งวัสดุที่ใช้ในการเก็บสะสมพลังงานความร้อนรูปแบบนี้ ส่วนใหญ่จะเป็นหินและน้ำ แต่เนื่องจากการเก็บสะสมพลังงานความร้อนในรูปแบบนี้มีข้อเสียหลายอย่าง เช่น เกิดการสูญเสียความร้อนระหว่างสะสม วัสดุที่ใช้ในการเก็บสะสมมีน้ำหนักมากและต้องใช้ในปริมาณที่มาก เป็นต้น จากปัญหาที่กล่าวมาจึงทำให้เกิดแนวความคิดที่จะหารูปแบบการเก็บสะสมพลังงานความร้อนรูปแบบใหม่ที่สามารถแก้ไขปัญหาข้างต้นได้ คือ การเก็บสะสมพลังงานความร้อนในรูปแบบของความร้อนแฝง (Latent Heat) โดยระหว่างการเก็บสะสมพลังงานความร้อนนั้น วัสดุจะเกิดการเปลี่ยนสถานะ (Phase Change) และอุณหภูมิของวัสดุเปลี่ยนสถานะจะคงที่จนกว่าวัสดุนั้นจะเกิดการเปลี่ยนสถานะอย่างสมบูรณ์ ซึ่งเรียกวัสดุที่ใช้เก็บสะสมพลังงานความร้อนรูปแบบนี้ว่าวัสดุเปลี่ยนสถานะ (Phase Change Materials, PCMs) ส่วนพลังงานความร้อนที่ถูกเก็บสะสมจะเรียกว่า Heat of Fusion คุณสมบัติของวัสดุที่ใช้ในการเก็บสะสมพลังงานความร้อนแบบ Sensible Heat (หินและน้ำ) และความร้อนแฝง (สารอินทรีย์และสารอนินทรีย์) ได้ถูกเปรียบเทียบไว้ดังตารางที่ 1

**ตารางที่ 1** เปรียบเทียบคุณสมบัติของวัสดุที่ใช้ในการเก็บสะสมพลังงานความร้อน

Property	Rock	Water	OrganicPCMs	InorganicPCMs
Density, kg/m <sup>3</sup>	2,240	1,000	800	1,600
Latent Heat, kJ/kg	-	-	190	230
Latent Heat, kJ/m <sup>3</sup>	-	-	152	368
Storage Mass for 106 J, kg	67,000	16,000	5,300	4,350
Storage Volume for 106 J, m <sup>3</sup>	30	16	6.6	2.7
Relative Storage Mass	15	4	1.25	1.0
Relative Storage Volume	11	6	2.5	1.0

ที่มา: Mohammed et al. (2003)

PCMs ได้รับความสนใจในการทำหน้าที่เก็บสะสมพลังงานความร้อน เนื่องจากสามารถเก็บสะสมพลังงานความร้อนได้สูง โดยหลักการทำงานของวัสดุ PCMs คือจะเกิดการเปลี่ยนสถานะเมื่อมีการเก็บสะสมหรือปลดปล่อยพลังงานความร้อน เช่น การเปลี่ยนสถานะจากของแข็งไปเป็นของเหลว (Solid to Liquid PCMs) หรือการเปลี่ยนสถานะจากของเหลวไปเป็นก๊าซ (Liquid to Gaseous PCMs) ซึ่งโดยทั่วไปแล้ววัสดุ PCMs นิยมใช้การเปลี่ยนสถานะจากของแข็งไปเป็นของเหลวมากกว่า เพราะเมื่อเกิดการเปลี่ยนสถานะจะมีการเปลี่ยนแปลงปริมาตรน้อย และในหนึ่งรอบการทำงานของ PCMs นั้นจะประกอบด้วยการเปลี่ยนสถานะจากของแข็งไปเป็นของเหลวและการคืนสภาพจากของเหลวกลับเป็นของแข็งอีกครั้งหนึ่ง

### คุณสมบัติของ PCMs

PCMs ที่ถูกนำมาใช้ในการเก็บสะสมพลังงานความร้อนนั้น ควรพิจารณาคุณสมบัติดังต่อไปนี้

1. คุณสมบัติทางความร้อน (Thermal Properties) PCMs ที่ดีควรมีคุณสมบัติทางความร้อนดังนี้

ก. อุณหภูมิเปลี่ยนสถานะหรือจุดหลอมเหลว (Phase Change Temperature or Melting Point) ควรเหมาะสมกับการใช้งาน

ข. มีค่าความร้อนแฝงสูงเพื่อให้เพียงพอต่อการเก็บสะสมพลังงานความร้อน

ค. นำความร้อนได้ดีทั้งในสถานะของแข็งและของเหลวเพื่อที่จะสามารถดูดพลังงานความร้อนและรายพลังงานความร้อนได้อย่างสมบูรณ์

ง. มีค่าความจุความร้อนสูงเพื่อที่จะได้เพิ่มความสามารถในการเก็บสะสมพลังงานความร้อนแบบ Sensible Heat

2. คุณสมบัติทางกายภาพ (Physical Properties) PCMs ที่ดีควรมีคุณสมบัติทางกายภาพดังนี้

ก. มีการเปลี่ยนแปลงความหนาแน่นระหว่างการเปลี่ยนสถานะต่ำ ในกรณีที่ PCMs ถูกใช้ในระบบปิด เช่น มีการบรรจุในภาชนะหรือแคปซูลก่อนที่จะนำไปใช้งานการเปลี่ยนแปลงความหนาแน่นของวัสดุเปลี่ยนสถานะจะมีความสำคัญมาก เพราะจะมีผลโดยตรงต่อการเปลี่ยนแปลงปริมาตรของวัสดุ ซึ่งหากปริมาตรมีการขยายเพิ่มขึ้นอาจทำให้ภาชนะหรือแคปซูลเกิดความเสียหายได้

## บ. มีความหนาแน่นสูง

ค. ไม่เกิดปัจหา Supercooling หรือ Undercooling ในการเปลี่ยนสถานะกล้ายเป็นของแข็งเพรากการเกิด Supercooling จะทำให้ PCMs เปลี่ยนสถานะกล้ายเป็นของแข็งที่อุณหภูมิต่ำกว่าจุดเยือกแข็งทำให้ไม่สามารถนำความร้อนที่ PCMs สะสมไว้มาใช้ในช่วงอุณหภูมิที่ต้องการได้

### 3. คุณสมบัติทางเคมี (Chemical Properties) PCMs ที่ดีควรมีคุณสมบัติทางเคมี ดังนี้

- ก. มีความเสถียรภาพ (Stability)
- ข. ไม่เกิด Phase Separation
- ค. ไม่มีฤทธิ์กัดกร่อน (Corrosiveness)
- ง. ไม่เป็นพิษ ไม่ติดไฟ ไม่ระเบิด

## ชนิดของ PCMs

### PCMs แบ่งเป็น 2 ชนิดใหญ่ๆ ดังนี้

1. สารอนินทรีย์ (Inorganic PCMs) ประกอบด้วย เกลือไฮเดรท (Salt Hydrates) เกลือ (Salts) โลหะ (Metals) และโลหะผสม (Alloys) สารอนินทรีย์มีค่าความร้อนแฝงสูง จึงทำให้สามารถเก็บสะสมพลังงานความร้อนได้มาก จากคุณสมบัตินี้ทำให้สารอนินทรีย์ได้รับความสนใจในการนำมาใช้เป็นวัสดุ PCMs อย่างไรก็ตามจากการศึกษาพบว่า สารอนินทรีย์มีข้อเสียที่การเกิด Supercooling ซึ่งเป็นปัจหาสำคัญที่ทำให้การถ่ายความร้อนของวัสดุ PCMs ชนิดนี้ทำได้ไม่ดีนัก ปัจจุบันมีการศึกษาค้นคว้าเพื่อหาวิธีแก้ไขปัจหาดังกล่าวพบว่า สารอนินทรีย์สามารถหลีกเลี่ยงการเกิด Supercooling ได้ หากอุณหภูมิที่ใช้ในการหลอมเหลวไม่เกินอุณหภูมิหลอมเหลวของสารอนินทรีย์นั้นหรืออาจเติมสาร Nuclei เพิ่มลงไปในสารอนินทรีย์นั้นเพื่อช่วยให้เกิดการกล้ายเป็นของแข็งได้ง่ายขึ้น ตัวอย่างสารอนินทรีย์ที่นำมาใช้เป็นวัสดุ PCMs แสดงดังตารางที่ 2

2. สารอินทรีย์ (Organic PCMs) ประกอบด้วย พาราฟิน (Paraffin) พอลีแอลกอฮอล์ (Poly alcohol) และกรดไขมัน (Fatty Acids) แม้ว่าสารอินทรีย์จะมีค่าความร้อนแฝงน้อยกว่าสารอนินทรีย์มาก แต่สารอินทรีย์ก็ได้รับความนิยมมากกว่าสารอนินทรีย์ เพราะมีข้อดีหลายประการ เช่น ไม่เกิดปัจหา Supercooling ไม่มีฤทธิ์กัดกร่อน (Non Corrosive) และไม่มีผลกระแทกต่อสิ่งแวดล้อม เป็นต้น อย่างไรก็ตามสารอินทรีย์ก็มีข้อเสียเช่นกัน เช่น ติดไฟ (Inflammability) และนำความร้อน

ได้ต่ำ (Low Thermal Conductivity) ตัวอย่างสารอินทรีย์แสดงดังตารางที่ 3 และตารางที่ 4 แสดงการเปรียบเทียบข้อดีและข้อเสียระหว่างสารอินทรีย์กับสารอินทรีย์

ตารางที่ 2 ตัวอย่างสารอินทรีย์ที่นำมาใช้เป็นวัสดุ PCMs

สาร	จุดหลอมเหลว (องศาเซลเซียส)	ความร้อนแห้งในการหลอมเหลว (จูลต่อกรัม)
KF·4H <sub>2</sub> O	18.5	231
CaCl <sub>2</sub> ·6H <sub>2</sub> O	29.7	171
LiNO <sub>3</sub> ·3H <sub>2</sub> O	30	296
Na <sub>2</sub> SO <sub>4</sub> ·10H <sub>2</sub> O	32.4	254
Na <sub>2</sub> HPO <sub>4</sub> ·12H <sub>2</sub> O	35	281
Na <sub>2</sub> S <sub>2</sub> O <sub>3</sub> ·5H <sub>2</sub> O	48	201
NaOH	64.3	227.6

ตารางที่ 3 ตัวอย่างสารอินทรีย์ที่นำมาใช้เป็นวัสดุ PCMs

สาร	จุดหลอมเหลว (องศาเซลเซียส)	ความร้อนแห้งในการหลอมเหลว (จูลต่อกรัม)
Butyl Stearate	19	140
Paraffin C <sub>16</sub> - C <sub>18</sub>	20-22	152
Polyglycol E 600	22	127.2
1-Dodecanol	26	200
1-Tetradecanol	38	205
Paraffin C <sub>20</sub> - C <sub>33</sub>	48 - 50	189
Paraffin C <sub>22</sub> - C <sub>45</sub>	58 - 60	189

#### ตารางที่ 4 เปรียบเทียบข้อดีและข้อเสียระหว่างสารอินทรีกับสารอนินทรี

สารอินทรี	สารอนินทรี
ข้อดี	ข้อดี
ไม่มีฤทธิ์กัดกร่อน	ความร้อนแห้งสูง
ไม่เกิด Supercooling	
เสถียรภาพทางเคมีและความร้อน	
ข้อเสีย	ข้อเสีย
ความร้อนแห้งต่ำ	เกิด Supercooling
นำความร้อนได้ต่ำ	มีฤทธิ์กัดกร่อน
ติดไฟ	เกิด Phase Separation

ที่มา: Belen et al. (2002)

#### วิธีการใช้ PCMs ร่วมกับโครงสร้างของสิ่งก่อสร้าง

วิธีการที่ใช้ในการรวมตัวกันของ PCMs กับโครงสร้างของถังก่อสร้างมีมากหลายวิธี และได้รับการพัฒนาตามที่ได้มีการคิดค้นวิธีการใหม่ๆ เพื่อปรับปรุงให้ดียิ่งขึ้น ซึ่งวิธีที่ได้มีการศึกษาและได้รับความสนใจในการใช้งานมีดังนี้ คือ

1. การใช้งานโดยตรง (Direct Incorporation) วิธีการนี้เป็นวิธีแรกที่ได้รับการคิดค้นขึ้นเนื่องจากเป็นวิธีที่ง่าย ไม่ต้องใช้อุปกรณ์มากมายในการขึ้นรูปและราคาถูก วิธีการนี้ทำโดยการนำ PCMs มาทำการบดให้เป็นผงละเอียดหรือทำการละลายให้เป็นของเหลว จากนั้นจึงนำเอาผงหรือของเหลว PCMs มาผสมร่วมกับวัสดุก่อสร้างโดยตรง เช่น อิปซั่ม คอนกรีต เป็นต้นแล้วจึงนำมาขึ้นรูปต่อไป

2. การแช่ไว้สกุก่อสร้างใน PCMs หลอมเหลว (Immersion) วิธีการนี้วัสดุก่อสร้างจำเป็นต้องมีรูพรุน เช่น อิปซั่มบอร์ด อิฐ บล็อกคอนกรีต เป็นต้น วัสดุก่อสร้างจะถูกจุ่มลงไปใน PCMs หลอมเหลวแล้วแข็งตัวทิ้งไว้เพื่อให้วัสดุก่อสร้างได้ดูดซับ (Adsorb) PCMs ให้หลอมเหลวเข้าไปยังรูพรุนด้วยแรงค่าปิลาเร (Capillary Force) จากนั้นจึงนำวัสดุก่อสร้างมาทำให้แห้ง ในส่วนของเวลาที่

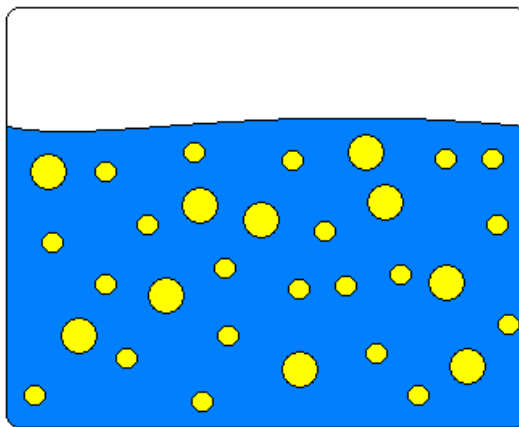
ใช้ในการแข่งขันโดยมากจะใช้เวลาหลายชั่วโมง แต่ทั้งนี้จะขึ้นอยู่กับอุณหภูมิที่ใช้ในการหลอมเหลว PCMs ความหนืดและขนาดของรูพูนด้วย

3. การบรรจุ PCMs ในแคปซูล (Encapsulation) เนื่องจากวิธีที่กล่าวมาข้างต้นทั้ง 2 วิธี พบว่า ทุกครั้งที่ PCMs ได้รับพลังงานความร้อนและการเปลี่ยนสถานะจากของแข็งไปเป็นของเหลวนั้นจะมีการร้าวไหลของ PCMs เกิดขึ้น ทำให้ปริมาณของ PCMs ในวัสดุก่อสร้างลดลง ปัญหานี้เป็นปัญหาที่สำคัญมาก เพราะการร้าวไหลของ PCMs จะส่งผลโดยตรงต่อความสามารถในการเก็บสะสมพลังงานความร้อน กล่าวคือ ปริมาณของ PCMs จะเป็นตัวกำหนดปริมาณพลังงานความร้อนที่สามารถเก็บสะสมได้ ถ้าปริมาณ PCMs ในวัสดุก่อสร้างลดลง ปริมาณพลังงานความร้อนที่สามารถเก็บสะสมได้ก็จะลดลงไปด้วย จากปัญหาที่กล่าวมาจึงมีการศึกษาค้นคว้าวิธีการแก้ไขปัญหาดังกล่าว ซึ่งวิธีหนึ่งที่ได้รับความสนใจคือ การบรรจุ PCMs ในแคปซูล โดยแต่เดิมนั้นมีการนำ PCMs มาบรรจุในแคปซูล โดยสามารถทำได้ในระดับแม่โกรแคปซูล (Macroencapsulation) เมื่อว่าจะสามารถป้องกันการร้าวไหลของ PCMs ได้ แต่ Macroencapsulation ก็มีปัญหามากมายเมื่อนอกนั้น เช่น วัสดุที่ใช้เป็นแคปซูลส่วนใหญ่จะเป็นเหล็กกับพอลิเมอร์ซึ่งมีราคาแพง นอกจากนี้ยังมีการถ่ายเทความร้อน (Heat Transfer Rate) ระหว่างรายการพลังงานความร้อนเพื่อเปลี่ยนสถานะภายในของแข็งที่ต่างๆ ทำให้การถ่ายความร้อนเกิดขึ้นได้อย่างไม่สมบูรณ์ และเนื่องจาก Macroencapsulation นั้นมีขนาดใหญ่เมื่อนำไปใช้ในสิ่งก่อสร้าง เช่น กำแพงหรือเพดานทำให้ไม่สามารถเจาะหรือตอกตะปูที่สิ่งก่อสร้างได้ เพราะอาจไปเจาะโดน Macroencapsulation แล้วทำให้เกิดความเสียหายได้

การบรรจุ PCMs ในแคปซูลระดับไมโครแคปซูล (Microencapsulation) ได้รับการพัฒนามาจากการบรรจุ PCMs ในแคปซูลระดับไมโครแคปซูล (Microencapsulation) ได้ เนื่องจากมีขนาดที่เล็กมากจึงมีพื้นที่ผิว yeoh ทำให้สามารถถ่ายเทความร้อนได้ดีขึ้นและสามารถนำไปใช้ในสิ่งก่อสร้างได้อย่างไม่มีปัญหา Microencapsulation ประกอบด้วย 2 ส่วนคือกัน กือ ส่วนที่ทำหน้าที่เป็น PCMs เรียกว่า Core Materials และส่วนที่ทำหน้าที่เป็นแคปซูลเรียกว่า Coating Materials ซึ่งส่วนใหญ่จะเป็นสารพอลิเมอร์

วิธีการผลิต Microencapsulation มีด้วยกัน 2 วิธี คือ Complex Coacervation และ Spray Drying Methods วิธีการผลิตทั้ง 2 วิธีนี้จะทำคล้ายกันในตอนแรก คือ เริ่มจากการนำเอา PCMs หลอมเหลวมาผสมกับสารละลายเจลatin ซึ่งทำหน้าที่เป็น Coating Materials และใช้สาร Tween 80 เป็นตัวทำอิมัลชัน (Surfactant) จากนั้นทำการกวนผสมกันด้วยเครื่อง Homogenizer จะได้ผล

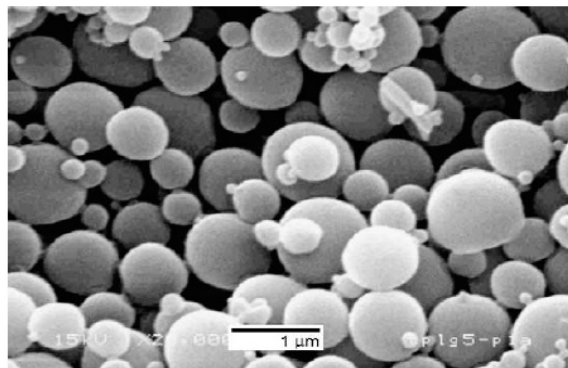
ดังภาพที่ 1 โดยหมายความว่ากากเล็กที่เป็นวัสดุภาคภายในนั้น คือ PCMs ที่ถูกกล่อมรอบด้วยสารละลายเจลาตินซึ่งเป็นวัสดุภาคภายนอก การเตรียมด้วยวิธี Complex Coacervation จะทำการเติมสาร Cross Linking Agent ลงไปในอิมัลชันที่ผลิตได้ เพื่อทำให้หยดอนุภาคเกิดการแข็งตัว หลังจากนั้นจึงทำการแยกออก ส่วนการเตรียมด้วยวิธี Spray Drying จะนำอิมัลชันที่ผลิตได้มาผ่านเครื่อง Mini Spray Dryer ซึ่งรูป Microencapsulated ของทั้ง 2 วิธีแสดงดังภาพที่ 2 และ 3



ภาพที่ 1 อิมัลชันที่มีวัสดุภาคภัยในเป็นพาราฟินและวัสดุภาคภัยของสารละลายเจลาติน

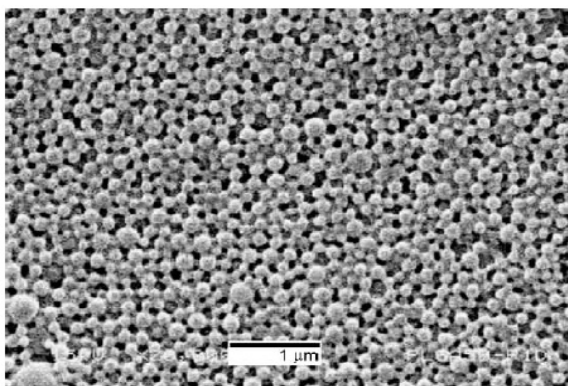
4. การดูดซับ PCMs ในรูปrunของแกร์ไฟต์ (Paraffin/Graphite Composite) วิธีนี้แกร์ไฟต์จะถูกแซ่ใน PCMs หลอมเหลว โดยก่อนหน้านี้แกร์ไฟต์จะต้องถูกนำไปทำการปรับขนาดของรูปrun ก่อนเพื่อที่จะได้สามารถดูดซับ PCMs ได้ดีขึ้น วิธีนี้นอกจากจะสามารถ Encapsulated PCMs ได้แล้ว ยังสามารถเพิ่มค่าการนำความร้อน (Thermal conductivity) ของ PCMs ได้ด้วย ทำให้ PCMs สามารถดูดและถ่ายพลังงานความร้อนได้ดีขึ้น เนื่องจากการแซ่แกร์ไฟต์ใน PCMs หลอมเหลวด้วยวิธีธรรมดานั้นมีข้อจำกัดคือ แกร์ไฟต์สามารถดูดซับ PCMs ได้น้อย จึงได้มีการพัฒนาวิธีการดูดซับขึ้นมาใหม่ โดยใช้ความดันบรรยายกาศช่วยในการดูดซับ วิธีนี้เรียกว่า Vacuum Impregnation

วิธี Vacuum Impregnation ทำโดยการนำเอาวัสดุที่มีรูปrunใส่ลงใน Vacuum Flask และทำการดูดอากาศใน Flask ออกด้วย Vacuum Pump จึงทำให้อากาศในรูปrunของวัสดุถูกดูดออกไปด้วย หลังจากนั้นจึงเท PCMs ลงไปใน Flask เพื่อให้วัสดุมีรูปrunทำการดูดซับ และทำการปิด Pump ความดันบรรยายกาศจากภายนอก Flask จะทำการผลักดัน PCMs ให้เข้าไปในรูปrunของวัสดุทำให้สามารถดูดซับ PCMs ได้มากขึ้น



ภาพที่ 2 ภาพถ่ายจาก SEM ของ Microencapsulated ที่เตรียมด้วยวิธี Complex Coacervation

ที่มา: Hawlader et al. (2003)



ภาพที่ 3 ภาพถ่ายจาก SEM ของ Microencapsulated ที่เตรียมด้วยวิธี Spray Drying

ที่มา: Hawlader et al. (2003)

5. Form Stable วิธีนี้ประกอบด้วยสาร 2 ชนิด คือ PCMs กับ Supporting Materials ซึ่ง PCMs และ Supporting Materials จะถูกนำมาหลอมเหลวและผสมเข้าด้วยกัน จากนั้นพิงให้แข็งตัวที่อุณหภูมิห้องแล้วจึงนำมาใช้งาน โดยทั่วไปแล้ว PCMs กับ Supporting Materials ที่นำมาใช้ร่วมกันจะต้องมีโครงสร้างที่คล้ายกันเพื่อที่ PCMs จะได้ถูก Encapsulated อยู่ในโครงสร้างของ Supporting Materials ได้ เช่น ถ้า PCMs ที่ใช้เป็นพาราฟิน Supporting Materials ที่ใช้ก็ควรจะเป็นสารพอลิเมอร์พerasic สารทั้ง 2 ชนิดมีโครงสร้างคล้ายกัน เป็นต้น

ตัวอย่างการใช้งาน PCMs ในสิ่งก่อสร้าง คือ การสร้างที่พักอาศัยของ David Allam ซึ่งตั้งอยู่ในนครรัฐยุทาห์ ประเทศสหรัฐอเมริกา ที่พักอาศัยของเค้าได้มีการใช้ Sodium Sulfate Deca-hydrat ( $\text{NaSO}_4 \cdot \text{H}_2\text{O}$ ) หรือเกลือ Glauber เป็นสาร PCMs ซึ่งมีจุดหลอมเหลวอยู่ที่ 90 ฟาเรนไฮต์ (32.4 องศาเซลเซียส) และมีค่าความร้อนประมาณ 83 แคลอรี่ต่๎กกรัม เกลือจะถูกบรรจุอยู่ในท่อเพื่อทำการกักเก็บพลังงานความร้อนจากดวงอาทิตย์ในเวลากลางวัน ในระหว่างการกักเก็บพลังงานความร้อนนั้น เกลือจะเปลี่ยนสถานะกล้ายเป็นของเหลวและเมื่อถึงเวลากลางคืนซึ่งอุณหภูมิสิ่งแวดล้อมต่ำกว่าเวลากลางวัน พลังงานความร้อนที่ถูกเก็บสะสมไว้ในเกลือจะถูกปลดปล่อยออกมเพื่อให้ความอบอุ่นแก่ที่พักอาศัยและเปลี่ยนสถานะกลับไปเป็นของแข็งเช่นเดิม จะเห็นว่าแม้ที่พักอาศัยจะตั้งอยู่ในเขตภูมิอากาศหนาวเย็นก็ไม่จำเป็นต้องใช้เชื้อเพลิงในการให้ความอบอุ่น



ภาพที่ 4 บ้านของ David Allam ที่ใช้ PCMs มาเป็นสารที่ให้ความอบอุ่นภายในบ้านในเวลากลางคืน

ที่มา: David Allam (2000)

### ปูนซีเมนต์ปอร์ตแลนด์

ปูนซีเมนต์ปอร์ตแลนด์ ถูกค้นพบโดยชาวโรมัน ด้วยการผสมขี้ถ้าภูเขาไฟและทรากับน้ำขาวโรมันพบว่า วัสดุก่อสร้างจะมีความแข็งแรงกว่าที่ทำจากปูนขาวล้วน ปูนซีเมนต์นี้ถูกเรียกว่า ปูนซีเมนต์โพซูลาโน่ ( Pozzoloma Cement ) เพราะว่าปูนซีเมนต์นี้ถูกค้นพบครั้งแรกจากขี้ถ้าภูเขาไฟที่โพซูลาโน่

ปูนซีเมนต์ปอร์ตแลนด์ได้จากการนำวัตถุดินที่มีสารประกอบของออกไซด์ของแคลเซียมซิลิกอน อลูมิเนียม และเหล็กมาบดให้ละเอียดแล้วผสมกันในอัตราส่วนที่เหมาะสมและป้อนเข้าเตาเผา ซึ่งอุณหภูมิในเตาจะสูงถึงประมาณ  $1,500^{\circ}\text{C}$  วัตถุดินจะหลอมละลายและทำปฏิกิริยาทาง

เคมีและรวมตัวกันเป็นสารประกอบอยู่ในปูนเม็ดในรูปของผลึกที่ละอือดมาก ปูนเม็ดจะถูกผลิต อุณหภูมิสูงและนำไปรวมกับชิปซัม องค์ประกอบทางเคมีที่สำคัญของปูนซีเมนต์ปอร์ตแลนด์ ประกอบด้วย

ไตรแคลเซียมซิลิกेट ( Tricalcium Silicate :  $3\text{CaO} \cdot \text{SiO}_2 \cdot \text{C}_3\text{A}$ )

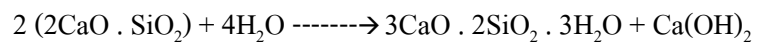
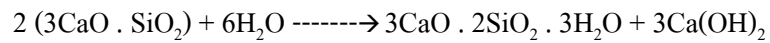
ไดแคลเซียมซิลิกेट ( Dicalcium Silicate :  $2\text{CaO} \cdot \text{SiO}_2 \cdot \text{C}_2\text{S}$ )

ไตรแคลเซียมอลูมิเนียม (Tricalcium Aluminate :  $3\text{CaO} \cdot \text{Al}_2\text{O}_3 \cdot \text{C}_3\text{A}$ )

เตต拉แคลเซียมอลูมิโนเฟอร์ไรต์ (Tetracalcium AluminoFerrite:  $4\text{CaO} \cdot \text{Al}_2\text{O}_3 \cdot \text{Fe}_2\text{O}_3 \cdot \text{C}_4\text{AF}$ )

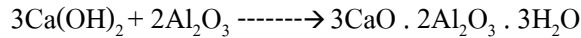
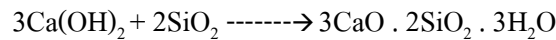
นอกจากนี้ยังมีสารประกอบอื่นๆอีกที่ได้หลังจากการเผา เช่น  $\text{MgO}$ ,  $\text{TiO}_2$ ,  $\text{Mn}_2\text{O}_3$ ,  $\text{K}_2\text{O}$  และ  $\text{Na}_2\text{O}$  ซึ่งจะปะปนอยู่จำนวนน้อยเมื่อเทียบกับน้ำหนักของปูนซีเมนต์ จำนวนของสารประกอบเหล่านี้ที่มีอยู่ในปูนซีเมนต์ชนิดหนึ่งๆ ไม่เท่ากัน ประเภทของปูนซีเมนต์จะขึ้นอยู่กับจำนวนของสารประกอบเหล่านี้

ปูนซีเมนต์ทำปฏิกิริยากับน้ำเร็วกว่า ปูนซีเมนต์ทั่วไป แสดงดังสมการต่อไปนี้



## วัสดุป้องโชลนา

ASTM C 318 ได้ให้คำจำกัดความไว้ว่า วัสดุป้องโชลนา หมายถึง วัสดุที่มีซิลิก้า (Siliceous) หรือซิลิก้าและอลูมิโน (Siliceous and Aluminous) เป็นองค์ประกอบหลัก โดยทั่วไปแล้ว วัสดุป้องโชลนาจะไม่มีคุณสมบัติเป็นวัสดุประสานหรือมีน้อยมาก แต่หากมีความละอือดมากๆ และมีความซึ้นที่เพียงพอ จะสามารถทำปฏิกิริยากับแคลเซียมไฮดรอกไซด์ที่อุณหภูมิปกติ ทำให้เกิดสารประกอบที่มีวัสดุเป็นวัสดุประสาน ซึ่งเรียกว่าปฏิกิริยาป้องโชลนา (Pozzolanic Reaction) วัสดุป้องโชลนาที่รู้จักกันโดยทั่วไป ได้แก่ เถ้าโลหะ ซิลิก้าฟูม เถ้าแกลน เป็นต้น ปฏิกิริยาป้องโชลนาแสดงดังสมการต่อไปนี้



## ເຄົາລອຍ

ເຄົາລອຍ (Fly Ash) ເປັນພລພລອຍໄດ້ (By Product) ຈາກເພາດ່ານທິນເພື່ອເປັນພລັງຈານໃນກາຣພລິຕີໄຟຟ້າ ດ່ານທິນທີບດລະເອີຍດຈະຄູກເພາເພື່ອເອົາພລັງຈານຄວາມຮ້ອນ ເຄົາດ່ານທິນທີມີບາດໄຫຍ່ຈະຕກລົງຢັ້ງກັນເຕົາຈຶ່ງເຮືອກກັນວ່າເຄົາກັນເຕົາ (Bottom Ash) ສ່ວນເຄົາດ່ານທິນບາດເລື້ອກວ່າ 1 ໄນໂຄຣເມຕຣຈົນສົງປະມານ 200 ໄນໂຄຣເມຕຣ ຈະລອຍໄປກັບອາກາສຣ້ອນຈຶ່ງເຮືອກວ່າເຄົາລອຍ ເຄົາລອຍຈະຄູກດັກຈັບໂດຍທີດັກຈັບໄຟຟ້າສົດິຕ (Electrostatic Precipitator) ເພື່ອໄມ່ໄຫ້ອອກໄປກັບອາກາສຣ້ອນແລະເປັນມຄກວາະຕ່ອພື້ນທີ່ຮອບບຣິເວນໂຮງໄຟຟ້າ ດ່ານທິນທີ່ໃຊ້ໃນເພາເພື່ອພລິຕິຮະແສໄຟຟ້າມີ 4 ຊນຸດດ້ວຍກັນຄື່ອ ແອນທຣາໄ໒ຕ໌ (Antracite) ບິຖຸມິນິສ (Bituminous) ຜັບບິຖຸມິນິສ (Sub Bituminous) ລິກໄຟນິຕ (Lignite) ກາຣເພາດ່ານທິນບົດເປັນເຂົ້າເພີ້ງໃນກາຣພລິຕີໄຟຟ້າມີໃຊ້ກັນອູ່ 3 ຮະບນດ້ວຍກັນ ໄດ້ແກ່

1. ກາຣເພາຄວາມຮ້ອນສູງ ໃຊ້ອຸນຫກຸມໃນກາຣເພາຍູ່ທີ່ 1,500 – 1,700 °C ເປັນກາຣເພາໃນເຕາເພາແບບໃຊ້ແຮງລມ (Cyclone Combustion) ທີ່ອຸນຫກຸມສູງ ເຄົາດ່ານທິນສ່ວນໄຫຍ່ຈະຫລອມລະລາຍແລະປະທະວົມກັນເປັນເມື່ອກໍອົນ ເຄົາດ່ານທິນທີ່ເຫຼືອສ່ວນໄຫຍ່ຈະເປັນເຄົາກັນເຕົາແລະຕກລົງໃນອ່າງນ້ຳຂ້າງລ່າງ ເຄົາດ່ານທິນບາດເລື້ອກຈະເປັນເຄົາລອຍຊື່ງໃນຮະບນກາຣເພານີ້ຈະມີປຣິມານຄ່ອນຂ້າງນ້ອຍເຄົາດ່ານທິນທີ່ໄດ້ຈະມີລັກຍະນະເປັນແກ້ວມີເສາ (Vitreous Particle)

2. ກາຣເພາຄວາມຮ້ອນປານກລາງ ໃຊ້ອຸນຫກຸມໃນກາຣເພາຍູ່ທີ່ 1,100 – 1,400 °C ເປັນກາຣເພາໃນເຕາເພາແບບໃຊ້ດ່ານທິນບົດ (Pulverized Coal Combustion) ເຄົາດ່ານທິນສ່ວນໄຫຍ່ຈະເປັນເຄົາທີ່ເຫຼືອຈະເປັນເຄົາຫັກຫຼືເຄົາກັນເຕົາ ເຄົາລອຍທີ່ໄດ້ຈາກກາຣເພາມີປຣິມານຮ້ອຍລະ 70 – 90 ມີຄຸນສມບັດເປັນສາຣປອ່ຈໂລານ ເປັນເຄົາລອຍທີ່ເໝາະສໍາຫຽນໃຫ້ແທນທີ່ປຸນເຊີມຕົບງາງສ່ວນເພື່ອທຳຄອນກຣີຕ ໂຮງຈານໄຟຟ້າແມ່ເມາະໃຊ້ກາຣເພາລັກຍະນະນີ້

3. ກາຣເພາຄວາມຮ້ອນຕໍ່າ ໃຊ້ອຸນຫກຸມໃນກາຣເພາຄ່ອນຂ້າງຕໍ່າໄມ່ເກີນ 900 °C ເປັນກາຣເພາໃນເຕາແບບຝູອຸດິໂດ້ບົດ (Fluidized Bed Combustion) ເຄົາດ່ານທິນທີ່ໄດ້ມີຮູປ່ງຮ່າງໄມ່ແນ່ນອນ (Irregular) ແລະມີສ່ວນປະກອນທີ່ເປັນພລືກຄ່ອນຂ້າງສູງ ເນື່ອງຈາກເຄົາທິນທີ່ໄດ້ໄມ່ໄດ້ຜ່ານກາຣເພາທີ່ອຸນຫກຸມທີ່ສູງພວມໝັ້ງຈະສາມາດໃຊ້ເປັນສາຣປອ່ຈໂລານໄດ້ ແຕ່ໄມ່ດີເທົ່າເຄົາລອຍທີ່ໄດ້ຈາກກາຣເພາຄວາມຮ້ອນປານກລາງອ່າຍໄຣກີຕາມວິທີກາຣເພາແບບນີ້ເຮັ່ມມືໃຊ້ມາກຫື່ນສໍາຫຽນກາຣພລິຕີໄຟຟ້າບາດເລື້ອກໃນໂຮງຈານຕ່າງໆ

โดยทั่วไปถ้าลอยจะมีส่วนประกอบหลักที่สำคัญอยู่ 3 ชนิด คือ ซิลิกอนไนโอดอกไซด์ (ประมาณร้อยละ 25-60) อลูมิเนียมออกไซด์ (ประมาณร้อยละ 10-30) และเฟอริกออกไซด์ (ประมาณร้อยละ 5-25) หากพิจารณาขององค์ประกอบทั้ง 3 นี้มากกว่าหรือเท่ากับร้อยละ 70 ASTM จัดถ้าลอยดังกล่าวเป็นถ้าลอย Class F สำหรับถ้าลอย Class C ส่วนใหญ่จะมีสารประกอบของแคลเซียมออกไซด์ในปริมาณสูง ดังนั้น ASTM จึงกำหนดพิจารณาขององค์ประกอบหลักทั้ง 3 ชนิด ดังกล่าวให้มากกว่าหรือเท่ากับร้อยละ 50 เท่านั้น ตารางที่ 5 แสดงองค์ประกอบทางเคมีของปูนซีเมนต์ปอร์ตแลนด์และถ้าลอยจาก 5 แหล่งที่ผลิตได้ในประเทศไทย

**ตารางที่ 5 องค์ประกอบทางเคมีของปูนซีเมนต์ปอร์ตแลนด์และถ้าลอยจาก 5 แหล่งที่ผลิตได้ในประเทศไทย**

แหล่งผลิต	องค์ประกอบทางเคมี (ร้อยละ)							
	SiO <sub>2</sub>	Al <sub>2</sub> O <sub>3</sub>	Fe <sub>2</sub> O <sub>3</sub>	CaO	MgO	Na <sub>2</sub> O	K <sub>2</sub> O	SO <sub>3</sub>
ปูนซีเมนต์	20.62	5.22	3.10	64.99	0.91	0.07	0.50	2.70
แม่เมะ	46.25	26.43	10.71	7.61	2.21	1.11	3.07	1.85
ระยอง	45.02	36.21	4.09	3.64	0.54	0.44	0.31	0.48
สมุทรสาคร	43.92	36.62	3.97	3.05	0.55	0.38	0.44	0.64
กาญจนบุรี	47.39	22.73	6.29	8.36	2.64	0.63	2.95	3.38
ต่างประเทศ	49.04	37.91	2.75	1.03	0.39	0.38	0.52	0.18

ที่มา: วิศวกรรมสถานแห่งประเทศไทยในพระบรมราชูปถัมภ์ (2544)

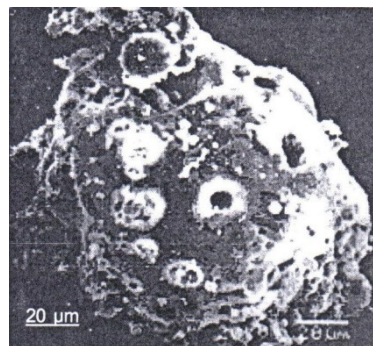
#### คุณสมบัติทางกายภาพของถ้าลอย

ถ้าลอยซึ่งเป็นผลผลิตได้จากโรงงานผลิตกระแทฟไฟฟ้าซึ่งตั้งอยู่ในที่ต่างๆ กันหรือมาจากแหล่งถ่านหินต่างกัน อาจมีสีต่างกันได้ สีของถ้าลอยและปริมาณถ้าลอยที่ใช้ในคอนกรีตจะส่งผลกระทบต่อสีของคอนกรีตที่แข็งตัวแล้ว เช่นเดียวกับการเปลี่ยนสีของปูนซีเมนต์หรือการเปลี่ยนรัศดุลย์ โดยทั่วไปสีของถ้าลอยไม่มีส่วนเกี่ยวข้องต่อกุณสมบัติทางวิศวกรรมของคอนกรีต แต่อาจเป็นตัวบ่งชี้ว่าถ้าลอยมาจากแหล่งที่ต่างกัน หรือมีค่าการสูญเสียน้ำหนักเนื่องจากการเผา และมีปริมาณเหล็กต่างกัน หรือผ่านสภาพการเผาที่แตกต่างกัน

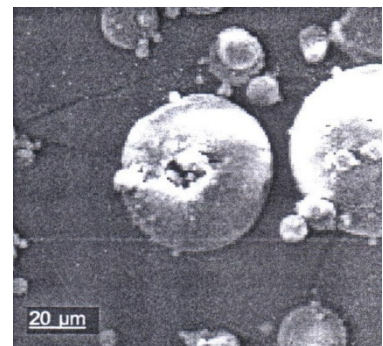
1. รูปร่างของอนุภาค ขนาดอนุภาคและรูปทรงของถ้าลอยขึ้นอยู่กับแหล่งกำเนิน ความสม่ำเสมอของกำเนิน ความละเอียดของผงกำเนินก่อนเผา สภาพการเผา (ระดับอุณหภูมิและปริมาณออกซิเจน) ความสม่ำเสมอของการเผาและวิธีดักจับถ้าลอยที่ใช้ อนุภาคถ้าลอยส่วนใหญ่จะไม่เป็นผลึกและจะมีรูปทรงกลมซึ่งอาจตันหรือกลวง ลักษณะทรงกลมที่ภายในกลวง เรียกว่า ถ้าลอยกลวง (Cenospheres) บางส่วนจะเป็นทรงกลมกลวงบรรจุด้วยอนุภาคเล็กๆ อยู่ภายในที่รู้จักกันในนามของ Plerospheres ดังแสดงในภาพที่ 5 นอกจากนี้ยังมีลักษณะอื่นๆ อีกคือ โปรดংแสงจะถูกต้องมาก มีรูปร่างที่กลมจนถึงรูปร่างที่ยาวแบบถ้าลอยที่มีรูปรูนมากๆ มากจะเกิดจากการเผาต้นกำเนินด้วยอุณหภูมิที่ไม่สูงพอที่จะทำให้ถ้าลอยหลอมเหลวได้

2. ความละเอียด อนุภาคของถ้าลอยมีหลากหลายขนาดตั้งแต่ขนาดเล็กกว่า 1 ไมโครเมตรจนถึงขนาดใหญ่กว่า 1 ไมโครเมตร โรงงานผลิตกระแทไฟฟ้าแบบเก่ามักใช้วิธีดักจับถ้าลอยโดยการแยกเชิงกล ซึ่งจะได้ถ้าลอยที่มีขนาดใหญ่กว่าเมื่อเทียบกับถ้าลอยที่ได้จากโรงงานผลิตกระแทไฟฟ้าแบบใหม่ ซึ่งดักจับถ้าลอยด้วยเครื่องดักจับแบบไฟฟ้าสถิต หรือใช้ถุงเก็บถ้าลอยที่เหมาะสมสำหรับใช้เป็นวัสดุป้องโชลน ความละเอียดเป็นปัจจัยในการบ่งชี้คุณสมบัติของถ้าลอยที่ดีอย่างหนึ่งเมื่อพสมในคอนกรีต ความละเอียดของถ้าลอยสูงจะพบว่ามีคุณสมบัติที่ดีของคอนกรีตเพิ่มขึ้นด้วย

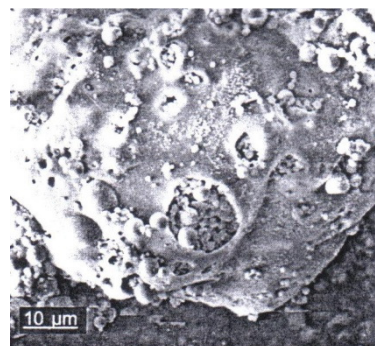
3. ความถ่วงจำเพาะ ถ้าลอยมีความถ่วงจำเพาะระหว่าง 1.97 ถึง 3.02 แต่โดยทั่วไปจะอยู่ระหว่าง 2.2 – 2.8 หากทำการแยกให้มีขนาดเล็กลง มีความละเอียดสูงขึ้น ความถ่วงจำเพาะก็จะเพิ่มขึ้นเพราะถ้าลอยขนาดใหญ่มักมีรูปรูนสูงกว่าถ้าลอยที่มีขนาดเล็ก ถ้าลอยที่มีอนุภาคกลวงอาจลอยน้ำได้ เนื่องจากมีความถ่วงจำเพาะของอนุภาคโดยรวมน้อยกว่า 1.0 ความถ่วงจำเพาะที่สูงมากเป็นตัวบ่งชี้ว่าอนุภาคส่วนใหญ่มีความละเอียดสูงและตัน เนื่องจากถ้าลอยที่อนุภาคหมายมักมีอนุภาคที่กลวงปนอยู่ค่อนข้างมาก



ก.) Cenospheres ขนาด 10 ไมโครเมตร



ข.) Plerospheres ขนาดเล็ก



ค.) Plerospheres ขนาดใหญ่

ภาพที่ 5 รูปร่างลักษณะของถ้าloyที่ถ่ายโดย SEM

ที่มา: วิศวกรรมสถานแห่งประเทศไทยในพระบรมราชูปถัมภ์ (2544)

### Differential Scanning Calorimetry

Differential Scanning Calorimetry หรือ DSC เป็นเทคนิคการวิเคราะห์คุณสมบัติทางความร้อน โดยใช้วิธีการพิจารณา Heat Flow ร่วมกับการเปลี่ยนแปลงของสารที่ทดสอบ เครื่อง DSC เป็นเครื่องมือที่ใช้ช่วยในการตรวจสอบคุณสมบัติทางความร้อนทั้งในเชิงฟิสิกส์และเคมีของสารที่ไม่ทราบล่วงประกอน หรือ สารที่ไม่ทราบลักษณะการเปลี่ยนสถานะ การทดสอบโดยใช้เครื่อง DSC จะสามารถให้ทั้งค่าเชิงปริมาณและคุณภาพทั้งในกระบวนการ Endothermic (ดูดความร้อน) และ Exothermic (ดายความร้อน) โดยชุดเครื่องมือ DSC แสดงดังภาพที่ 6 เครื่อง DSC มีประโยชน์อย่างมากในการตรวจสอบสารตัวอย่างชนิดเดียวกัน โดยพิจารณาที่ความเหมือนและแตกต่างของสารเจือปนซึ่งจะมีผลต่อคุณสมบัติทางความร้อนของสาร



ภาพที่ 6 ชุดเครื่องมือ DSC

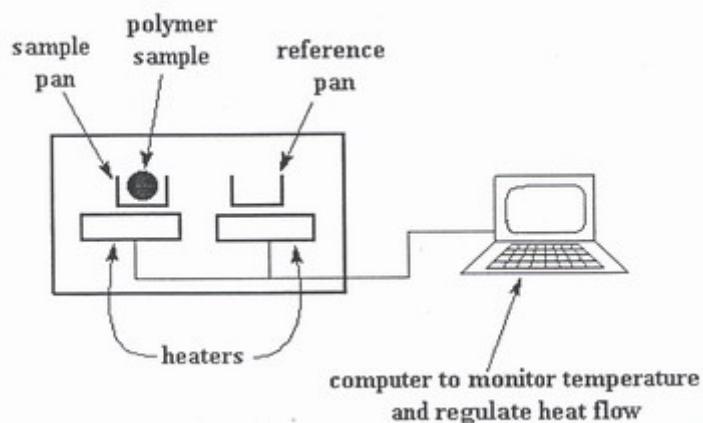
เครื่อง DSC มีหลักการทำงานในการทดสอบสารตัวอย่าง โดยการนำสารตัวอย่างบรรจุลงในถ้วยอลูминานาดเล็ก และนำถ้วยอลูмин่าที่บรรจุสารตัวอย่าง กับถ้วยอลูмин่าเปล่าซึ่งใช้เป็นตัวอ้างอิงวางลงบน DSC Apparatus จากนั้นเครื่อง DSC จะวัดพลังงานความร้อนที่ดูดกลืน (absorbed) หรือหายออกมา (released) จากการให้ความร้อนและความเย็นแก่ตัวอย่างทดสอบที่อัตราการเพิ่มและลดของอุณหภูมิคงที่ โดยอาศัยหลักการความแตกต่างของพลังงานที่ให้แก่สารตัวอย่าง และตัวอ้างอิงที่แสดงค่าออกมาเป็นอุณหภูมิที่เพิ่มขึ้นหรือลดลงกับค่าพลังงานความร้อนที่เปลี่ยนไปโดยที่ได้ DSC Apparatus จะมีอุปกรณ์ที่ใช้วัดอุณหภูมิ (Pt Resistance Thermometers) และอุปกรณ์ทำความร้อน (Resistance Heater) ซึ่งการให้ความร้อนในอัตราจำเพาะขึ้นอยู่กับผู้ทดสอบโดยกำหนดค่าได้ที่เครื่องคอมพิวเตอร์ ซึ่งโดยปกติแล้วจะใช้ค่าอัตราการให้ความร้อนอยู่ที่ 10 องศาเซลเซียสต่อนาที ตัวอย่างค่าที่ได้จากการทดสอบ เช่น

- Glass transition temperature (Tg)
- Melting Point and Heat of Melting
- Degree of Crystallinity
- Thermal Degradation
- Specific Heat

กรณีที่สารตัวอย่างไม่มีการเปลี่ยนสถานะ ขณะทำการทดสอบค่า Heat Flux ของสารตัวอย่างจะคงที่ แต่ในกรณีที่สารตัวอย่างมีการเปลี่ยนสถานะ อุณหภูมิของสารตัวอย่างและตัวอ้างอิง

จะแตกต่างกัน ในช่วงนี้เครื่อง DSC จะมีการให้พลังงานกับสารตัวอย่างเพิ่มมากขึ้น จนกระทั่งความแตกต่างของอุณหภูมิระหว่างสารตัวอย่างและตัวอ้างอิงจะลดต่ำลง โดยปกติค่าความแตกต่างของอุณหภูมิจะต้องมีค่าน้อยกว่า 0.01 องศาเคลวิน โดยพลังงานที่ให้กับสารตัวอย่างต่อหน่วยเวลาจะถูกบันทึกไว้ในรูปของอุณหภูมิ

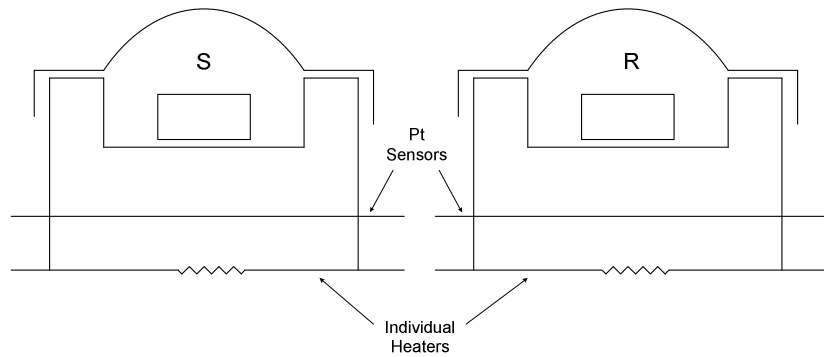
ในการทดสอบด้วยเครื่อง DSC หากมีการให้พลังงานเพิ่มกับสารตัวอย่าง แสดงว่าเป็นกระบวนการการดูดพลังงาน แต่หากในการทดสอบมีการให้พลังงานกับตัวอ้างอิง แสดงว่าเป็นกระบวนการการแบบขายพลังงาน โดยตามหลักการของ Thermodynamics การเกิดการให้พลังงานจากสิ่งแวดล้อมเข้าไปในระบบ ค่าพลังงานจะเป็นบวก สำหรับในกรณีการทดสอบด้วยเครื่อง DSC นี้ ถ้าเครื่อง DSC มีการให้พลังงานกับสารตัวอย่าง เป็นกระบวนการดูดความร้อน ดังนั้นการเปลี่ยนแปลงエンทอลปี ( $\Delta H$ ) จะเป็นบวก ช่วงอุณหภูมิที่เครื่อง DSC สามารถให้พลังงานชดเชยได้อยู่ในช่วงอุณหภูมิระหว่าง 110 ถึง 1,000 องศาเคลวิน



ภาพที่ 7 ชุดอุปกรณ์สำคัญของเครื่อง Differential Scanning Calorimetry (DSC)

ที่มา: Gaelle and Hellenne (2001)

จากภาพที่ 7 เป็นรูปแสดงชุดอุปกรณ์สำคัญของเครื่อง Differential Scanning Calorimetry (DSC) ถ่วงอุณหภูมินาทีบรรจุสารตัวอย่างและถ่วงอุณหภูมินาเปล่าที่ใช้เป็นตัวอ้างอิงจะถูกวางอยู่บน DSC Apparatus ซึ่งจะมีตัว Resistance Sensor ใช้วัดอุณหภูมิของแต่ละถ่วงและมีตัว Resistance Heater เป็นอุปกรณ์ให้ความร้อนติดอยู่ ตำแหน่งการจัดเรียงอุปกรณ์ที่บรรจุถ่วงอุณหภูมินาแสดงอยู่ในภาพที่ 8



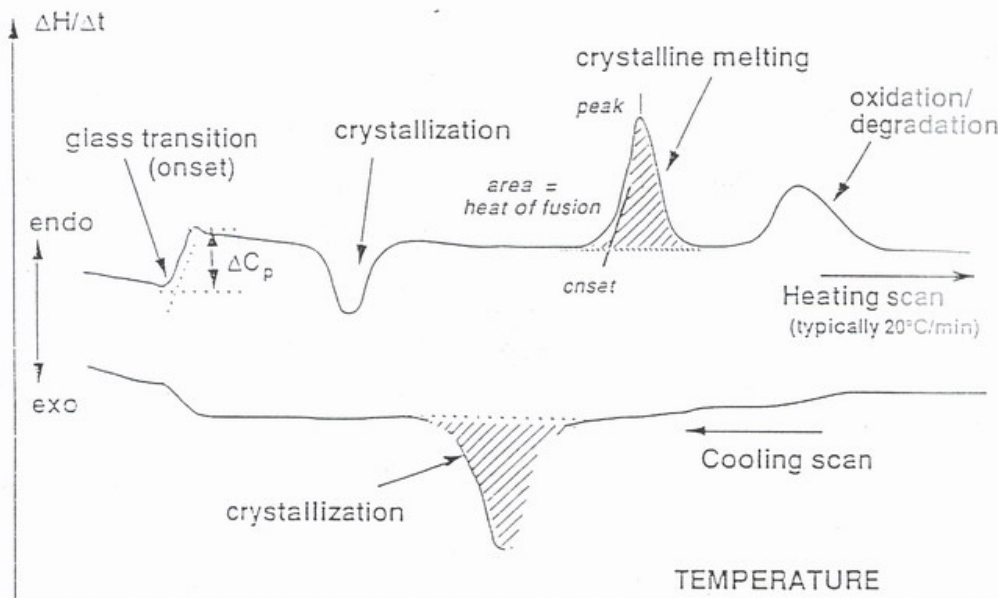
ภาพที่ 8 ตำแหน่งการจัดวางอุปกรณ์ของ DSC Apparatus

ที่มา: Gaelle and Helenne (2001)

อุปกรณ์ทั้ง 2 ตัวดังกล่าวมีหลักการทำงาน คือ ขณะทดสอบเครื่องจะพยายามรักษาอุณหภูมิของทั้ง 2 ถ้วยให้มีค่าใกล้เคียงกันมากที่สุด หากค่าอุณหภูมิของทั้ง 2 ถ้วยที่วัดได้แตกต่างกัน อุปกรณ์ทำความสะอาดร้อนก็จะทำงานจนกระทั่งอุณหภูมิของทั้ง 2 ถ้วยกลับมาใกล้เคียงกันอีกครั้ง

อุปกรณ์หลักที่สำคัญอีกตัวหนึ่งของการทดสอบ Differential Scanning Calorimetry (DSC) คือ เครื่องคอมพิวเตอร์ โดยเครื่องคอมพิวเตอร์จะใช้ควบคุมค่าการทดสอบต่างๆ เช่น ช่วงอุณหภูมิของการทำงาน อัตราการให้ความร้อนหรืออัตราการให้ความเย็น การไหลดของ Purge Gas รวมถึง รวบรวมข้อมูล เก็บข้อมูล และแสดงข้อมูลที่ได้จากการทดสอบในหลายๆรูปแบบ

การใช้ประโยชน์จากเครื่อง DSC ในปัจจุบันจะใช้ทดสอบกับสารจำพวกพอลิเมอร์เป็นส่วนใหญ่ โดยค่าที่เครื่อง DSC สามารถทดสอบได้มีดังที่แสดงในภาพที่ 21 (ค่าที่แสดงในภาพที่ 9 ไม่จำเป็นต้องตรงกับคุณสมบัติของพอลิเมอร์เท่านั้น)



- Important characteristics:  $T_g$ ,  $T_m$ , heat of fusion on heating;  $T_c$  on cooling

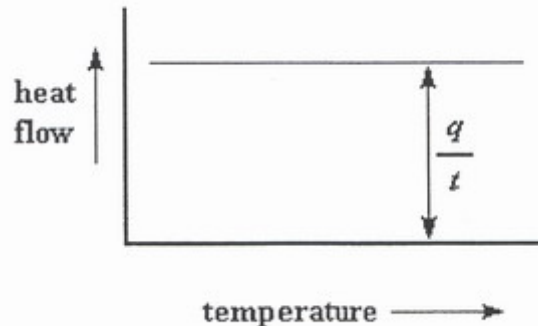
ภาพที่ 9 คุณสมบัติต่างๆที่ทดสอบได้จากเครื่อง DSC

ที่มา: Gaelle and Hellenne (2001)

ภาพที่ 9 จะแสดงการหาค่าคุณสมบัติต่างๆจากการทดสอบที่ได้จากการทดสอบสารตัวอย่างด้วยเครื่อง DSC โดยในเอกสารนี้จะขอกล่าวถึงรายละเอียดการหาค่าจากการทดสอบเฉพาะ 3 ค่าที่เกี่ยวข้องกับงานวิจัยนี้เท่านั้น ได้แก่ ค่าความจุความร้อน ค่าความร้อนแห้งและจุดหลอมเหลวของสาร

### 1) ค่าความจุความร้อน (Heat Capacity)

เมื่อเริ่มต้นให้ความร้อนแก่ถ้วยทึ้งสองที่ใช้ทดสอบ เครื่องคอมพิวเตอร์จะพลีอตกราฟความสัมพันธ์ระหว่างผลต่างความร้อนของถ้วยทึ้งสองกับอุณหภูมิ หรือในอีกความหมายหนึ่ง คือ เป็นกราฟแสดงค่าความสัมพันธ์ระหว่างความร้อนที่พอลิเมอร์ดูดซึมกับอุณหภูมิ ภาพที่ 10 แสดงตัวอย่างกราฟในช่วงเริ่มแรกของการทดสอบ



**ภาพที่ 10** ตัวอย่างกราฟในช่วงเริ่มแรกของการทดสอบสารตัวอย่างด้วยเครื่อง DSC

ที่มา: Gaelle and Hellenne (2001)

จากภาพที่ 10 ค่า Heat Flow คือ ค่าความร้อน  $q$  ที่เป็นอัตราส่วนกับเวลา  $t$  และค่า Heating Rate ซึ่งผู้ทดสอบจะสามารถกำหนดได้ที่เครื่องคอมพิวเตอร์ก่อนทำการทดสอบ คือ อุณหภูมิที่เพิ่มขึ้น  $T$  ต่อเวลา  $t$  ดังนี้

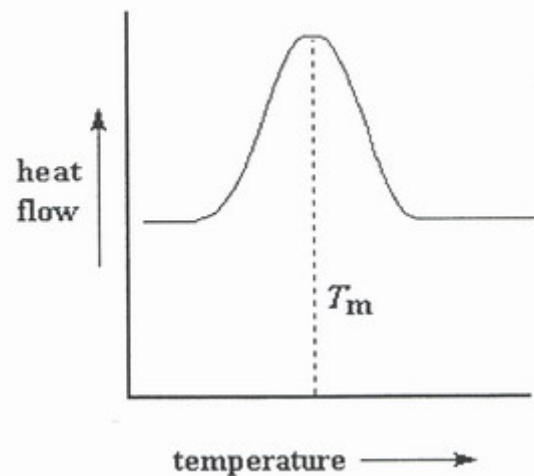
$$\frac{\text{Heat}}{\text{Time}} = \frac{q}{t} = \text{Heat Flow} \quad (1)$$

$$\frac{\text{Temperature Increase}}{\text{Time}} = \frac{\Delta T}{t} = \text{Heating Rate} \quad (2)$$

จากสมการที่ (1) และสมการที่ (2) เมื่อนำ Heat Flow มาหารด้วย Heating Rate ค่าที่ได้จะเป็นค่าความร้อนที่ได้หารด้วยอุณหภูมิที่เพิ่มขึ้น ซึ่งก็คือค่าความจุความร้อนนั่นเอง

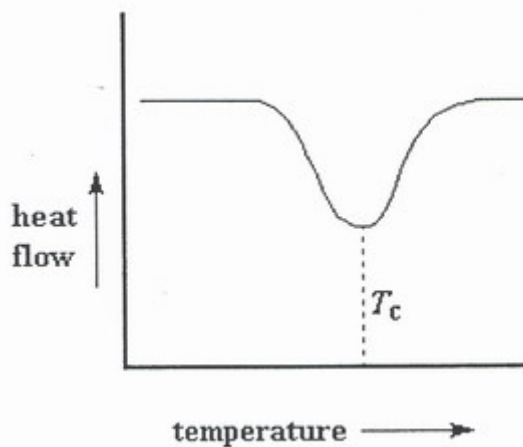
$$\frac{\text{Heat Flow}}{\text{Heat Rate}} = \frac{\frac{q}{t}}{\frac{\Delta T}{t}} = \frac{q}{\Delta T} = C_p = \text{Heat Capacity}$$

2) Melting Temperature และ Crystallization Temperature



ภาพที่ 11 กราฟที่ได้จากการทดสอบด้วยเครื่อง DSC สำหรับกระบวนการดูดความร้อน

ที่มา: Gaelle and Helenne (2001)



ภาพที่ 12 กราฟที่ได้จากการทดสอบด้วยเครื่อง DSC สำหรับกระบวนการดယความร้อน

ที่มา: Gaelle and Helenne (2001)

จากราฟภาพที่ 11 เป็นกระบวนการดูดความร้อน ต้องให้พลังงานเพิ่มเพื่อให้ผลิตเมอร์ หลอมเหลว อุณหภูมิที่จุดยอดสุดของกราฟคือ จุดหลอมเหลว ( $T_m$ ) กราฟภาพที่ 12 แสดงกรณีที่เป็นกระบวนการการถ่ายพลังงาน อุณหภูมิที่จุดต่ำสุดของกราฟจะเรียกว่า Crystallization Temperature ( $T_c$ )

### 3) ความร้อนแฝง (Latent Heat)

ค่า Latent Heat of Melting และ Latent Heat of Crystallization หากาพื้นที่ได้กราฟตัวอย่างกราฟที่แสดงในภาพที่ 11 ค่า Latent Heat of Melting คือ พื้นที่ได้กราฟช่วงตั้งแต่เส้นกราฟเริ่มเพิ่มสูงขึ้นไปหาจุดสูงสุดจนกระทั่งกลับมาที่เส้นระดับปกติอีกครั้ง เช่นเดียวกับกราฟภาพที่ 12 ค่า Latent Heat of Crystallization จะอ่านจากพื้นที่ได้กราฟช่วงที่กราฟเริ่มลดต่ำลงจนถึงจุดต่ำสุด และกลับขึ้นไปอีกในระดับเดิมอีกครั้ง

## งานวิจัยที่เกี่ยวข้องกับวิทยานิพนธ์

Chahroudi (1976) ได้อธิบายเกี่ยวกับการใช้งานวัสดุสำรอง Thermocrete Materials ในรูปแบบทั่ว ๆ ไป โดยเทอร์โมครีต (Thermocrete) คือตัวกลางในการสะสมความร้อนร่วมกับสาร PCMs ในรูปแบบของ Concrete Matrix ซึ่งจะทำให้สามารถสะสมความร้อนได้อย่างทั่วถึง บล็อกเทอร์โมครีตได้ถูกวิเคราะห์โดยเจาะจงพิจารณาในรายละเอียดของการใช้งาน การระบุประสิทธิภาพ และการประหยัดพลังงานในการนำไปประยุกต์ใช้งานในรูปแบบต่างๆ วัสดุสะสมพลังงานความร้อนเทอร์โมครีต ถูกสร้างขึ้นด้วยการผสมสาร PCMs ด้วยเซเมนต์ (Pen Cell Cements) ก็จะได้วัสดุสะสมพลังงานความร้อนราคาถูกที่มีโครงสร้างและมีคุณสมบัติทางเทอร์โมพลาสติก

Keld and Stovall (1989) ได้เสนอแนวคิดในการเติม Octadecane Wax ลงในผนังมวลอิฐบอร์ด (Wallboard) สำหรับการประยุกต์ใช้ด้าน Passive Solar Application ซึ่งได้รับการทดลองด้านจาก The Oak Ring Nation Laboratory (ORNL) – Thermal Energy Storage Program จากผลของการพยากรณ์ในครั้งนี้ทำให้กระบวนการการจุ่มแช่ (Immersion Process) สำหรับการเคลือบผนังมวลอิฐบอร์ดด้วยแวกซ์ (Wax) ประสบความสำเร็จมากขึ้นงานทดลองขนาดเล็กสู่ขนาดใหญ่ การวิเคราะห์แสดงให้เห็นว่ากระบวนการการจุ่มแช่เป็นวิธีที่มีประสิทธิภาพ วัสดุจะมีค่าความจุความร้อนสูงกว่า วิธีการเติมแวกซ์ในรูปแบบเกล็ดลงในผนังมวลอิฐบอร์ดในช่วงกระบวนการผลิต แบบจำลองการวิเคราะห์เพื่อควบคุมการเปลี่ยนสถานะของผนังมวลอิฐบอร์ดสำหรับการใช้ประโยชน์จาก Passive Solar Application ได้ถูกประยุกต์ใช้ขึ้น

Shapiro (1989) ได้แสดงให้เห็นว่า PCMs หลายชนิดมีความเหมาะสมสำหรับการนำมาใช้ในผนังขึบชั้ม (Gypsum Wallboard) ซึ่งนำมาใช้ประโยชน์สำหรับการเก็บความร้อนสำหรับสภาพอากาศของฟลอริดา (Florida) วัสดุเหล่านี้เกิดจากการผสมของ Methyl Esters, Methyl Palmitate และ Methyl Stearate และส่วนผสมของ Short Chain Acid, Caprice Acid และ Lauric Acid เมื่อว่า วัสดุเหล่านี้จะมีความร้อนแห่งสูง แต่ช่วงอุณหภูมิที่ต้องการในการเก็บความร้อน ไม่ได้ลดลงอย่างเพียงพอภายในช่วงอุณหภูมิที่ทำให้รักษาในอาคารที่ตั้งอยู่ในภูมิอากาศร้อน Nepper พบว่าการเก็บความร้อนของผนังวอลบอร์ดที่มีส่วนผสมของ PCMs นั้นเพียงพอที่จะเก็บความร้อนจำนวนมากที่ได้รับโดยตรงจากแสงอาทิตย์

Salyer and Sircar (1990) ได้ทิ้งพบ Linear Alkyl Hydrocarbon PCMs จากการกลั่นปิโตรเลียม ซึ่งสารนี้มีความเหมาะสมเนื่องจากมีราคาถูก และได้มีการพัฒนาวิธีในการเติม PCMs ลงในพลาสเตอร์บอร์ด (Plasterboard) เพื่อลดการร้าวและปัญหาของการขยายตัวในขณะที่มีการหลอมละลายและการแข็งตัว กระบวนการที่ใช้ในการผสม PCMs ลงไปในพลาสเตอร์บอร์ดนั้นทำได้ทั้งโดยการดูดซับ PCMs เหลวเข้าไปในช่องของพลาสเตอร์บอร์ดหลังกระบวนการผลิต หรืออาจจะเติม PCMs ลงไปในขั้นตอนการผลิตในขณะที่พลาสเตอร์บอร์ดยังเปียกอยู่ ซึ่งพบว่าประสบความสำเร็จ

Hawes and Feldman (1990) ได้พิจารณาวิธีการผสม PCMs โดยการผสมโดยตรง (Direct Incorporation) การจุ่มแช่ (Immersion) และการบรรจุภายในแคปซูล (Encapsulation) ในวิธีที่สามสามารถนิยามการบรรจุ PCMs ภายในแคปซูล ที่มีการเปลี่ยนแปลงวัสดุ รูปแบบและขนาดในลำดับของการผสม ดังนั้นจึงควรจะแนะนำถึงวิธีการผสมที่สะดวก โดยจะมีสองหลักการสำหรับตัวกลางในการผสม หลักการแรกคือ Microencapsulation โดยการใช้วัสดุทรงกลมขนาดเล็กหรืออนุภาคที่มีรูปร่างเป็นหลอดปลายปิดบางๆ มีน้ำหนักไม่คงที่ สูง และอนุภาคนี้จะถูกเคลือบด้วยฟิล์มโพลิเมอร์ (Polymeric Film) จากนั้นจะรวมตัวกันอย่างเหมาะสมสมด้วย Encapsulating Film นั้นหมายความว่า ฟิล์มต้องเหมาะสมสำหรับ PCMs และช่องว่าง หลักการที่สองคือนำ Microencapsulation มาบรรจุลงไปในตัวบรรจุ เช่น ห่อ กระเบื้อง รูปทรงกลม พานเดล หรือร่องรับอื่นๆ ตัวบรรจุเหล่านี้จะถูกใช้งานโดยตรงเหมือนกับเครื่องแยกเปลี่ยนความร้อน หรือรวมเข้าไปอยู่ในอุปกรณ์ก่อสร้าง PCMs จำเป็นต้องถูกใส่ในแคปซูลเพื่อ PCMs จะได้ไม่กระทบหรือทำปฏิกิริยากับวัสดุก่อสร้าง ในการทดลองก่อนหน้านี้เกี่ยวกับการบรรจุในขนาดมาตรฐานหรือ Macroencapsulation ลักษณะเหล่านี้ของ PCMs จะกลับเป็นของแข็งในตำแหน่งที่มีการแยกเปลี่ยนความร้อน แต่ด้วยเทคโนโลยี

ของ Microencapsulation ทำให้ขนาดของอนุภาคเล็กมาก จนไม่ทำให้เกิดปรากฏการณ์นี้ Microencapsulation คือการย้อมให้ PCMs รวมตัวกันอย่างง่ายๆ เข้าไปในโครงสร้างของวัสดุ ทั้งสองวิธีการในการผสม PCMs ในคอนกรีตอาจจะมีข้อเสียบางอย่างคือ พลาสติกหรือโลหะที่ใช้เป็นแคปซูลสำหรับฝัง PCMs มีราคาแพง แต่ปลอกภายนอกกับ PCMs ไม่สัมผัสกับคอนกรีตโดยตรง วิธีการจุ่มแช่ PCMs ในคอนกรีตโดยตรงแบบดึงเดินน้ำได้ผลดี แต่ก็มีผลทำให้ความแข็งแรงของโครงสร้างของคอนกรีตลดลง

Peippo et al. (1991) ได้แสดงให้เห็นว่าบ้านที่มีขนาด 120 ตารางเมตรใน Madison, Wisconsin (43 องศาเหนือ) สามารถประหยัดพลังงานได้ถึง 4 จิกะจูลต่อปี (หรือ 45 เปอร์เซ็นต์ของการใช้พลังงานทั้งหมดต่อปี) สรุปว่าการเก็บความร้อนในช่วงเวลากลางวันที่เหมาะสมเกิดขึ้นที่อุณหภูมิหลอมเหลว ซึ่งสูงกว่าอุณหภูมิห้องเฉลี่ย 1 - 3 องศาเซลเซียส นอกจากนี้ได้ทำพนัง PCMs ที่สามารถประหยัดพลังงานได้ถึง 20 เปอร์เซ็นต์ ของมูลค่าที่เกิดขึ้นจากบ้านพักอาศัย

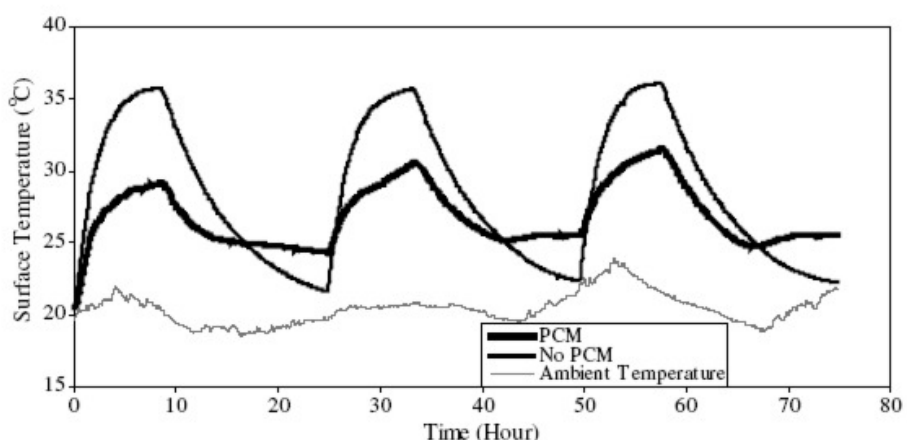
Hawes and Feldman (1992) ได้ทำการศึกษาคุณสมบัติทางความร้อนของสาร PCMs (BS, Dodecanal, Paraffin และ Tetradecanol) ในคอนกรีตหล่อต่างชนิดกัน โดยในการศึกษาได้ครอบคลุมถึงผลกระทบของความเป็นด่างของคอนกรีต อุณหภูมิ เวลาที่ใช้และความเจือจางของสาร PCMs ที่เกิดขึ้นกับการดูดซับของสาร PCMs ในระหว่างกระบวนการจุ่มแช่ (Impregnation) และได้พิจารณาถึงการดูดซับ และตั้งแนวทางในการพัฒนาโดยใช้การดูดซับสาร PCMs อย่างคงที่ในคอนกรีต เพื่อให้ได้ค่าของแรงแพร่กระจายของสาร PCMs ตามต้องการ และได้ค่าความสามารถในการสะสมความร้อนตามที่ต้องการ สิ่งที่ได้จากการปรับปรุงคอนกรีตโดยเทคนิคการผสมสาร PCMs นี้ทำให้ความสามารถในการเก็บสะสมความร้อนเพิ่มขึ้นเป็น 300 เปอร์เซ็นต์

Lee et al. (2000) ได้ศึกษาและแสดงให้เห็นถึงผลการทดสอบในระดับมาโครสเกล (Macro Scale) ในการเปรียบเทียบสมรรถภาพการสะสมความร้อนของบล็อกคอนกรีตที่ผสมสาร PCMs แตกต่างกันสองชนิด คือ BS และ Commercial Paraffin (P) โดยบล็อกคอนกรีต 2 ชนิดได้ถูกนำมาทดสอบและเปรียบเทียบกับ Regular Block (R) ที่ผลิตจากคอนกรีตของประเทศโปแลนด์ และ Autoclaved Block (A) ซึ่งผลิตจากคอนกรีตของประเทศโปแลนด์ผสมกับซิลิกา การชูบกระทำโดยการจุ่มคอนกรีตร้อนๆ ลงใน PCMs เหลว จนกระทั่งได้ PCMs ที่ถูกดูดซับในคอนกรีต 3.9 - 8.6 เปอร์เซ็นต์ ผลที่ได้แสดงให้เห็นว่าบล็อกคอนกรีตจะสามารถเก็บสะสมความร้อนแห้ง และความร้อนที่สามารถสัมผัสได้ เช่นเดียวกับความร้อนแห้งของคอนกรีต ด้วยวิธีนี้จะทำให้การทำความร้อน

หรือความเย็นจากเครื่องใช้ทั่วไปจะถูกเลื่อนไปจากช่วงเวลาที่ต้องการการใช้พลังงานสูง (Demand Time)

Hadjieva et al. (2000) ได้ประยุกต์ใช้เทคนิคการซับคอนกรีต แต่ใช้ Sodium Thiosulphate Pentahydrate ( $\text{Na}_2\text{S}_2\text{O}_3 \cdot 5\text{H}_2\text{O}$ ) เป็น PCMs โดยใช้คอนกรีตที่มีรูพรุนและมีช่องว่างมากกว่า 60 เปอร์เซ็นต์ ผลการทดลองสรุปได้ว่า ช่องว่างสำหรับการคัดซับที่มีขนาดใหญ่ของคอนกรีตจะรองรับโครงสร้างของ  $\text{Na}_2\text{S}_2\text{O}_3 \cdot 5\text{H}_2\text{O}$  ได้ดี และทำให้โครงสร้างมีเสถียรภาพระหว่างรอบของการให้ความร้อน

Farid and Kong (2001) ได้สร้างแผ่นคอนกรีต 2 แผ่น ในแผ่นแรกจะผสม PCMs โดยใช้  $\text{CaCl}_2 \cdot 6\text{H}_2\text{O}$  ผสมลงในพลาสติกทรงกลมที่ผลิตโดยบริษัท Cristo พลาสติกทรงกลมจะมีช่องว่างด้านในประมาณ 10 เปอร์เซ็นต์ เพื่อให้ PCMs สามารถขยายตัวได้ในช่วงการหลอมเหลว พลาสติกแข็งที่ถูกนำมาใช้ในการสร้างทรงกลม จะป้องกันความเค็นที่เป็นอันตรายที่จะเกิดขึ้นรอบๆ โครงสร้าง อย่างไรก็ตาม ความจำเป็นที่จะสร้างความแข็งแรงทางกลของพื้นคอนกรีตด้วยการใส่พลาสติกทรงกลมที่บรรจุ PCMs ลงไปก่อนที่จะหัววิธีปฏิบัติที่เหมาะสม และแผ่นที่สองเป็นแผ่นคอนกรีตเรียบธรรมดา สมรรถนะของแผ่นคอนกรีตทั้งสองแผ่นจะถูกทดสอบและนำมาเปรียบเทียบกัน มวลความร้อนของคอนกรีตจะเพิ่มขึ้นตามจำนวนจุดที่ใส่ PCMs แผ่นคอนกรีตที่ผสม PCMs จะเก็บสะสมความร้อนสำหรับทั้งวันจากการให้ความร้อนเพียง 8 ชั่วโมง โดยคอนกรีตแผ่นเรียบจะสูญเสียความร้อนในเวลาไม่กี่ชั่วโมงดังแสดงในภาพที่ 13



ภาพที่ 13 การเปรียบเทียบสมรรถภาพของระบบให้ความร้อนใต้พื้นห้องโดยใช้และไม่ใช้ PCMs

Xiaoming et al. (2006) ได้ทำการสร้างห้องทดลองขนาด 70 มิลลิเมตร x 70 มิลลิเมตร x 70 มิลลิเมตร โดยด้านข้างของห้องทั้ง 4 ด้านกับด้านล่างของห้องจะเป็นยิปซัมบอร์คชาร์มดา ส่วนด้านบนจะเป็นยิปซัมบอร์คที่มีส่วนผสมของ PCMs อยู่ ซึ่ง PCMs ที่ใช้คือ RT20 และด้านบนของห้องจะมีความไฟฟานาด 500 วัตต์ ซึ่งทำหน้าที่เป็นแหล่งพลังงานความร้อน ในการทดลอง ได้นำ RT20 มาทดสอบกับ Montmorillonite ก่อนเพื่อเพิ่มประสิทธิภาพในการนำความร้อนของ RT20 จากนั้นจึงทำการสร้างห้องจำนวน 3 ห้องคือ ห้องที่ยิปซัมบอร์คด้านบนเป็นยิปซัมบอร์คชาร์มดา และห้องที่ยิปซัมบอร์คด้านบนมีส่วนผสมของ RT20/Montmorillonite 20 เปอร์เซ็นต์ กับ 50 เปอร์เซ็นต์ พบว่าอุณหภูมิกายในและภายนอกห้องต่างกันดังนี้

- ห้องยิปซัมบอร์คชาร์มดา มีอุณหภูมิต่างกัน 10.5 องศาเซลเซียส
- ห้องยิปซัมบอร์คที่มีส่วนผสมของ RT20 / Montmorillonite 20 เปอร์เซ็นต์ มีอุณหภูมิต่างกัน 16.5 องศาเซลเซียส
- ห้องยิปซัมบอร์คที่มีส่วนผสมของ RT20/Montmorillonite 50 เปอร์เซ็นต์ มีอุณหภูมิต่างกัน 20 องศาเซลเซียส

จากผลที่ได้นี้ สรุปว่า ห้องยิปซัมบอร์คที่มีส่วนผสมของ RT20/Montmorillonite 50 เปอร์เซ็นต์ สามารถรักษาอุณหภูมิที่กำลังสบายของมนุษย์ (Human Comfort) ได้ดีที่สุดแต่ต้องใช้ RT20 / Montmorillonite เพิ่มถึง 30 เปอร์เซ็นต์ จึงจะมีอุณหภูมิต่างกับห้องยิปซัมบอร์คที่มีส่วนผสมของ RT20 / Montmorillonite 20 เปอร์เซ็นต์ 3.5 องศาเซลเซียส

## อุปกรณ์และวิธีการ

ในงานวิจัยนี้จะศึกษาการการผลิต Phase Change Materials หรือ PCMs ด้วยวิธี Vacuum Impregnation ซึ่งเป็นวิธีการดูดซับ PCMs เข้าสู่รูพรุนของวัสดุที่มีรูพรุน โดยการทดลองจะแบ่งออกเป็น 2 ส่วน คือ การผลิต Paraffin / Fly Ash Composite PCMs และการทดสอบประสิทธิภาพของ Paraffin / Fly Ash Composite PCMs

### ส่วนที่ 1 การผลิต Paraffin / Fly Ash Composite PCMs

#### 1. การศึกษาหาปริมาณรูพรุนและพื้นที่ผิวของถ้าลอย

การหาปริมาณรูพรุนและพื้นที่ผิวของถ้าลอยทำการทดสอบเครื่อง Nitrogen Adsorption รุ่น Autosorb1

#### วัตถุประสงค์

เพื่อศึกษาหาปริมาณรูพรุนและพื้นที่ผิวของถ้าลอยที่เหมาะสมต่อการนำมาผลิต Paraffin / Fly Ash Composite PCMs

#### สารเคมี อุปกรณ์และเครื่องมือวิเคราะห์

1. เถ้าลอยจากโรงงานไฟฟ้าแม่เมะและโรงงานไฟฟ้า BLCP
2. ไนโตรเจน
3. เครื่อง Nitrogen Adsorption รุ่น Autosorb1

#### วิธีการทดลอง

1. ชั่งนำหนักกระปา จากนั้นใส่สารที่ต้องการวิเคราะห์ในปริมาณ 1/4 ของหลอด แล้วนำไปปั่นเพื่อบันทึกนำหนักก่อนทำการวิเคราะห์
2. เปิดก๊าซไฮเดรย์และก๊าซไนโตรเจนที่ 10 psi ทั้ง 2 ถัง
3. เข้าโปรแกรม AS1

4. ใส่กระเพาะสารที่ต้องการวิเคราะห์ที่ station 1 หรือ 2
5. SVM เครื่องทำความร้อน Heater ตั้งอุณหภูมิ 250 องศาเซลเซียส
6. เป้าโปรแกรม Operation เลือก Out gasser ซึ่งใช้ก้าชในโตรเจนเพื่อทำการดูดความชื้นออกจากสารตัวอย่าง
7. ทำการวิเคราะห์โดยการเข้าสู่โปรแกรม โดยเลือก Analysis เลือก Physisorption
8. โหลด User file ทำการเปลี่ยน ID และ Operator
9. เริ่มการวิเคราะห์ เมื่อเครื่องทำการวิเคราะห์เสร็จให้นำกระเพาะที่บรรจุสารที่ทำการวิเคราะห์ไปชั่งน้ำหนัก
10. เลือก Edit Analysis ใส่น้ำหนักที่บันทึกไว้
11. เครื่องจะทำการคำนวนให้โดยอัตโนมัติ เมื่อทราบค่าน้ำหนักของสารตัวอย่างที่ใช้ในการวิเคราะห์



ภาพที่ 14 เครื่อง Nitrogen Adsorption รุ่น Autosorb1

## 2. การผลิต Paraffin / Fly Ash Composite PCMs

แสดงขั้นตอนการผลิต Paraffin / Fly Ash Composite PCMs โดยใช้พาราฟินเป็นวัสดุ PCMs

### วัตถุประสงค์

เพื่อทำการผลิต Paraffin / Fly Ash Composite PCMs ด้วยวิธี Vacuum Impregnation ขึ้นมาใช้งาน

### อุปกรณ์ที่ใช้

1. Vacuum Pump
2. Vacuum Meter
3. Vacuum Flask ขนาด 500 ml
4. Valve
5. Water Bath
6. เครื่องให้ความร้อน (Heater)
7. เทอร์โมมิเตอร์

### สารเคมีที่ใช้

1. พาราฟิน
2. เฝ้าลอย (Flyash)

### วิธีการทดลอง

1. ละลายพาราฟินด้วย Water Bath เพื่อควบคุมอุณหภูมิของพาราฟิน
2. นำเฝ้าลอยซึ่งถูกขึ้นรูปเป็นเม็ดใส่ลงไปใน Vacuum Flask
3. ต่อ Vacuum Pump เข้ากับ Vacuum Flask และนำ Vacuum Flask แช่ใน Water Bath
4. ทำการเปิด Pump เพื่อกำจัดอากาศภายใน Flask และภายในรูพรุนของเฝ้าลอย

5. หลังจากนั้นทำการเทพาราฟินหลอมเหลวลงไปใน Flask และทำการปิด Pump เพื่อให้ เก้าออยทำการดูดซับพาราฟิน จะได้ Paraffin / Fly Ash Composite PCMs

6. กรอง Paraffin / Fly Ash Composite PCMs ออก นำผ้ามาเช็ด ทิ้งให้เย็นแล้วจึงนำไปบด ให้มีลักษณะเป็นผง

7. นำ Paraffin / Fly Ash Composite PCMs ที่ผลิตได้ไปตรวจสอบคุณสมบัติของวัสดุ โดย ใช้เครื่องมือวิเคราะห์ขั้นสูง

- Differential Scanning Calorimetry (DSC)
- Scanning Electron Microscope(SEM)



ภาพที่ 15 ชุดอุปกรณ์

การผลิต Paraffin / Fly Ash Composite PCMs ด้วยวิธี Vacuum Impregnation มีปัจจัยหลาย อาย่างที่ส่งผลกระทบต่อค่า Latent heat ของวัสดุ PCMs คือ ความดันสูญญากาศ เวลาในการแช่ เถ้า โลยและอุณหภูมิของพาราฟิน เพื่อหาสภาวะที่เหมาะสมต่อการผลิต Paraffin / Fly Ash Composite PCMs จึงสรุปสภาวะที่จะใช้ทดลองดังแสดงในตารางที่ 6



**ภาพที่ 16 เถ้าโลยก้อนและหลังขึ้นรูป**

**ตารางที่ 6 สาระที่ใช้ทดลองเพื่อหาสาระที่เหมาะสมต่อการผลิต Paraffin / Fly Ash Composite PCMs**

การทดลองที่	เวลาสูญญากาศ (นาที)	ความดัน สูญญากาศ (inHg)	เวลาในการแข็ง เหลว (นาที)	อุณหภูมิพาราฟิน (°C)
1	30	0	30	90
	30	10	30	90
	30	20	30	90
	30	30	30	90
	30	40	30	90
	30	50	30	90
2	30	30	5	90
	30	30	15	90
	30	30	30	90
	30	30	60	90
3	30	30	30	65
	30	30	30	90
	30	30	30	120

### 3. การศึกษาหาค่าคุณสมบัติทางความร้อน

การหาค่าความจุความร้อนจำเพาะ Heat capacity ( $C_p$ ) และ ค่าความร้อนแฝงในการหลอมเหลว หรือ Latent heat of fusion ( $\lambda$ ) ของพาราฟินและ Paraffin / Fly Ash Composite PCMs โดยเครื่อง Differential Scanning Calorimetry (DSC)

#### วัตถุประสงค์

เพื่อหาค่าความจุความร้อนจำเพาะ Heat capacity ( $C_p$ ) และ ค่าความร้อนแฝงในการหลอมเหลว หรือ Latent heat of fusion ( $\lambda$ ) ของพาราฟินและ Paraffin / Fly Ash Composite PCMs

#### สารเคมี อุปกรณ์และเครื่องมือวิเคราะห์

1. พาราฟินและ Paraffin / Fly Ash Composite PCMs
2. ถ้วยอลูมินาบรุ่งสารทดสอบ 2 ถ้วย
3. ชุดทดสอบ DSC-TGA ยี่ห้อ TA INSTRUMENT รุ่น SDT 2860 ประกอบด้วย เครื่อง DSC-TGA ดังภาพที่ 17

- คอมพิวเตอร์
- ปั๊ม
- ก๊าซไนโตรเจน
- Stabilizer

#### วิธีการทดลอง

1. เปิดปั๊มและเดรนน้ำที่ถังอยู่ในปั๊มออกเป็นเวลาประมาณ 5 นาที
2. เปิดวาล์วก๊าซไนโตรเจนและปรับอัตราการไหลของก๊าซไนโตรเจนเป็น 100 ลิตรต่อนาที
3. เปิดสวิต์เครื่อง Stabilizer , เครื่อง DSC และคอมพิวเตอร์
4. เลือกโปรแกรม TA instrument → Wizard → DSC-TGA
5. บรรจุชิ้นงานตัวอย่างลงในถ้วยอลูมินาประมาณครึ่งหนึ่งของความจุของถ้วย

6. เลือกให้อัตราการการเพิ่มอุณหภูมิ (Heating Rate) กับสารทดสอบ 1 องศาเซลเซียสต่อนาที และอุณหภูมิสุดท้ายที่ทำการทดสอบที่ 90 องศาเซลเซียส
7. นำถ้วยอลูมินาของชิ้นงานตัวอย่างและถ้วยอลูมินาอ้างอิงบรรจุใน DSC Apparatus และเลือกริบการทดลอง (Start Run) ในเครื่องคอมพิวเตอร์
8. เลือก TA Universal เพื่อวิเคราะห์ข้อมูลที่ได้จากการทดสอบ



ภาพที่ 17 ชุดทดสอบ DSC-TGA ยี่ห้อ TA INSTRUMENT รุ่น SDT 2860

#### 4. การศึกษาหาคุณสมบัติทางกายภาพของวัสดุ

การทดสอบนี้จะทำการถ่ายภาพโดยเครื่อง Scanning Electron Microscope (SEM) ยี่ห้อ PHILIPS รุ่น XL30

#### วัตถุประสงค์

เพื่อดูลักษณะทางกายภาพของถ่านหินและ Paraffin / Fly Ash Composite PCMs ในระดับไมโครสเกล และเปรียบเทียบลักษณะทางกายภาพของแต่ละวัสดุ

## สารเคมี อุปกรณ์และเครื่องมือวิเคราะห์

1. เถ้าโลยและ Paraffin / Fly Ash Composite PCMs
2. เครื่อง SEM ยี่ห้อ PHILIPS รุ่น XL30

### วิธีการทดสอบ

1. เปิด瓦ลก้าช์ในโทรศัพท์ และเปิดเครื่อง SEM
2. นำชิ้นงานตัวอย่างไปทำการ โค๊ตทองเพื่อให้อนุภาคอิเลคตรอนสามารถเคลื่อนที่ได้ดีขึ้น
3. นำชิ้นงานมาใส่ในเครื่อง SEM
4. ถ่ายภาพ SEM ที่ขนาดต่างๆ และบันทึกภาพ



**ภาพที่ 18** เครื่อง SEM ยี่ห้อ PHILIPS รุ่น XL30

## ส่วนที่ 2 การทดสอบประสิทธิภาพของ Paraffin / Fly Ash Composite PCMs

### 5. ทดสอบประสิทธิภาพด้านการกันความร้อน

การทดสอบนี้ได้นำ Paraffin / Fly Ash Composite PCMs มาใช้ร่วมกับปูนซีเมนต์ปอร์ตแลนด์ เพื่อทดสอบประสิทธิภาพการกันความร้อน

#### วัตถุประสงค์

ศึกษาถึงความเป็นไปได้ในการนำ Paraffin / Fly Ash Composite PCMs มาใช้ในวัสดุก่อสร้าง เพื่อพัฒนาวัสดุก่อสร้างให้เกิดนวัตกรรมใหม่ในการกันความร้อน

#### อุปกรณ์ที่ใช้

1. เทอร์โมคัปเปอร์
2. เทอร์โมมิเตอร์
3. หลอดไฟ
4. ขาตั้งและตัวหนีบ

#### สารเคมีที่ใช้

1. Paraffin / Fly Ash Composite PCMs
2. ปูนซีเมนต์ปอร์ตแลนด์ ประเภท 1
3. ทราย
4. น้ำ

#### วิธีการทดสอบ

1. นำมอร์ตาร์ที่ได้จากการผสมปูนซีเมนต์ปอร์ตแลนด์ ทรายและน้ำมาสร้างห้องจำลองขนาด  $150 \times 150 \times 150$  มิลลิเมตร แต่ละด้านหนา 2 เซนติเมตร โดยให้ด้านบนของห้องจำลองเปิดโล่ง

2. นำ PCMs ที่ผลิตได้มาผสมกับปูนซีเมนต์ปอร์ตแลนด์ ทรายและน้ำที่อัตราส่วนต่างๆ ดังตาราง 7 เพื่อทำการผลิตมอร์ตาร์และมอร์ตาร์ PCMs
3. นำมอร์tar์มาหล่อเป็นสี่เหลี่ยมจตุรัสขนาด  $150 \times 150 \times 20$  มิลลิเมตรและ  $150 \times 150 \times 10$  มิลลิเมตรจากนั้นจึงทิ้งให้แข็งตัว ดังภาพที่ 19
4. นำมอร์tar์ PCMs มาหล่อทับบนมอร์tar์เพลทขนาด  $150 \times 150 \times 10$  มิลลิเมตร โดยให้มอร์tar์ PCMs มีขนาดเท่ากันกับมอร์tar์เพลท จากนั้นจึงทิ้งให้แข็งตัว ดังภาพที่ 20
5. นำมอร์tar์เพลทและมอร์tar์ PCMs เพลท มาไว้ด้านบนของห้องจำลองเพื่อปิดด้านบนของห้องจำลอง
6. นำหลอดไฟไว้ด้านบนของห้องจำลองดังภาพที่ 21 เปิดไฟ ทำการตรวจดูอุณหภูมิที่ผิว และอุณหภูมิกายในห้อง บันทึกค่าทุกๆ 1 นาทีเป็นเวลา 1 ชั่วโมง
7. หลังจากนั้นทำการปิดไฟ ตรวจดูอุณหภูมิที่ผิวและอุณหภูมิกายในห้อง บันทึกค่าทุกๆ 1 นาทีเป็นเวลา 1 ชั่วโมง

ตารางที่ 7 แสดงอัตราส่วนผสมระหว่าง PCMs: ปูนซีเมนต์: ทราย: น้ำ

อัตราส่วนผสมที่	วัสดุ (กรัม)			
	PCMs	ปูนซีเมนต์	ทราย	น้ำ
1	0	300	115	115
2	30	270	115	115
3	90	210	115	115
4	150	150	115	115



ภาพที่ 19 มอร์ตาร์เพลทหนา 20 และ 10 มิลลิเมตร



ภาพที่ 20 มอร์tar์ PCMs เพลทหนา 20 มิลลิเมตร



**ภาพที่ 21** ภาพการจัดอุปกรณ์เพื่อทำการทดสอบประสิทธิภาพของ Paraffin / Fly Ash Composite PCMs

## 6. ทดสอบประสิทธิภาพด้านความแข็งแกร่ง

การทดสอบนี้ได้นำเดาลอยจากโรงงานไฟฟ้าแม่เมะ โรงงานไฟฟ้า BLCP และ Paraffin / Fly Ash Composite PCMs มาใช้ทดสอบพูนซีเมนต์ปอร์ตแลนด์ในอัตราส่วนต่างๆ เพื่อทดสอบประสิทธิภาพด้านความแข็งแกร่ง

### วัสดุประสงค์

ศึกษาถึงผลกระแทบทอง Paraffin / Fly Ash Composite PCMs ที่มีต่อความแข็งแกร่งของพูนซีเมนต์ปอร์ตแลนด์

### อุปกรณ์ที่ใช้

1. เครื่องผสม
2. เครื่องทดสอบแรงอัด
3. เครื่อง

4. แท่งกระถุง
5. แม่แบบลูกบากศ์ (Mold) ขนาด 50 x 50 มิลลิเมตร

### สารเคมีที่ใช้

1. Paraffin / Fly Ash Composite PCMs
2. ปูนซีเมนต์ปอร์ตแลนด์ ประเภท 1
3. เถ้าโลหะจากโรงงานไฟฟ้าแม่มาže และโรงงานไฟฟ้า BLCP
4. ทราย
5. น้ำ
6. น้ำมันหล่อลื่น

### วิธีการทดสอบ

1. นำวัสดุทดลอง คือ เถ้าโลหะจากโรงงานไฟฟ้าแม่มาže และโรงงานไฟฟ้า BLCP และ Paraffin / Fly Ash Composite PCMs มาผสมกับปูนซีเมนต์ปอร์ตแลนด์ที่อัตราส่วนต่างๆ ดังตารางที่ 8 จากนั้นจึงนำมาผสมทรายและน้ำ โดยให้อัตราส่วนระหว่างวัสดุผสมต่อทรายเป็น 1 : 2.75 โดยนำน้ำหนักและปริมาตรน้ำที่ใช้ต้องเพียงพอที่จะทำให้ค่าการไหลแห่งของซีเมนต์เพลทเป็น 105 – 115
2. นำซีเมนต์เพลทธรรมชาติและซีเมนต์เพลท PCMs ที่ได้มานำลงเป็นสี่เหลี่ยมลูกบากศ์ ขนาด 50 mm. x 50 mm. x 50 mm.
3. ทิ้งให้แข็งตัวเป็นเวลา 24 ชั่วโมง จากนั้นจึงแกะออกจากแบบและนำไปบ่มน้ำเป็นเวลา 1, 3, 7, 28 วัน
4. นำลูกบากศ์ที่ครบกำหนดการบ่มน้ำมาเช็ดให้แห้ง วัดขนาดของลูกบากศ์และทำการทดสอบแรงอัดด้วยเครื่องทดสอบแรงอัด



ภาพที่ 22 เครื่องทดสอบแรงอัด



ภาพที่ 23 แม่แบบลูกบาศก์ (Mold) ขนาด 50 x 50 มิลลิเมตร



ภาพที่ 24 เครื่องผสม



ภาพที่ 25 เครื่องและแท่งกระถาง

ตารางที่ 8 อัตราส่วนระหว่าง PCMs: ปูนซีเมนต์ปอร์ตแลนด์: ทราย: น้ำ

อัตราส่วน (ปูน : วัสดุทดแทน)	วัสดุ (g)					
	ปูนซีเมนต์	แม่เม้า	BLCP	PCMs	ทราย	น้ำ
100 : 0	1,050	-	-	-	2,887.5	832
	945	105	-	-	2,887.5	808
90 : 10	945	-	105	-	2,887.5	888
	945	-	-	105	2,887.5	856
80 : 20	840	210	-	-	2,887.5	
	840	-	210	-	2,887.5	900
	840	-	-	210	2,887.5	928
70 : 30	735	315	-	-	2,887.5	768
	735	-	315	-	2,887.5	957
	735	-	-	315	2,887.5	1,090
60 : 40	630	420	-	-	2,887.5	
	630	-	420	-	2,887.5	1,010
	630	-	-	420	2,887.5	1,152
50 : 50	525	525	-	-	2,887.5	728
	525	-	525	-	2,887.5	1,000
	525	-	-	525	2,887.5	1,360

## ผลและวิจารณ์ผลการทดลอง

งานวิจัยนี้แบ่งงานวิจัยเป็น 2 ส่วน คือ การผลิต Paraffin / Fly Ash Composite PCMs และการทดสอบประสิทธิภาพของ Paraffin / Fly Ash Composite PCMs โดยการทดลองที่ 1 – 4 เป็นการทดลองในส่วนที่ 1 และการทดลองที่ 5 – 6 เป็นการทดลองในส่วนที่ 2

การทดลองที่ 1 เป็นการเลือกแหล่งผลิตของถ้าloyที่จะนำมาใช้ในการผลิตวัสดุ PCMs ซึ่งถ้าloyที่ใช้ในการการพิจารณาได้มาจากโรงงานไฟฟ้าแม่เมะและโรงงานไฟฟ้า BLCP หลังจากที่เลือกแหล่งผลิตถ้าloyได้แล้วจึงนำถ้าloyจากแหล่งที่เลือกมาทำการผลิต Paraffin / Fly Ash Composite PCMs ซึ่งเป็นการทดลองที่ 2 Paraffin / Fly Ash Composite PCMs ที่ผลิตได้จะได้รับการตรวจสอบคุณสมบัติทางความร้อนและคุณสมบัติทางกายภาพ ซึ่งเป็นการทดลองที่ 3 และ 4

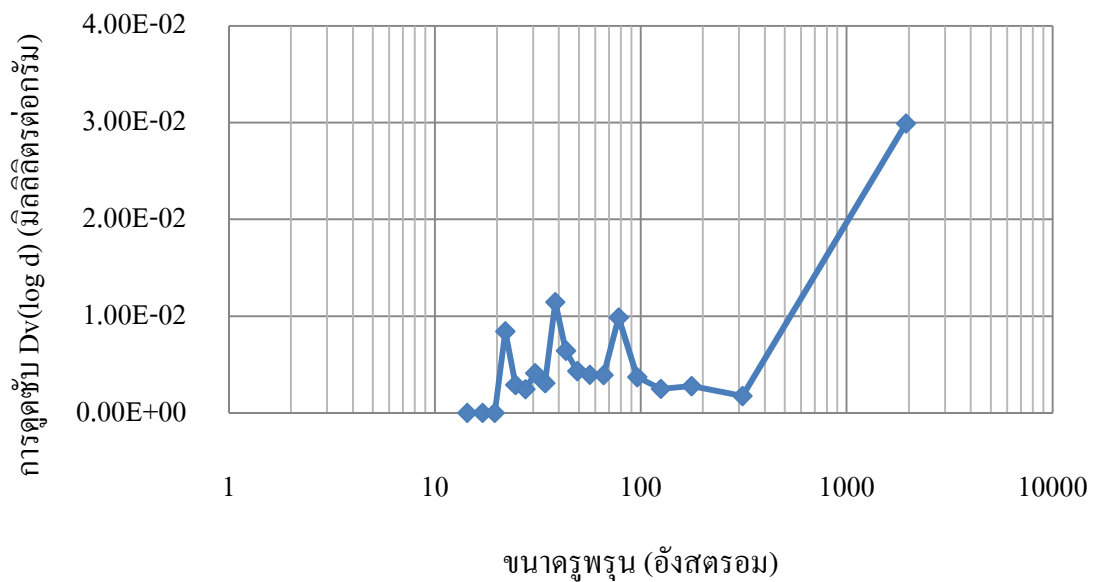
การทดลองในส่วนที่ 2 เป็นการนำวัสดุ PCMs มาใช้งานเพื่อทดสอบประสิทธิภาพและพิจารณาถึงความเป็นไปได้ในการใช้วัสดุ PCMs ร่วมกับวัสดุก่อสร้าง โดยการทดลองได้นำ Paraffin / Fly Ash Composite PCMs มาใช้ร่วมกับปูนซีเมนต์และทำการทดสอบประสิทธิภาพด้านการกันความร้อนกับด้านความแข็งแกร่ง ซึ่งตรงกับการทดลองที่ 5 และ 6

### 1. การศึกษาหาปริมาณรูพรุนและพื้นที่ผิวของถ้าloy

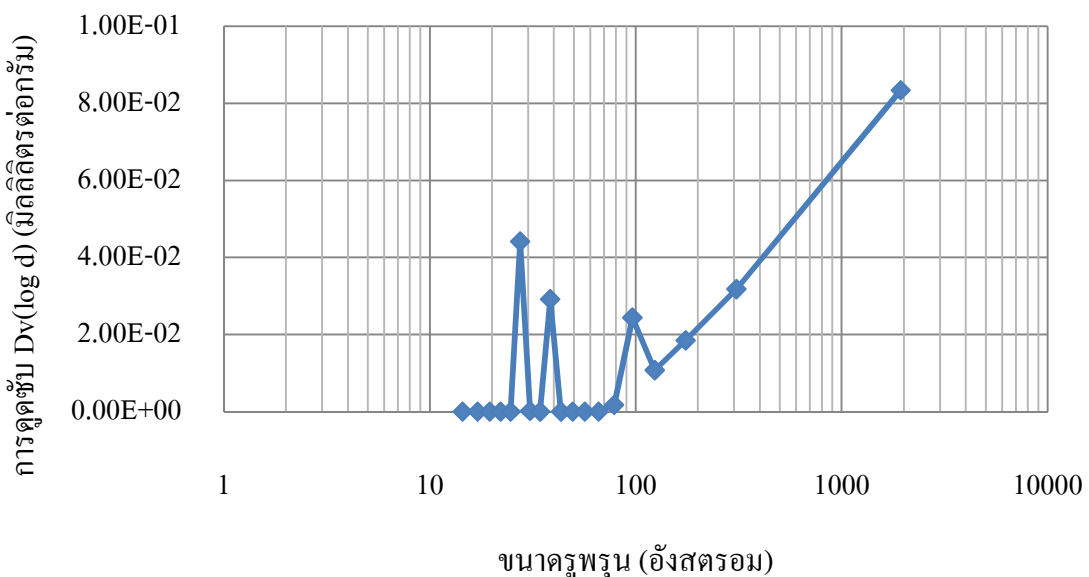
แหล่งผลิตถ้าloyแต่ละแหล่งมีความสำคัญต่อการผลิต Paraffin / Fly Ash Composite PCMs เพราะแต่ละแหล่งมีวัตถุคิบและสภาพในการเผาต่างกัน ทำให้ถ้าloyจากแต่ละแหล่งมีความแตกต่างกัน ซึ่งถ้าloyที่เหมาะสมต่อการนำมาผลิต Paraffin / Fly Ash Composite PCMs จะต้องมีปริมาณรูพรุนที่มากเพื่อที่จะได้สามารถดูดซับพาราฟินได้มาก โดยในการทดลองได้ทำการทดสอบหาปริมาณรูพรุนของถ้าloyจาก 2 แหล่งคือ โรงงานไฟฟ้าแม่เมะและโรงงานไฟฟ้า BLCP ด้วยเครื่อง Nitrogen Adsorption รุ่น Autosorb1 ด้วยเทคนิคการดูดซับในโตรเจนแบบ BJH ได้ผลการตรวจสอบดังตารางที่ 9 และภาพที่ 26-27

ตารางที่ 9 พื้นที่ผิว ขนาดของรูปพรรณและปริมาตรรูปพรรณของถ้าลอย

ถ้าลอย	พื้นที่ผิว (ตารางเมตรต่อกรัม)	ขนาดรูปพรรณเฉลี่ย (อังสตรอม)	ปริมาตร (มิลลิลิตรต่อกรัม)
แม่เมะ	4.411	21.98	0.033
BLCP	9.313	27.44	0.097



ภาพที่ 26 การกระจายขนาดรูปพรรณของถ้าลอยจากแม่เมะ



ภาพที่ 27 การกระจายขนาดรูปพรรณของถ้าโลຍจาก BLCP

จากตารางที่ 9 และภาพที่ 26-27 แสดงให้เห็นว่าถ้าโลຍจากโรงงานไฟฟ้า BLCP มีพื้นที่ผิวขนาดและปริมาตรของรูปพรรณมากกว่าถ้าโลຍจากโรงงานไฟฟ้าแม่เมะ ทั้งนี้เป็นเพราะถ้าโลຍจากโรงงานไฟฟ้าแม่เมะใช้ความร้อนในการเผาถ่านหินที่อุณหภูมิ 1100-1400 องศาเซลเซียสซึ่งถือว่าเป็นอุณหภูมิที่ค่อนข้างสูง ทำให้ถ้าโลຍที่ได้เกิดการหลอมละลายและปิดรูปพรรณของตัวมันเองในขณะที่ถ้าโลຍจากโรงงานไฟฟ้า BLCP ใช้ความร้อนในการเผาถ่านหินที่อุณหภูมิไม่เกิน 900 องศาเซลเซียส ซึ่งความร้อนที่ใช้งานไม่ร้อนเพียงพอที่จะทำให้ถ้าโลยละลายมาปิดรูปพรรณของตัวมันเอง ถ้าโลຍจากโรงงานไฟฟ้า BLCP จึงมีพื้นที่ผิวขนาดและปริมาตรของรูปพรรณมากกว่าถ้าโลຍจากโรงงานไฟฟ้าแม่เมะ

## 2. การผลิต Paraffin / Fly Ash Composite PCMs

วิธีผลิต PCMs ด้วยวิธี Vacuum Impregnation คือวิธีการดูดซับพาราฟินเข้าสู่รูปพรรณของวัสดุรูปพรรณโดยอาศัยแรงดันอากาศในการช่วยผลักดัน เนื่องจากค่าความร้อนแห่งของ PCMs ขึ้นอยู่กับปริมาณของพาราฟินที่วัสดุรูปพรรณดูดซับໄได้ ดังนั้นปริมาตรของวัสดุรูปพรรณที่ใช้ในการดูดซับจึงมีความสำคัญมาก เพราะจะทำให้การดูดซับเกิดได้มากขึ้น อย่างไรก็ตามภายในรูปพรรณของวัสดุรูปพรรณมีอากาศอยู่ซึ่งอากาศภายในรูปพรรณจะเป็นตัวต่อต้านการดูดซับของตัววัสดุเอง จึงทำให้การดูดซับพาราฟินซึ่งเป็นของเหลวหนืดเกิดขึ้นได้ยาก การกำจัดอากาศภายในรูปพรรณออกก่อนที่จะทำการดูดซับพาราฟินจึงมีความสำคัญ

Vacuum Pump ในชุดการทดลองถูกติดตั้งเพื่อทำการกำจัดอากาศภายใน Vacuum Flask และภายในรูปrunของถ้วยอย โดยมี Vacuum Meter และ Valve เป็นตัวควบคุมความดันสุญญากาศ

ถ้วยต้องถูกขึ้นรูปเป็นเม็ดก้อนเพื่อความสะดวกในการทดลอง เนื่องจากถ้วยอยมีลักษณะเป็นทรงที่มีขนาดอนุภาคในระดับไมโครซึ่งยากต่อการกรองออกจากพาราฟินหลอมเหลว การขึ้นรูปเป็นเม็ดของถ้วยทำโดยการนำถ้วยอยมาผสาน้ำเพียงเล็กน้อยให้เพียงพอที่จะทำให้ถ้วยอยเกิดการคงตัว จากนั้นนำถ้วยอยเปียกใส่ในหลอดนิรดยาตัดปลาบนด้วยไฟฟ้า 1.5 เช่นติเมตร ทำการอัดเพื่อไล่น้ำออกจะได้ถ้วยอยที่อัดตัวเป็นแท่ง ใช้มีดแบ่งออกเป็นส่วนๆ แล้วนำไปอบให้แห้งจึงจะสามารถนำมาใช้งานได้

ถ้วยอยเม็ดที่ถูกแซ่ในพาราฟินเพื่อผลิตเป็น Paraffin / Fly Ash Composite PCMs หลังจากที่กรองแยกออกจากพาราฟินและทำให้แห้งแล้วจะต้องถูกน้ำไปบดให้เป็นผง เพื่อความสะดวกในการตรวจสอบคุณสมบัติทางกายภาพและการใช้งานร่วมกับปูนซีเมนต์ ภาพที่ 28 แสดงถ้วยอยเม็ดก้อนและหลังการแซ่พาราฟินกับถ้วยอยหลังแซ่พาราฟินที่ผ่านการบดแล้ว

การผลิต Paraffin / Fly Ash Composite PCMs ด้วยวิธี Vacuum Impregnation มีตัวแปรสำคัญ 3 ตัวที่มีผลต่อค่า Latent heat ของวัสดุ PCMs คือ ความดันสุญญากาศ เวลาการแซ่ถ้วยอยในพาราฟินและอุณหภูมิของพาราฟิน ซึ่งจะได้รับการตรวจสอบด้วยเครื่อง Differential Scanning Calorimetry (DSC) ในการทดลองที่ 3



ก. เถ้าโลยเม็ดก้อนแซ่พาราฟิน



ข.ถ้าโลยเม็ดหลังแซ่พาราฟิน



ค. เถ้าโลยหลังแซ่พาราฟินที่ผ่านการบด

**ภาพที่ 28** เถ้าโลยเม็ดก้อนและหลังการแซ่พาราฟินกับถ้าโลยหลังแซ่พาราฟินที่ผ่านการบด

### 3. การศึกษาหาค่าคุณสมบัติทางความร้อน

การศึกษาหาตัวแปรที่มีผลกระทบต่อค่า Latent Heat ของ Paraffin / Fly Ash Composite PCMs ด้วยวิธี Vacuum Impregnation ได้ทำการศึกษาตามตารางที่ 6 โดยแบ่งการทดลองเป็น 3 การทดลอง ทุกการทดลอง ได้รับการตรวจสอบค่า Latent Heat ด้วยเครื่อง Differential Scanning Calorimetry หรือ DSC

Differential Scanning Calorimetry หรือ DSC เป็นเทคนิคการวิเคราะห์คุณสมบัติทางความร้อน โดยใช้วิธีการพิจารณา Heat flow ร่วมกับการเปลี่ยนแปลงของสารที่ทดสอบ เครื่อง DSC เป็นเครื่องมือที่ใช้ช่วยในการตรวจสอบคุณสมบัติทางความร้อนทั้งในเชิงพิสิกส์และเคมีของสารที่ไม่ทราบส่วนประกอบ หรือสารที่ไม่ทราบลักษณะการเปลี่ยนสถานะ การทดสอบโดยใช้เครื่อง DSC

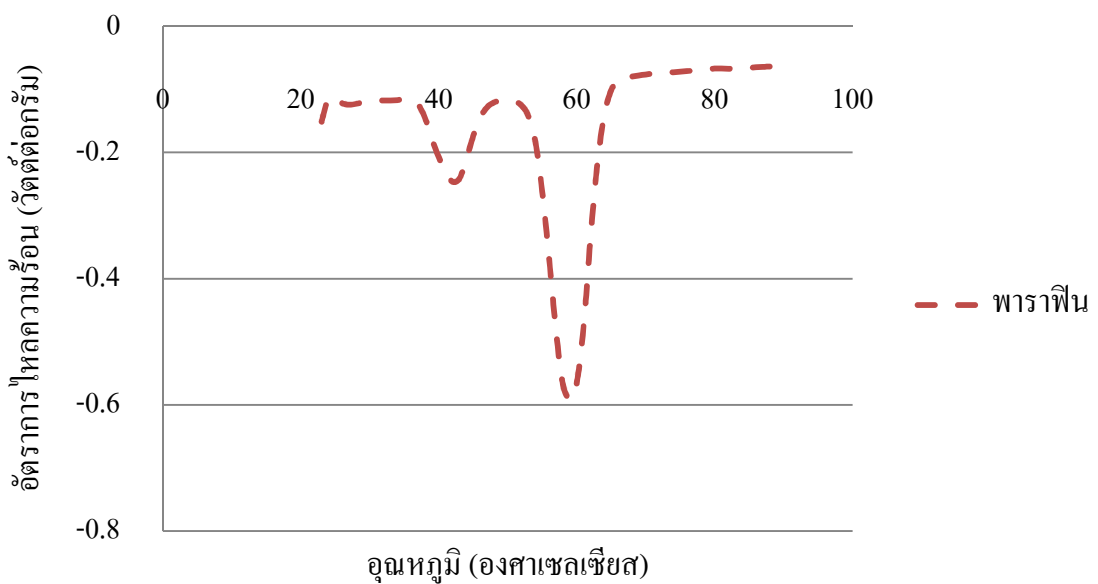
จะสามารถให้ทั้งค่าเชิงปริมาณและคุณภาพ โดยผลการทดลองจะแบ่งออกเป็น 3 หัวข้อและวิเคราะห์แยกจากกัน เพื่อความง่ายในการทำความเข้าใจ มีรายละเอียดดังนี้

### 3.1 ผลกระทบของความดันสุญญากาศ

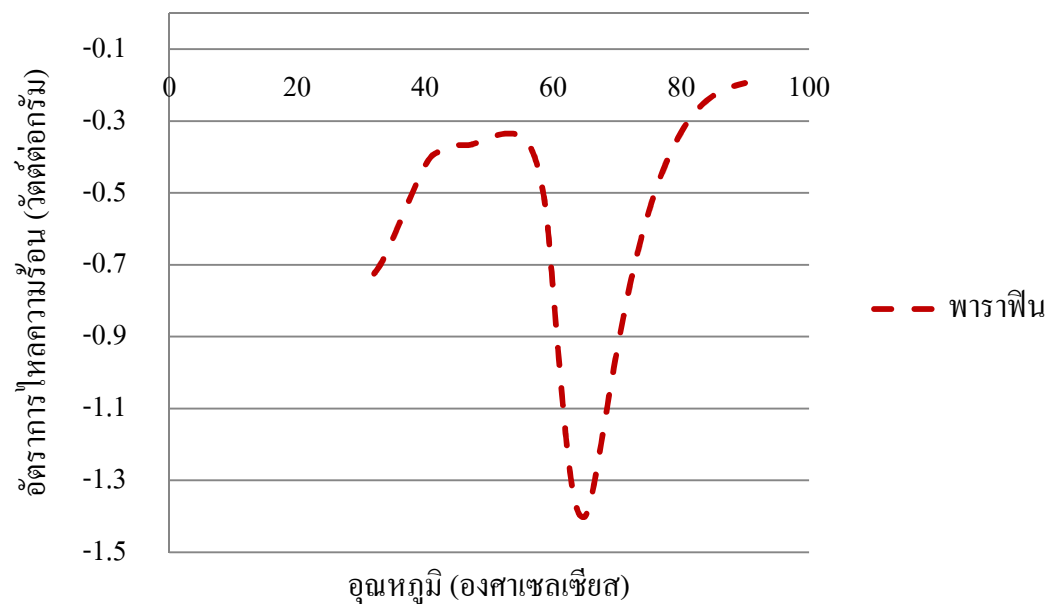
ผลการหาค่าความร้อนจำเพาะ Heat Capacity ( $C_p$ ) จุดหลอมเหลวและค่าความร้อนแฝงหรือ Latent Heat of Fusion ( $\lambda$ ) ของสารตั้งต้นซึ่งได้แก่พาราฟิน โดยเครื่อง Differential Scanning Calorimetry (DSC) ยี่ห้อ TA INSTRUMENT รุ่น SDT 2860 แสดงดังตารางที่ 10 และภาพที่ 29

**ตารางที่ 10** คุณสมบัติทางความร้อนของพาราฟิน

พาราฟินที่ Heating rate	1 องศาเซลเซียสต่อนาที	5 องศาเซลเซียสต่อนาที
ความร้อนของแข็ง (จุดต่อกรัมของศาสเซลเซียส)	7.087	4.530
ความร้อนของเหลว (จุดต่อกรัมของศาสเซลเซียส)	4.626	2.967
จุดหลอมเหลว (องศาเซลเซียส)	58.95	64.74
ความร้อนแฝง (จุดต่อกรัม)	184.1	159.6



ก. กราฟ DSC ของพาราฟินที่ Heating rate 1 องศาเซลเซียสต่อนาที



ข. กราฟ DSC ของพาราฟินที่ Heating rate 5 องศาเซลเซียสต่อนาที

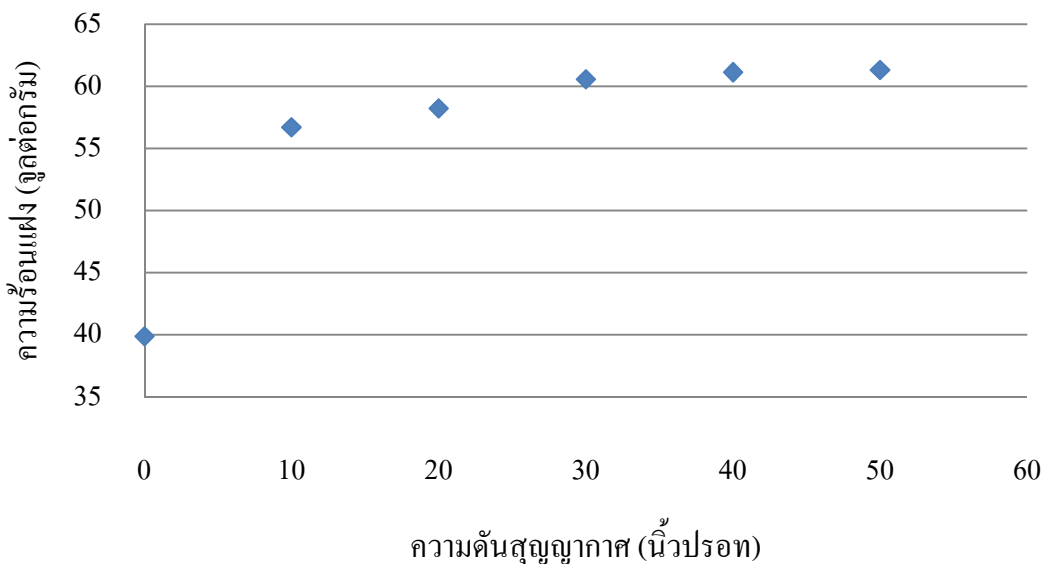
ภาพที่ 29 กราฟ DSC ของพาราฟิน

การตรวจสอบคุณสมบัติทางความร้อนของพาราฟินทำเพื่อนำคุณสมบัติทางความร้อนที่ตรวจสอบได้มาเป็นมาตรฐานอ้างอิงในการเปรียบเทียบกับ Paraffin / Fly Ash Composite PCMs ที่ผลิตได้ในสภาวะต่างๆ จากตารางที่ 10 และภาพที่ 29 พาราฟินที่ Heating rate 1 องศาเซลเซียสต่อนาที มีจุดหลอมเหลว 58.95 องศาเซลเซียส และมีค่าความร้อนแฝง 184.1 จูลต่อกรัม ในขณะที่พาราฟินที่ Heating rate 5 องศาเซลเซียสต่อนาที มีจุดหลอมเหลว 64.74 องศาเซลเซียส และมีค่าความร้อนแฝง 159.6 จูลต่อกรัม ซึ่งจะเห็นว่าค่าที่ได้มีความแตกต่างกันกันค่อนข้างมาก ทั้งนี้การหาคุณสมบัติทางความร้อนของสารที่มีจุดหลอมเหลวต่ำ (ต่ำกว่า 200 องศาเซลเซียส) ด้วยเครื่อง Differential Scanning Calorimetry (DSC) ยี่ห้อ TA INSTRUMENT รุ่น SDT 2860 เมมเบรนที่จะใช้กับ Heating rate ที่ต่ำ เพื่อการเพิ่มความร้อนที่เร็วเกินไปจะทำให้คุณสมบัติทางความร้อนที่ได้มีค่ากัวงไม่ละเอียดเพียงพอที่จะทำการเปรียบเทียบคุณสมบัติของสารที่ทำการทดลองได้และกราฟ DSC ของพาราฟินที่ Heating rate สูงก็ไม่สามารถแสดง base line ได้อย่างชัดเจน ดังนั้นการตรวจสอบคุณสมบัติทางความร้อนของงานวิจัยจึงใช้ Heating rate ที่ 1 องศาเซลเซียสต่อนาที

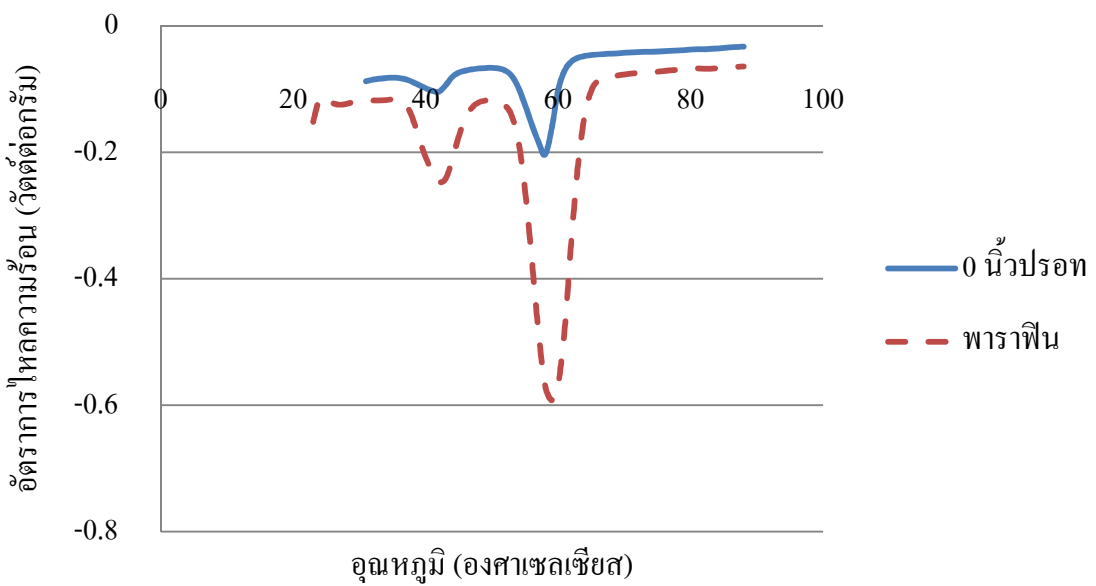
สำหรับการศึกษาผลกระบวนการดันสุญญากาศจะศึกษาถึงลักษณะการหลอมละลายของสารตัวอย่าง จุดหลอมเหลวและปริมาณของความร้อนแฝงเป็นหลัก ซึ่งความดันสุญญากาศและสภาวะต่างๆ ที่ใช้ในการทดลอง ค่าคุณสมบัติทางความร้อนของแต่ละตัวอย่างและการ DSC ของแต่ละตัวอย่าง แสดงดังตารางที่ 11 และภาพที่ 31-37 ตามลำดับ

**ตารางที่ 11 ความดันสุญญากาศและสภาวะต่างๆ ที่ใช้ในการทดลองและคุณสมบัติทางความร้อนของสารตัวอย่าง**

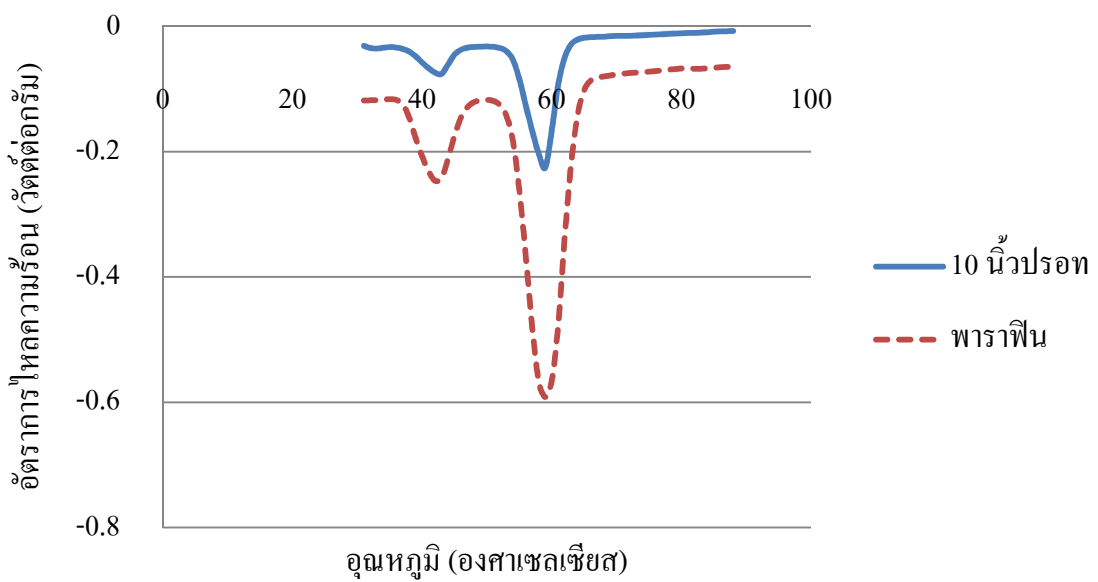
ความดันสุญญากาศ (นิวตันเมตร)	เวลา (นาที)	เวลาการแช่เยือกอยู่ (นาที)	อุณหภูมิพาราฟิน (°C)	จุดหลอมเหลวพาราฟิน (°C)	ความร้อนแฝง (จูลต่อกรัม)
0	30	30	90	58.19	39.89
10	30	30	90	58.93	56.70
20	30	30	90	58.96	58.23
30	30	30	90	58.88	60.56
40	30	30	90	58.53	61.12
50	30	30	90	58.65	61.32



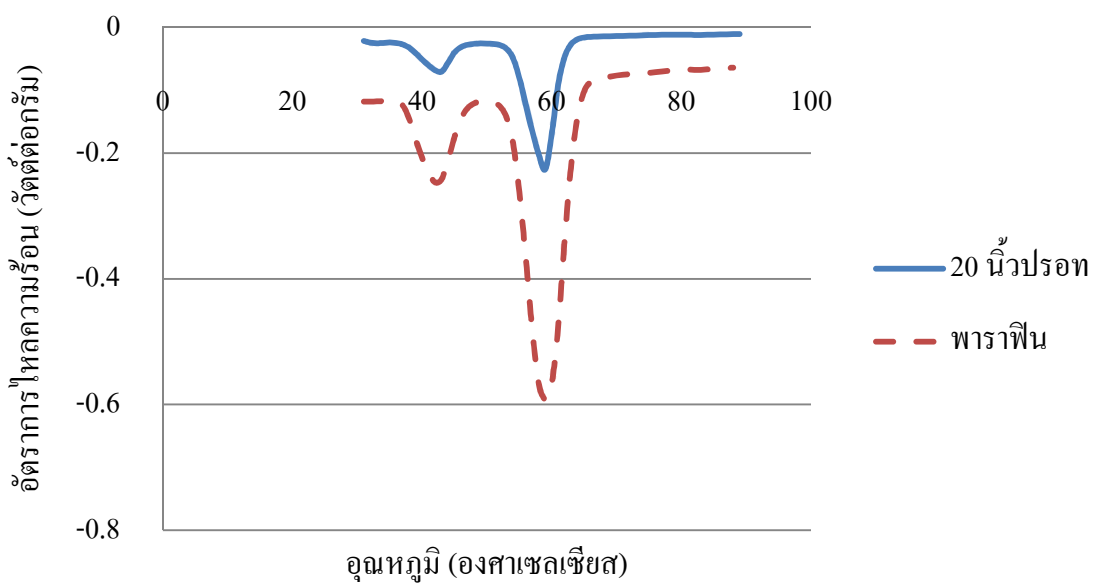
ภาพที่ 30 ผลของความดันสุญญากาศต่อค่าความร้อนแห่ง



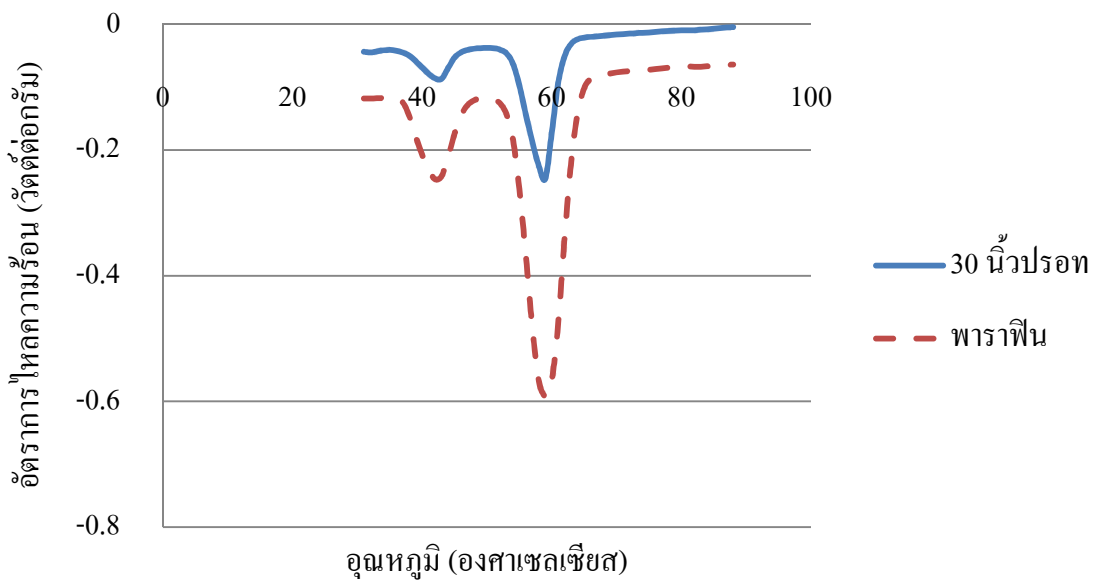
ภาพที่ 31 กราฟ DSC ที่ความดันสุญญากาศ 0 นิวปอนต์



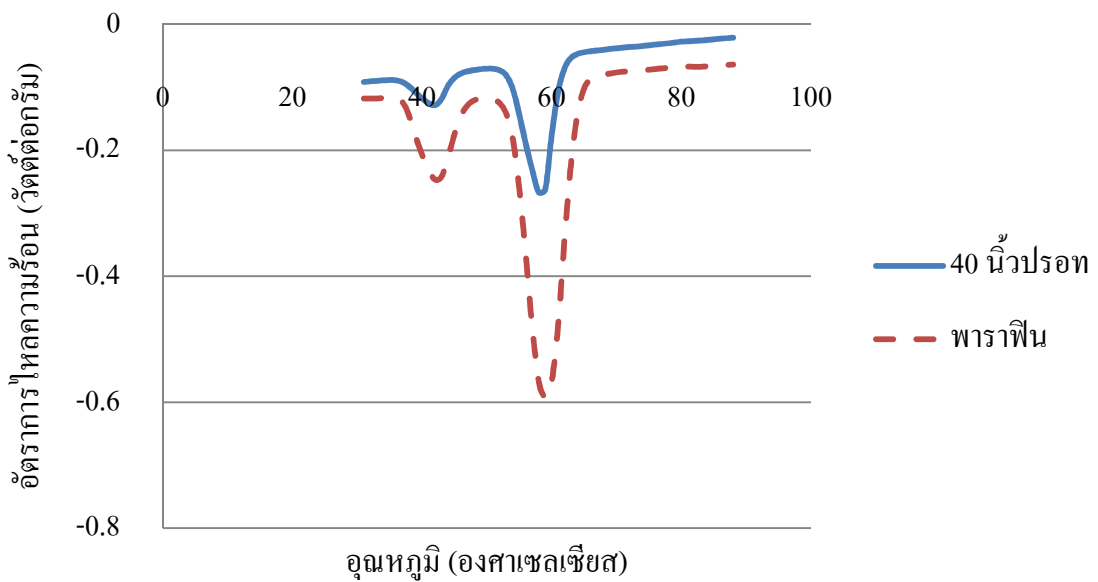
ภาพที่ 32 กราฟ DSC ที่ความดันสุญญากาศ 10 นิวป์รอท



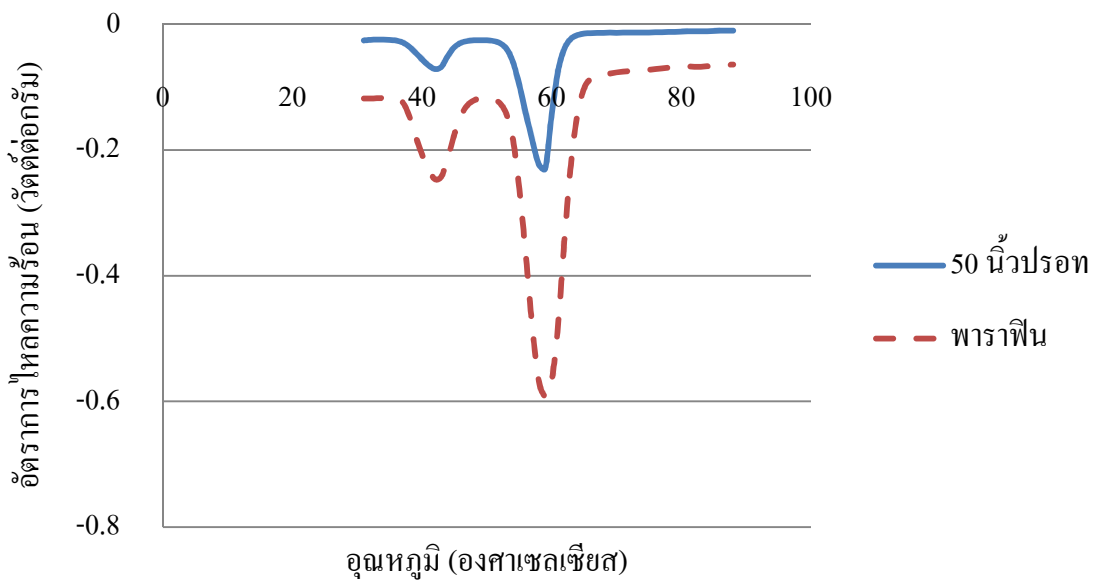
ภาพที่ 33 กราฟ DSC ที่ความดันสุญญากาศ 20 นิวป์รอท



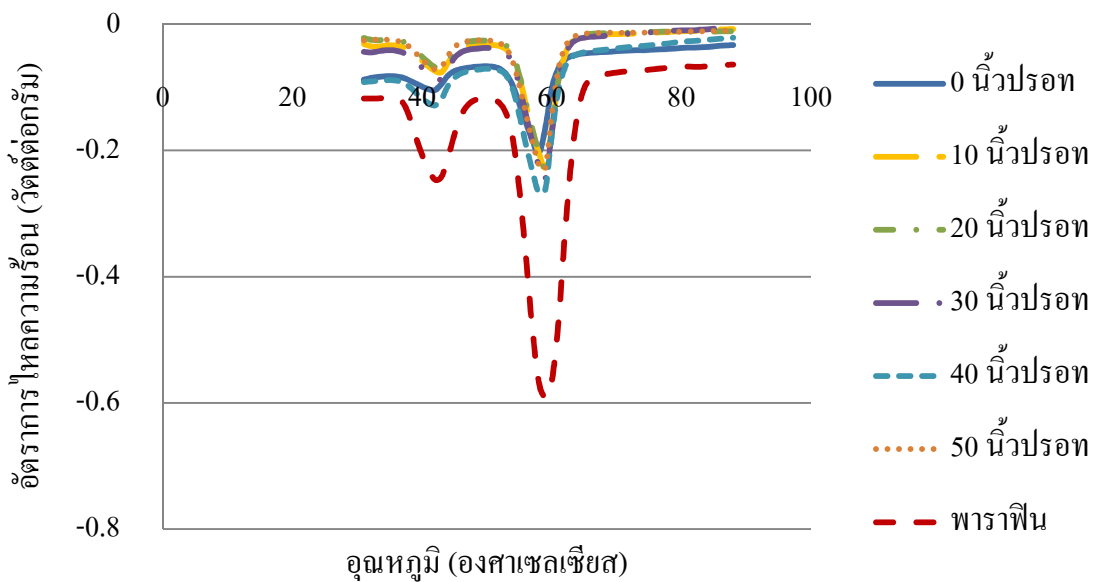
ภาพที่ 34 กราฟ DSC ที่ความดันสุญญากาศ 30 นิวป์รอท



ภาพที่ 35 กราฟ DSC ที่ความดันสุญญากาศ 40 นิวป์รอท



ภาพที่ 36 กราฟ DSC ที่ความดันสุญญากาศ 50 นิวป์โรท



ภาพที่ 37 กราฟ DSC ที่ความดันสุญญากาศต่างๆ

จากตารางที่ 11 จะเห็นว่าจุดหลอมเหลวของ Paraffin / Fly Ash Composite PCMs จะมีค่าใกล้เคียงกันคืออยู่ที่ประมาณ 58-59 องศาเซลเซียส ซึ่งใกล้เคียงกับจุดหลอมเหลวของพาราฟินมากนั้นหมายความว่าพาราฟินที่ถูกดูดซับเข้ารูพรุนของถ้วยอยไม่ได้มีปฏิกิริยาเคมีเกิดขึ้นต่อ กันนอกจากนี้ยังสามารถดูได้จากภาพที่ 31-37 ซึ่งจะเห็นว่ากราฟ DSC ของแต่ละความดันสุญญากาศมีลักษณะคล้ายคลึงกับกราฟ DSC ของพาราฟินมาก ดังนั้นจากจุดหลอมเหลวและจากลักษณะของกราฟ DSC ที่ได้จึงบ่งบอกแนวโน้มว่าการผลิต Paraffin / Fly Ash Composite PCMs ไม่มีปฏิกิริยาเคมีเกิดขึ้น

ผลของความดันสุญญากาศต่อค่าความร้อนแฝงหรือค่า Latent Heat ที่แสดงในตารางที่ 11 และภาพที่ 30 นั้นแสดงให้เห็นว่าที่ 0 นิวปอน หรือการดูดซับแบบธรรมดานี้มีค่าความร้อนแฝงน้อยมากคือ 39.89 จูลต่อกรัม ทั้งนี้เป็นเพราะอากาศที่อยู่ภายในรูพรุนของถ้วยอยมีปริมาณมากทำให้การดูดซับพาราฟินเกิดขึ้นได้น้อย แต่หลังจากที่ใช้การดูดซับด้วยวิธี Vacuum Impregnation จะเห็นว่าค่าความร้อนแฝงเพิ่มขึ้นอย่างมากคือ 56.70 จูลต่อกรัม และเมื่อเพิ่มความดันสุญญากาศมากขึ้นค่าความร้อนแฝงก็จะเพิ่มมากขึ้นตามความดันสุญญากาศ ทั้งนี้เนื่องจากความดันสุญญากาศที่มากขึ้นจะทำให้สามารถกำจัดอากาศในรูพรุนของถ้วยอยได้มากขึ้น โดยความร้อนแฝงของ Paraffin / Fly Ash Composite PCMs คิดเป็นเปอร์เซ็นต์เทียบกับพาราฟินแสดงดังตารางที่ 12 อย่างไรก็ตามที่ความดันสุญญากาศ 30 และ 40 นิวปอน จะมีค่าความร้อนแฝงแตกต่างกันน้อยมากหรือเกือบจะเท่ากันคือ 60.56 และ 61.12 จูลต่อกรัม ตามลำดับ ดังนั้นความดันสุญญากาศที่เหมาะสมกับการทำ Vacuum Impregnation คือ 30 นิวปอน

**ตารางที่ 12 เปอร์เซ็นต์ความร้อนแฝงของ Paraffin / Fly Ash Composite PCMs ที่ความดันสุญญากาศต่างๆ เทียบกับพาราฟิน**

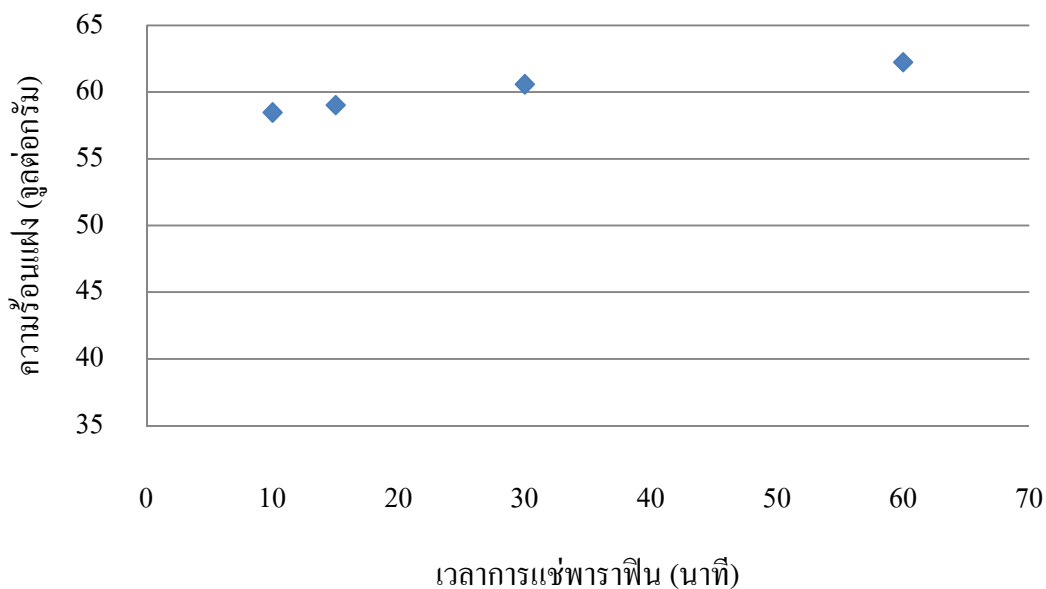
ความดันสุญญากาศ (นิวปอน)	ความร้อนแฝง (จูลต่อกรัม)	$\frac{\text{ความร้อนแฝงคอมโพสิต}}{\text{ความร้อนแฝงพาราฟิน}} \times 100$
0	39.89	21.67 %
10	56.70	30.80 %
20	58.23	31.63 %
30	60.56	32.90 %
40	61.12	33.20 %
50	61.32	33.31 %

### 3.2 ผลกระทบของเวลาในการแช่พาราฟิน

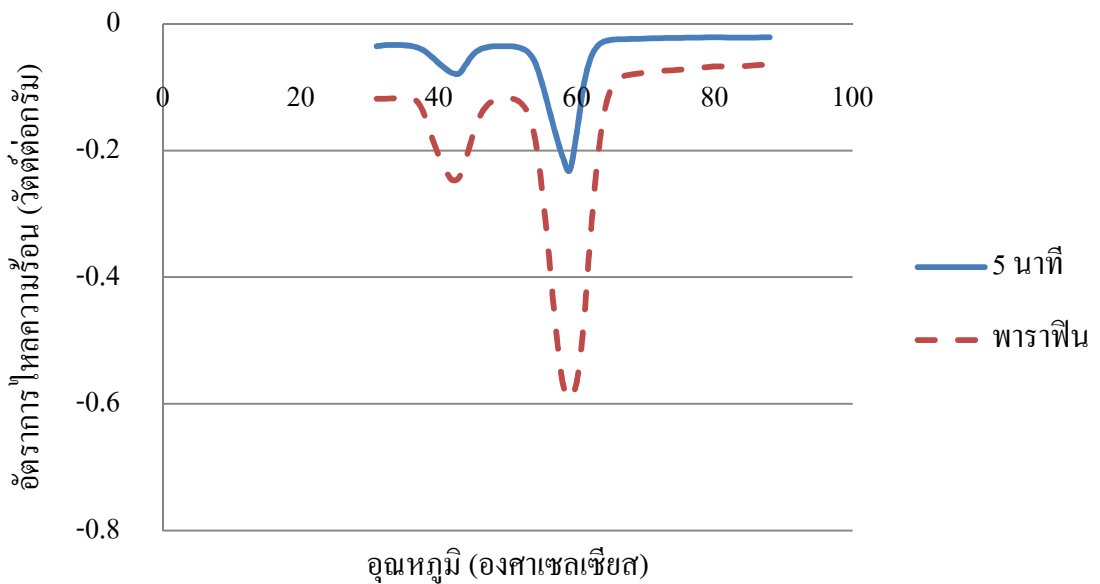
เวลาในการแช่ถ้าอยู่ในพาราฟินมีส่วนสำคัญในการดูดซับพาราฟิน ในการทดลองได้เลือกเวลาในการแช่ถ้าอยู่ที่ 5, 15, 30 และ 60 นาที และทำการศึกษาจุดหลอมเหลวและปริมาณของความร้อนแห้ง โดยสภาวะต่างๆ ที่ใช้ในการทดลอง ค่าคุณสมบัติทางความร้อนของแต่ละตัวอย่างและกราฟ DSC ของแต่ละตัวอย่าง แสดงดังตารางที่ 13 และภาพที่ 39-43 ตามลำดับ

**ตารางที่ 13** เวลาในการแช่ถ้าอยู่ในพาราฟินและสภาวะต่างๆ ที่ใช้ในการทดลองและคุณสมบัติทางความร้อนของสารตัวอย่าง

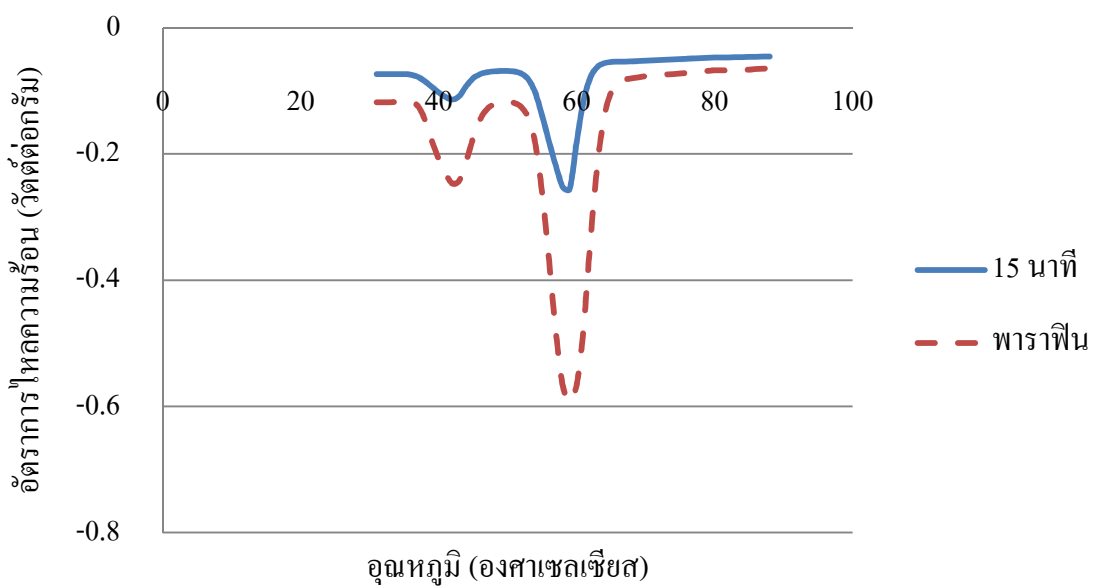
เวลาการแช่ถ้าอยู่ (นาที)	เวลา (นาที)	ความดันสุญญากาศ (นิวปอนด์)	อุณหภูมิพาราฟิน (°C)	จุดหลอมเหลวพาราฟิน (°C)	ความร้อนแห้ง (จูดต่อกรัม)
5	30	30	90	58.90	58.46
15	30	30	90	58.61	59.02
30	30	30	90	58.88	60.57
60	30	30	90	58.77	62.24



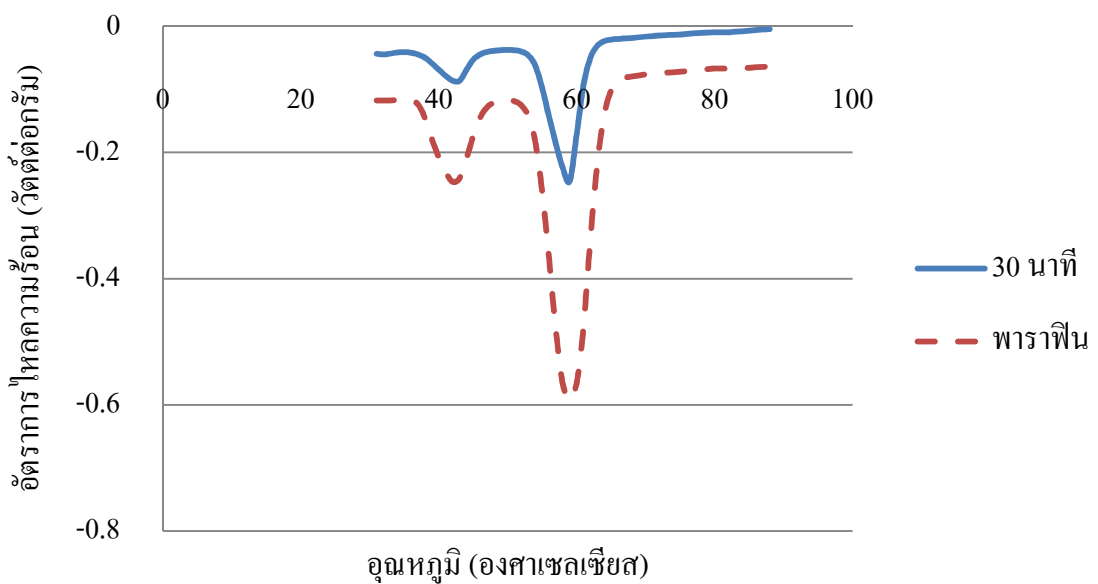
**ภาพที่ 38** ผลของการแช่พาราฟินต่อค่าความร้อนแห้ง



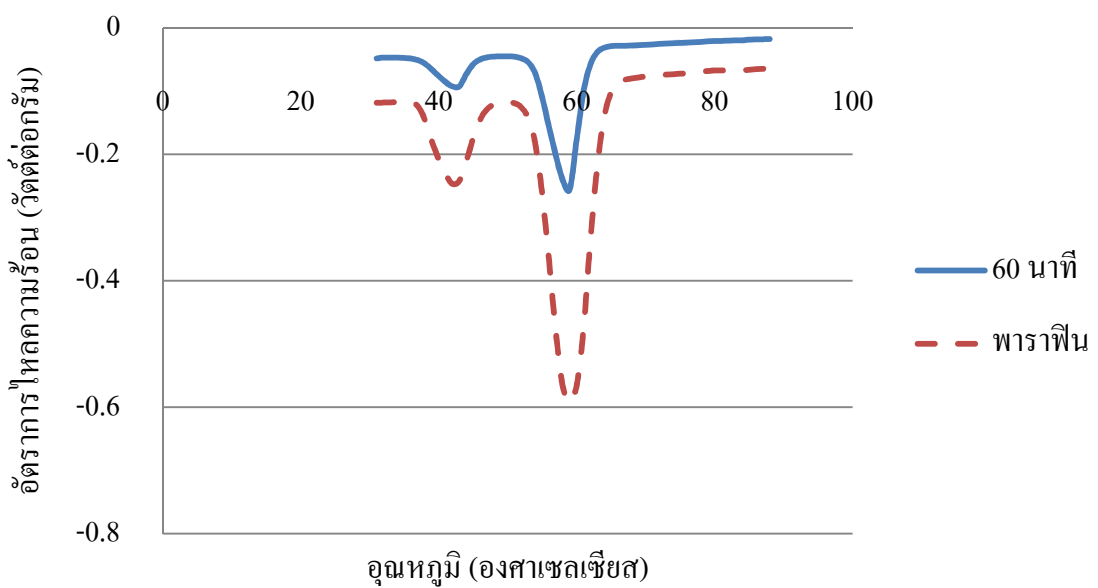
ภาพที่ 39 กราฟ DSC ที่เวลาการแข็งพาราฟิน 5 นาที



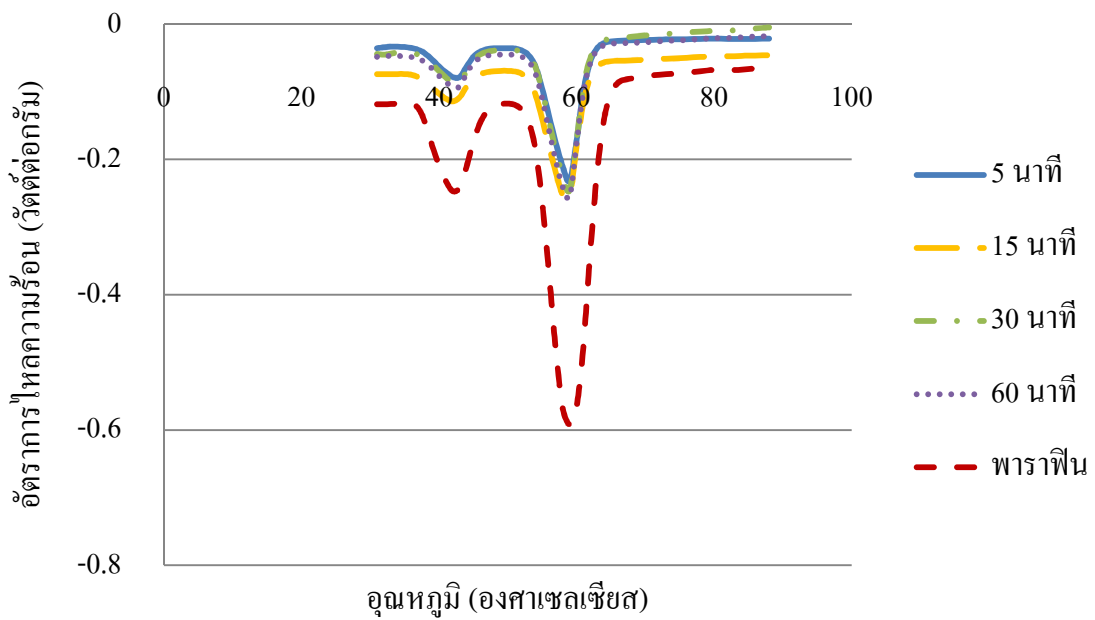
ภาพที่ 40 กราฟ DSC ที่เวลาการแข็งพาราฟิน 15 นาที



ภาพที่ 41 กราฟ DSC ที่เวลาการแข็ง化พาราฟิน 30 นาที



ภาพที่ 42 กราฟ DSC ที่เวลาการแข็ง化พาราฟิน 60 นาที



ภาพที่ 43 กราฟ DSC ที่เวลาการแข็ง化พาราฟินต่างๆ

จากตารางที่ 13 และภาพที่ 38 จะเห็นว่าเมื่อเวลาการแข็ง化พาราฟินเพิ่มมากขึ้นค่าความร้อนแฟรงก์โน้มเพิ่มขึ้นที่เป็นเช่นนี้ เพราะยิ่งเวลาการแข็ง化พาราฟินนานมากขึ้นเท่าไรเดี๋ยวอยู่ก็มีเวลาในการดูดซับพาราฟินมากขึ้น แม้ว่าการใช้เวลาในแข็ง化พาราฟินนานจะทำให้ได้ค่าความร้อนแฟรงก์ที่สูงขึ้นแต่ในระดับอุดตสาหกรรมการใช้เวลานานอาจทำให้เกิดค่าใช้จ่ายที่เพิ่มขึ้นหรือสูญเสียผลกำไรที่ควรจะได้มากขึ้น อย่างไรก็ตามค่าความร้อนแฟรงก์ที่เหมาะสมกับการนำมาใช้งานไม่ควรต่ำกว่า 60 จูลต่อกรัม ดังนั้นเวลาในการแข็ง化พาราฟินที่เหมาะสมคือ 30 นาที

จุดหลอมเหลวของ Paraffin / Fly Ash Composite PCMs มีค่าอยู่ในช่วง 58-59 องศาเซลเซียส ซึ่งมีค่าใกล้เคียงกับของพาราฟินและกราฟ DSC ของแต่ละเวลาการแข็ง化พาราฟินก็มีลักษณะคล้ายกับกราฟ DSC ของพาราฟิน ดังนั้นการผลิต Paraffin / Fly Ash Composite PCMs จึงไม่มีปฏิกิริยาเคมีเกิดขึ้น

**ตารางที่ 14 เมอร์เซ็นต์ความร้อนแฝงของ Paraffin / Fly Ash Composite PCMs ที่เวลาการแข็ง化พาราฟินต่างๆ เทียบกับพาราฟิน**

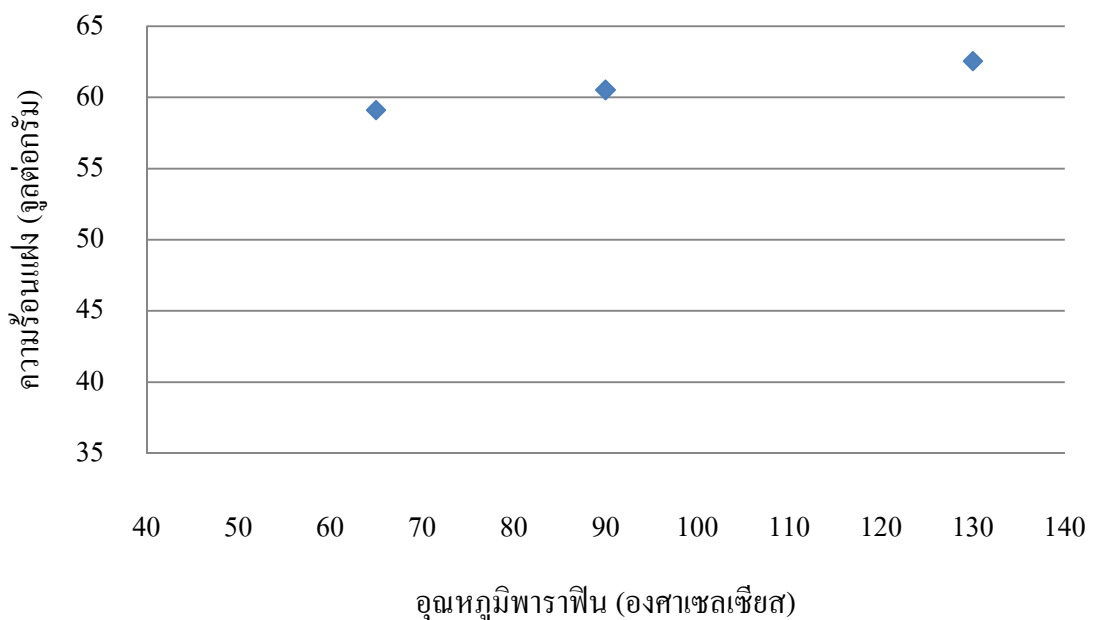
เวลาในการแข็ง化พาราฟิน (นาที)	ความร้อนแฝง (จูลต่อกรัม)	ความร้อนแฝงคอมโพสิต
		$\frac{\text{ความร้อนแฝงคอมโพสิต}}{\text{ความร้อนแฝงพาราฟิน}} \times 100$
5	58.46	31.75 %
15	59.02	32.06 %
30	60.57	32.90 %
60	62.24	33.81 %

### 3.3 ผลกระทบของอุณหภูมิพาราฟิน

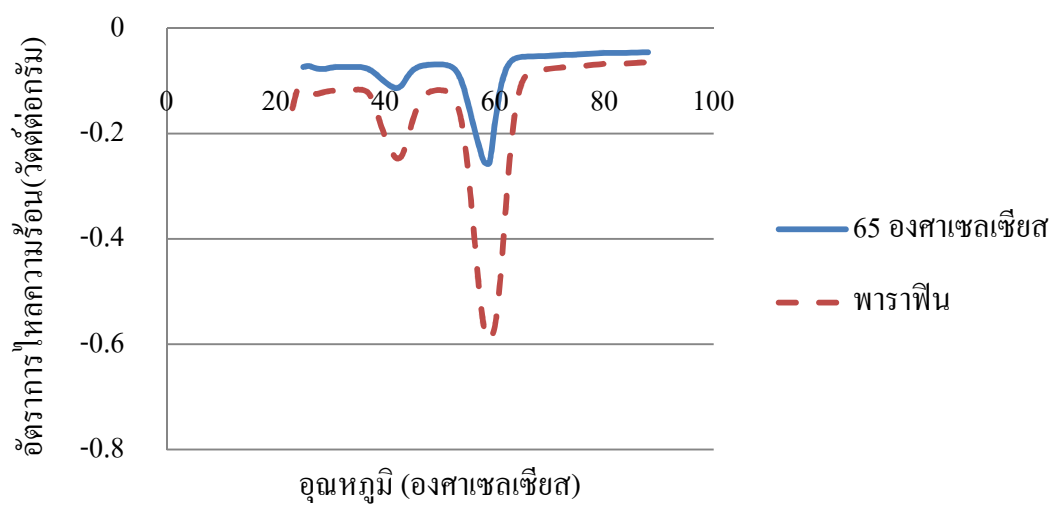
อุณหภูมิของพาราฟินหลอมเหลวมีส่วนสำคัญในการดูดซับพาราฟิน อุณหภูมิที่สูงการดูดซับพาราฟินของถ้ําลอยควรจะดีขึ้น เพราะความหนืดของพาราฟินจะมีค่าลดลง ในการทดลองได้เลือกอุณหภูมิของพาราฟินที่ 65, 90 และ 130 องศาเซลเซียส และจึงทำการศึกษาจุดหลอมเหลวและปริมาณของความร้อนแฝง โดยสภาวะต่างๆ ที่ใช้ในการทดลอง ค่าคุณสมบัติทางความร้อนของแต่ละตัวอย่างและกราฟ DSC ของแต่ละตัวอย่าง แสดงดังตารางที่ 15 และภาพที่ 45-48 ตามลำดับ

**ตารางที่ 15 อุณหภูมิของพาราฟินและสภาวะต่างๆ ที่ใช้ในการทดลองและคุณสมบัติทางความร้อนของสารตัวอย่าง**

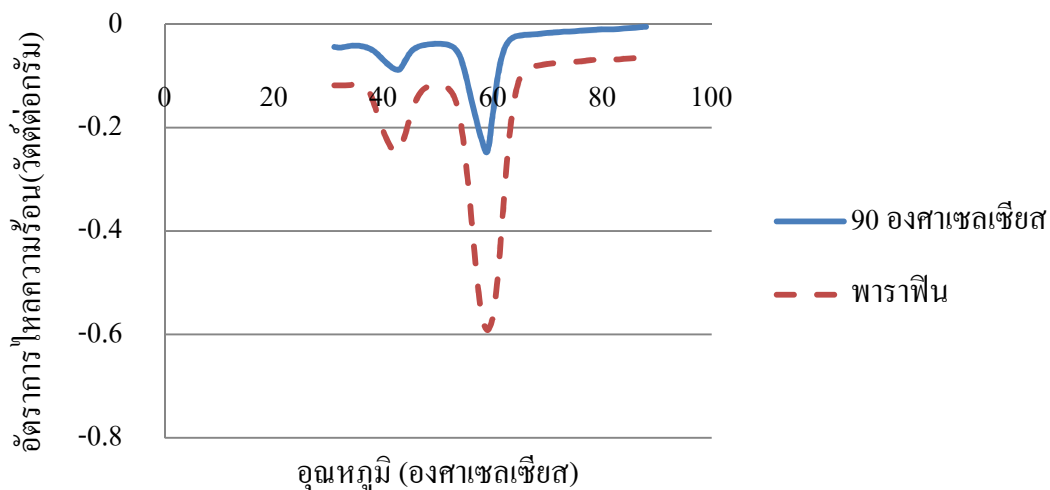
อุณหภูมิพาราฟิน (°C)	เวลาสุญญากาศ (นาที)	ความดันสุญญากาศ (นิวปอนท)	เวลาการแข็ง化 ถ้ําลอย (นาที)	จุดหลอมเหลวพาราฟิน (°C)	ความร้อนแฝง (จูลต่อกรัม)
65	30	30	30	58.61	59.11
90	30	30	30	58.88	60.51
130	30	30	30	58.54	62.54



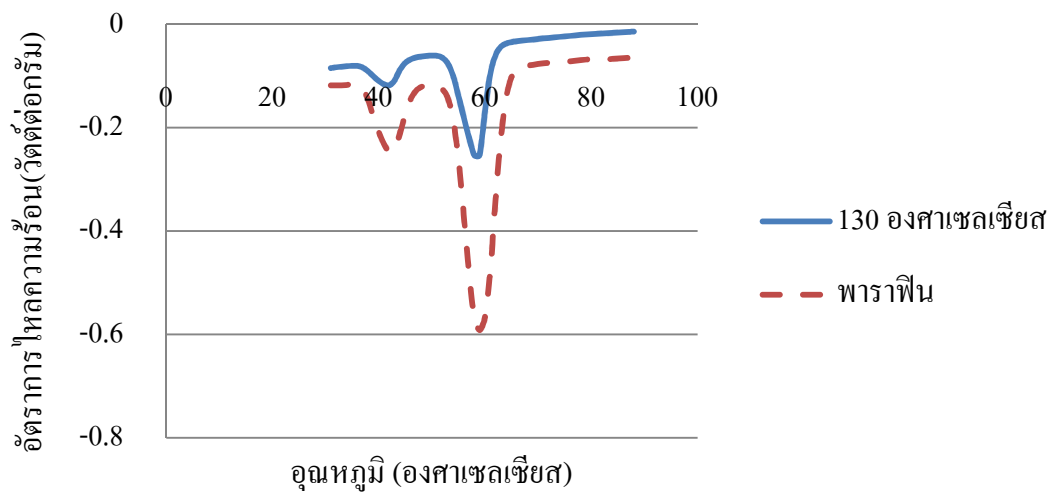
ภาพที่ 44 ผลของอุณหภูมิพาราฟินต่อค่าความร้อนแห้ง



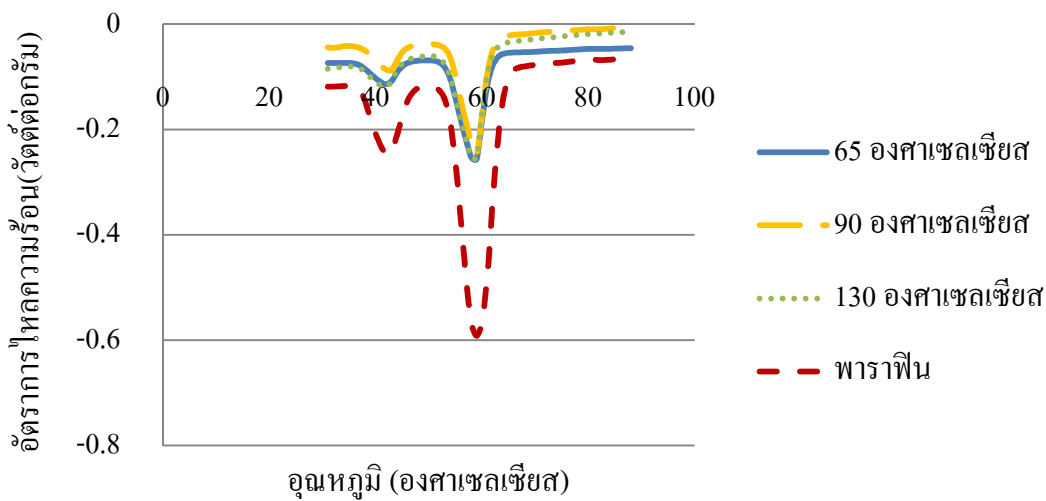
ภาพที่ 45 กราฟ DSC ที่อุณหภูมิพาราฟิน 65 องศาเซลเซียส



ภาพที่ 46 กราฟ DSC ที่อุณหภูมิพาราฟิน 90 องศาเซลเซียส



ภาพที่ 47 กราฟ DSC ที่อุณหภูมิพาราฟิน 130 องศาเซลเซียส



ภาพที่ 48 กราฟ DSC ที่อุณหภูมิพาราฟินต่างๆ

จากตารางที่ 15 และภาพที่ 44 จะเห็นว่าอุณหภูมิของพาราฟินที่เพิ่มขึ้นทำให้การดูดซับพาราฟินของถ่านอยเพิ่มมากขึ้นซึ่งเป็นไปด้วยสมมุติฐาน เพราะอุณหภูมิของพาราฟินที่เพิ่มขึ้นทำให้ความหนืดของพาราฟินลดลง อย่างไรก็ตามการเพิ่มอุณหภูมิของพาราฟินให้สูงขึ้นมากๆ เพื่อที่ถ้าลดลงจะได้ดูดซับพาราฟินได้มากๆ นั้นอาจจะไม่เป็นผลดีต่อการผลิตในระดับอุตสาหกรรม เพราะการเพิ่มอุณหภูมิหมายถึงการเพิ่มค่าใช้จ่ายในการให้ความร้อนแก่พาราฟิน ในการทดลองอุณหภูมิที่ 90 องศาเซลเซียสก็อปเป็นอุณหภูมิที่เหมาะสมต่อการผลิต Paraffin / Fly Ash Composite PCMs เพราะนอกจากจะใช้อุณหภูมิที่ไม่สูงมากนักแล้ว ค่าความร้อนแฝงก็มีสูงถึง 60.51 จูลต่อกรัมซึ่งเพียงพอที่จะดำเนินงานต่อไป

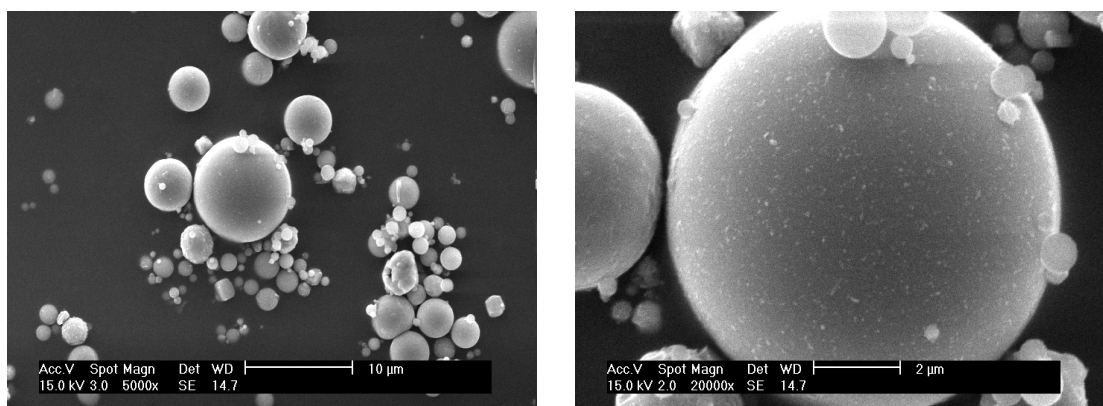
จุดหลอมเหลวของ Paraffin / Fly Ash Composite PCMs มีค่าอยู่ในช่วง 58-59 องศาเซลเซียส ซึ่งมีค่าใกล้เคียงกับของพาราฟินและกราฟ DSC ของแต่ละอุณหภูมิพาราฟินก็มีลักษณะคล้ายกับกราฟ DSC ของพาราฟิน ดังนั้นการผลิต Paraffin / Fly Ash Composite PCMs จึงไม่มีปฏิกิริยาเคมีเกิดขึ้น

ตารางที่ 16 เปอร์เซ็นต์ความร้อนแ放ของ Paraffin / Fly Ash Composite PCMs ที่อุณหภูมิพาราฟินต่างๆ เทียบกับพาราฟิน

อุณหภูมิพาราฟิน (องศาเซลเซียส)	ความร้อนแ放 (จูลต่อกรัม)	$\frac{\text{ความร้อนแ放คอมโพสิต}}{\text{ความร้อนแ放พาราฟิน}} \times 100$
65	59.11	32.11 %
90	60.51	32.86 %
130	62.54	33.97 %

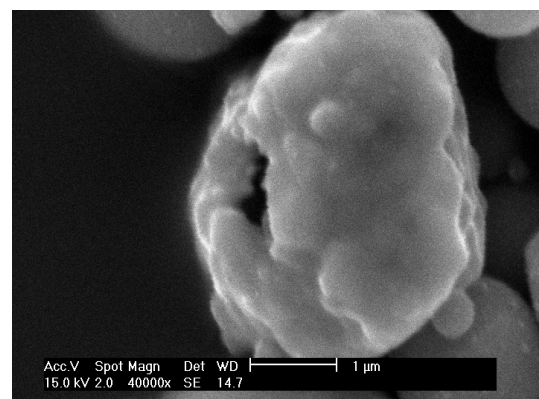
#### 4. การศึกษาหาคุณสมบัติทางกายภาพของวัสดุ

การทดสอบนี้ทำการถ่ายภาพโดยเครื่อง Scanning Electron Microscope (SEM) ยี่ห้อ PHILIPS รุ่น XL30 เพื่อดูลักษณะทางกายภาพของถ้าโลยและ Paraffin / Fly Ash Composite PCMs ในระดับไมโครสเกลและเปรียบเทียบลักษณะทางกายภาพของแต่ละวัสดุ โดยภาพ SEM ของถ้าโลยจากโรงงานไฟฟ้าแม่เมะ BLCP และ Paraffin / Fly Ash Composite PCMs แสดงดังภาพที่ 49-51 ตามลำดับ



ก. ภาพกำลังขยาย 5000 เท่า

ข. ภาพกำลังขยาย 20000 เท่า



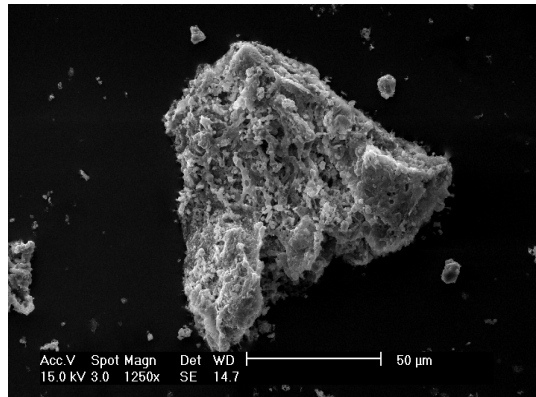
ค. รูปrun เถ้าโลยกาง โครงงานไฟฟ้าแม่เมะ

#### ภาพที่ 49 ภาพถ่าย SEM เถ้าโลยกาง โครงงานไฟฟ้าแม่เมะ

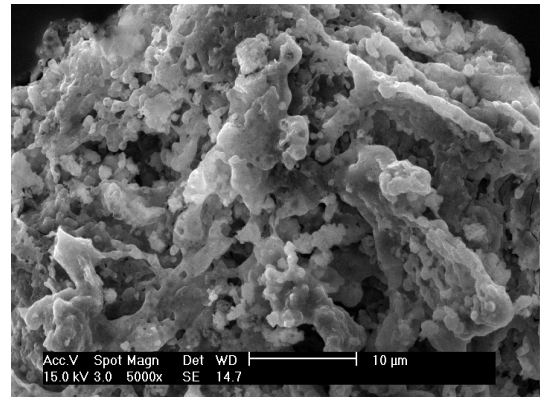
เนื่องจากการผลิตไฟฟ้าของโรงงานไฟฟ้าแม่เมะนั้นใช้ความร้อนในการเผาถ่านหินที่ อุณหภูมิ 1100-1400 องศาเซลเซียสซึ่งถือว่าเป็นอุณหภูมิที่ค่อนข้างสูง ทำให้ถ้าถูกเผาแล้วจะเกิดการหลอมละลายและปิดรูพรุนของตัวถ้าโลยกาง จากภาพที่ 49 จะเห็นว่าถ้าโลยกาง โครงงานไฟฟ้าแม่เมะส่วนใหญ่มีลักษณะกลมและมีรูพรุนน้อยมาก ซึ่งไม่เหมาะสมที่จะนำมาทำเป็นสารดูดซับในการผลิต Paraffin / Fly Ash Composite PCMs

อย่างไรก็ตามแม้ว่ารูพรุนของถ้าโลยกาง โครงงานไฟฟ้าแม่เมะจะน้อยแต่ในแห้งของวัสดุ ปอชโซลันถ้าโลยกาง โครงงานไฟฟ้าแม่เมะ ได้รับความนิยมอย่างมากในการนำมาใช้แทนที่ ปูนซีเมนต์เมื่อเทียบกับถ้าโลยกางที่ได้จากแหล่งอื่น เพราะรูปร่างที่กลมทำให้สามารถลดความฝืด

ระหว่างผงปูนซีเมนต์จึงทำให้ความต้องการน้ำในการผสมลดลงในขณะที่ความสามารถในการเทียบคงเท่าเดิม



ก. ภาพกำลังขยาย 1250 เท่า

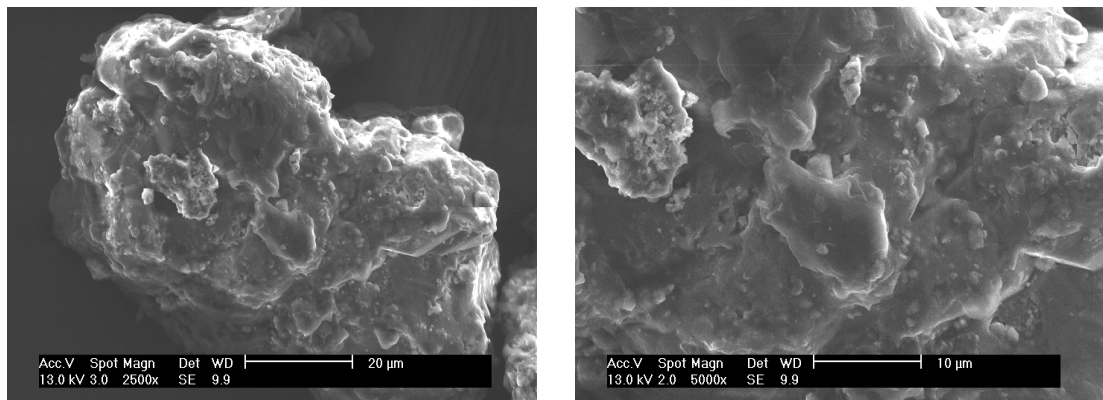


ข. ภาพกำลังขยาย 5000 เท่า

**ภาพที่ 50 ภาพถ่าย SEM เถ้า洛阳จากโรงงานไฟฟ้า BLCP**

จากภาพที่ 50 จะเห็นว่าเถ้า洛阳จากโรงงานไฟฟ้า BLCP มีรูปร่างที่ไม่แน่นอนและมีรูพรุนเล็กมาก ทั้งนี้เป็นเพราะโรงงานไฟฟ้า BLCP ใช้ความร้อนในการเผาถ่านหินที่อุณหภูมิไม่เกิน 900 องศาเซลเซียส ซึ่งถือว่าเป็นอุณหภูมิที่ค่อนข้างต่ำทำให้เถ้า洛阳ไม่เกิดการหลอมละลายและเกิดรูพรุนที่เถ้า洛阳มากมาก

เถ้า洛阳จากโรงงานไฟฟ้า BLCP เหมาะสมที่จะนำมาผลิต Paraffin / Fly Ash Composite PCMs เป็นอย่างมาก เพราะมีรูพรุนมากเหมาะสมที่จะนำมาทำเป็นสารดูดซับ

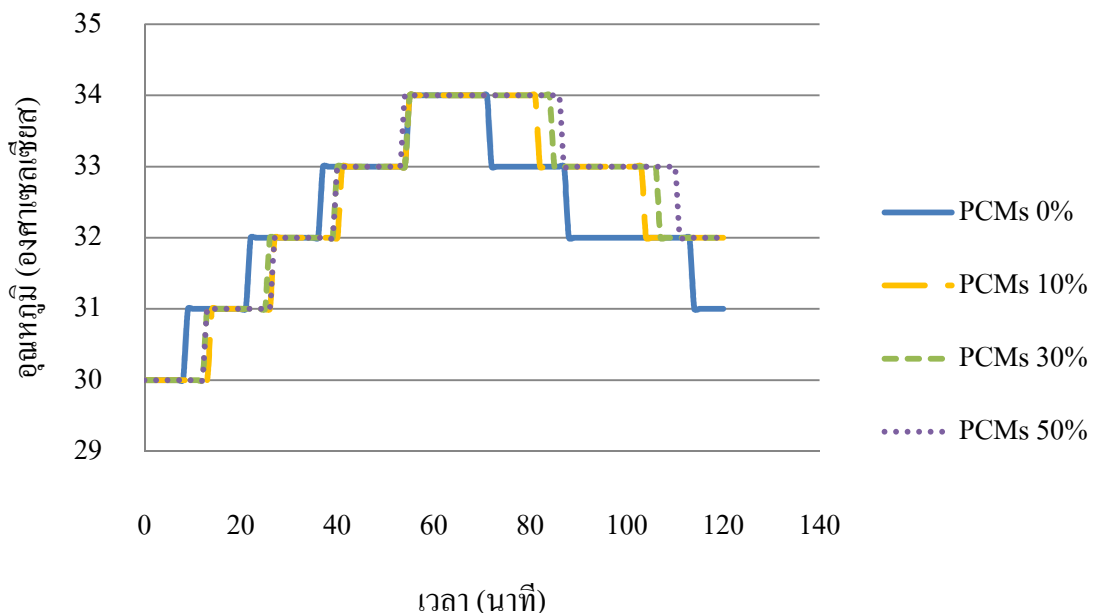


**ภาพที่ 51 ภาพถ่าย SEM Paraffin / Fly Ash Composite PCMs**

ภาพที่ 51 แสดงภาพ SEM ของ Paraffin / Fly Ash Composite PCMs ที่ผลิตขึ้นได้ที่สภาวะความดันสุญญากาศ 30 นิวปอร์ต เวลาสุญญากาศ 30 นาที อุณหภูมิพาราฟิน 90 องศาเซลเซียสและเวลาการแข็งพาราฟิน 30 นาที โดยใช้ถ่านหินจากโรงงานไฟฟ้า BLCP เป็นสารคุดซับ เมื่อเปรียบเทียบภาพที่ 50 กับภาพที่ 51 จะเห็นว่าพาราฟินได้ถูกคุดซับเข้ารูพรุนของถ่านหินเกือบสมบูรณ์

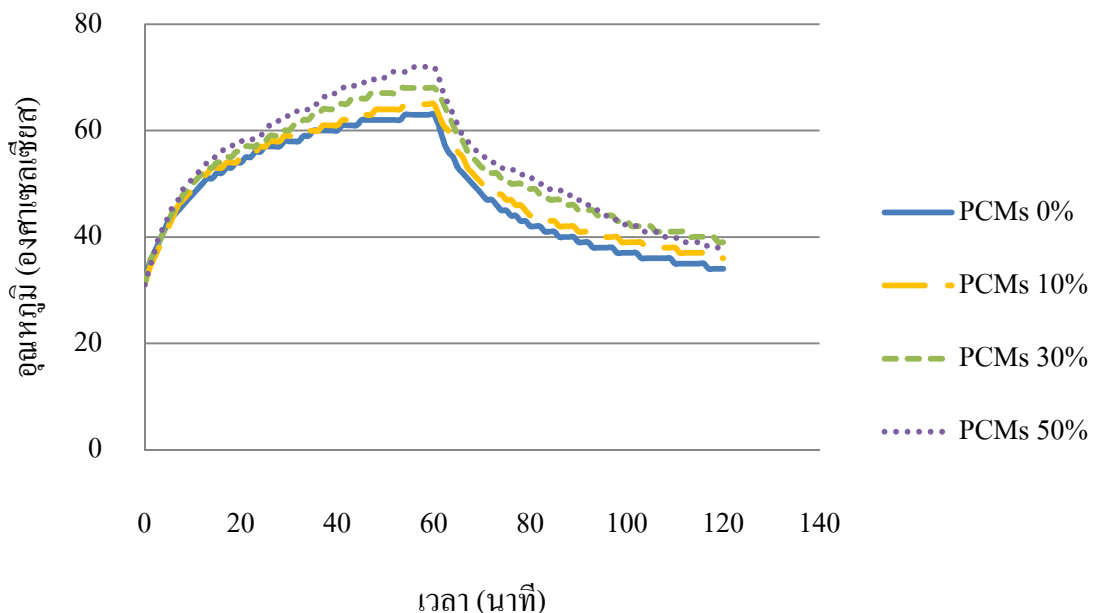
### 5. ทดสอบประสิทธิภาพด้านการกันความร้อน

การทดสอบประสิทธิภาพด้านการกันความร้อนทำโดยการสร้างห้องจำลองขนาด  $150 \times 150 \times 150$  มิลลิเมตร หนาด้านละ 2 เซนติเมตร โดยปิดด้านบนของห้องจำลองด้วยมอร์ตาร์เพลทและมอร์tar PCMs เพลท ชั้นหนา 2 เซนติเมตรเช่นกัน จากนั้นจึงนำหลอดไฟมาไว้เหนือห้องจำลองและการเปิดไฟเพื่อให้ความร้อนแก่ห้องจำลอง แล้วจึงทำการตรวจอุณหภูมิกายในห้องจำลองและที่บวบผิวด้านบนของห้องจำลองเป็นเวลา 1 ชั่วโมง เมื่อครบกำหนดเวลาแล้วจึงทำการปิดไฟและการตรวจอุณหภูมิกายในห้องจำลองและที่บวบผิวด้านบนของห้องจำลองอีกเป็นเวลา 1 ชั่วโมงผลการทดลองได้แสดงดังภาพที่ 52 และภาพที่ 53 ตามลำดับ



ภาพที่ 52 grahp แสดงอุณหภูมิภายในห้องจำลองที่เวลาต่างๆ

ภาพที่ 52 แสดง grahp ประสีทวิภาพการกันความร้อนของมอร์ตาร์เพลทและมอร์tarPCM เพลทที่เปอร์เซ็นต์ PCMs ต่างๆ จาก grahp ช่วงเวลา 60 นาทีแรกเป็นช่วงเวลาที่ปิดไฟเพื่อให้ความร้อนแก่ห้องจำลอง จะเห็นว่าห้องจำลองที่ด้านบนเป็นมอร์tarเพลทอุณหภูมิห้องจะเพิ่มขึ้นเร็วกว่า อุณหภูมิห้องที่ด้านบนเป็นมอร์tar PCMs เพลท ที่เป็นเช่นนี้ เพราะในระหว่างที่มอร์tar PCMs เพลทได้รับความร้อนนั้นพาราฟินซึ่งทำหน้าที่เป็น PCMs จะดูดซับพลังงานความร้อนและนำพลังงานความร้อนนั้นไปทำการเปลี่ยนสถานะจากของแข็งไปเป็นของเหลวทำให้อุณหภูมิภายในห้องเพิ่มขึ้นซักว่าห้องจำลองที่ด้านบนเป็นมอร์tarเพลท ส่วนในช่วง 60 นาทีสุดท้ายจะเป็นช่วงเวลาที่ปิดไฟจะเห็นว่าห้องจำลองที่ด้านบนเป็นมอร์tarเพลทจะสามารถลดอุณหภูมิห้องได้เร็วกว่าห้องที่ด้านบนเป็นมอร์tar PCMs เพลทที่เป็นเช่นนี้ เพราะในระหว่างที่ปิดไฟนั้นพาราฟินจะหาย พลังงานความร้อนออกมากเพื่อเปลี่ยนสถานะกลับคืนไปเป็นของแข็ง ความร้อนบางส่วนที่หายออกจะเข้าไปยังห้องจำลอง ทำให้ห้องจำลองที่ด้านบนเป็นมอร์tar PCMs เพลทสามารถรักษาอุณหภูมิห้องได้นานกว่าห้องจำลองที่ด้านบนเป็นมอร์tarเพลท



ภาพที่ 53 กราฟแสดงอุณหภูมิผิวที่เวลาต่างๆ

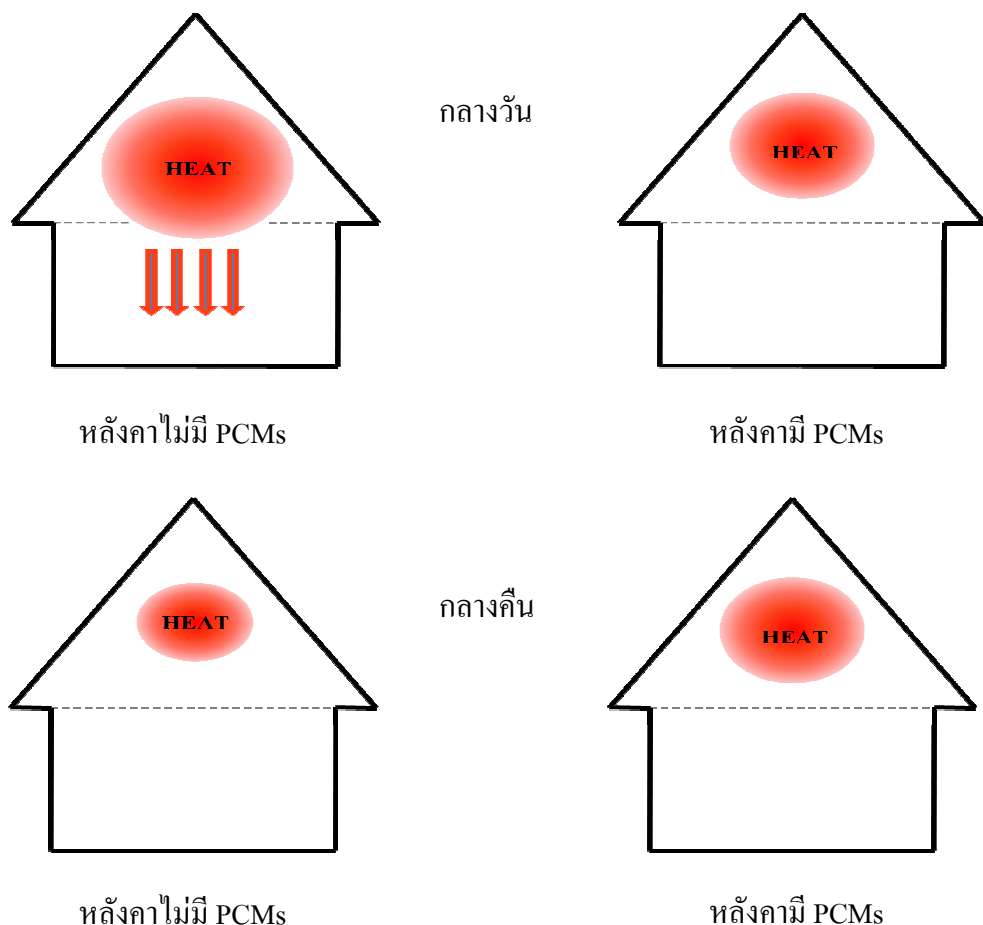
ภาพที่ 53 แสดงอุณหภูมิผิวของมอร์ตาร์เพลทและมอร์tar PCMs เพลทที่เปอร์เซ็นต์ PCMs ต่างๆ จากกราฟช่วงเวลา 60 นาทีแรกเป็นช่วงเวลาที่เปิดไฟเพื่อให้ความร้อนแก่ห้องจำลอง จะเห็นว่า ที่นาทีที่ 60 อุณหภูมิที่ผิวของมอร์tar PCMs เพลท 50% มีอุณหภูมิผิวสูงที่สุดคือที่ 72 องศา เชลซีก และอุณหภูมิผิวของมอร์tar เพลทมีอุณหภูมิผิวต่ำสุดคือ 63 องศาเชลซีก โดยอุณหภูมิผิวของมอร์tar PCMs เพลทจะลดลงสอดคล้องกับปริมาณเปอร์เซ็นต์ของ PCMs ที่สมอยู่ในเพลท

สำหรับประเภทที่มีภูมิอากาศร้อนนี้ จากการทดลองจะเห็นว่าการดูดพลังงานความร้อนของมอร์tar PCMs เพลทในช่วงที่เปิดไฟนั้นสามารถป้องกันพลังงานความร้อนเข้าสู่ห้องจำลองได้แต่เมื่อปิดไฟจะเกิดการขยายพลังงานความร้อนเข้าสู่ห้องจำลองซึ่งเป็นสิ่งที่ไม่ต้องการ จากภาพที่ 52 จะเห็นว่าปริมาณ PCMs ที่ 10, 30 และ 50 เปอร์เซนต์มีความสามารถในการป้องกันพลังงานความร้อนได้ใกล้เคียงกันมาก ทั้งนี้เป็นเพราะพลังงานความร้อนของหลอดไฟที่ให้แก่มอร์tar PCMs เพลทนี้ใช้ปริมาณ PCMs เพียง 10 เปอร์เซนต์ก็เพียงพอสำหรับการดูดซับพลังงานความร้อนจากหลอดไฟแล้ว ดังนั้นเมื่อปริมาณ PCMs เพิ่มมากขึ้นจึงไม่มีผลต่อประสิทธิภาพในการป้องกันความร้อน แต่จะสามารถดูดซับพลังงานความร้อนได้มากขึ้นตามปริมาณ PCMs ที่เพิ่มมากขึ้น ดังที่เห็นในการทดลองว่า เมื่อลิงช่วงเวลาปิดไฟปริมาณ PCMs 10 เปอร์เซนต์จะขยายพลังงานความร้อนออกมาน้อยที่สุดและที่ปริมาณ PCMs 50 เปอร์เซนต์จะขยายพลังงานออกมากที่สุด ดังนั้นการเลือกปริมาณ PCMs ที่เหมาะสมต่อการใช้งานนั้นจำเป็นจะต้องศึกษาถึงปริมาณความร้อนที่ได้รับใน

บริเวณที่จะนำ PCMs ไปใช้ เพื่อที่จะได้ทดลองหาปริมาณ PCMs ที่เพียงพอต่อการดูดซับพลังงานความร้อนและถ่ายพลังงานความร้อนออกมาน้อยที่สุด

ปัญหาการปลดปล่อยพลังงานความร้อนของ PCMs นั้น อาจแก้ไขได้โดยอาศัยวิธีการนำไปใช้หรือดำเนินการที่จะนำ PCMs ไปใช้ เช่น ใช้เป็นวัตถุควบในการผลิตหลังคา โดยปกติแล้วความร้อนที่เข้าสู่ที่พักอาศัยทางหลังคาจะก่อตัวเกิดเป็นมวลความร้อนใต้หลังคา ซึ่งขนาดของมวลความร้อนจะขึ้นอยู่กับปริมาณความร้อนที่สามารถผ่านหลังคาลงมาได้ ในเวลากลางวันถ้ามีมวลความร้อนมีขนาดใหญ่จะทำให้ความร้อนสามารถแผ่เข้ามายังที่พักอาศัยทำให้อุณหภูมิภายในสูงขึ้น แต่ถ้าหลังคาที่ใช้มีส่วนผสมของ PCMs ผสมอยู่ก็จะสามารถลดขนาดของมวลความร้อนลงได้ ทำให้ความร้อนไม่แผ่เข้าสู่ที่พักอาศัย และเมื่อถึงเวลากลางคืน PCMs จะมีการถ่ายพลังงานความร้อนออกมานะ ซึ่งพลังงานความร้อนส่วนหนึ่งจะถ่ายออกภายนอกที่พักอาศัยเนื่องจากการพาหองลม (Convection) และส่วนหนึ่งจะถ่ายเข้าสู่ใต้หลังคา (Conduction) ทำให้มีมวลความร้อนใต้หลังคามีขนาดเท่าเดิมหรืออาจจะมีขนาดเล็กกว่าเดิมดังภาพที่ 54

อย่างไรก็ตามในการทดลอง การให้ความร้อนแก่มอร์ตาร์ PCMs เพลงนี้จะมีการร่วงไอลของพาราฟินเกิดขึ้นเล็กน้อยดังภาพที่ 55 และภาพที่ 56 การร่วงไอลที่เกิดขึ้นจะเป็นลักษณะเหมือนรอยเปียกแต่เมื่อสัมผัสที่ผิวมอร์tar PCMs เพลงจะไม่มีการเปียกที่มีอัตราการร่อนรอยเปียกนี้สามารถแก้ไขได้โดยการทาสีที่มอร์tar PCMs เพลงเพื่อปิดรอยที่เกิดขึ้นดังภาพที่ 57



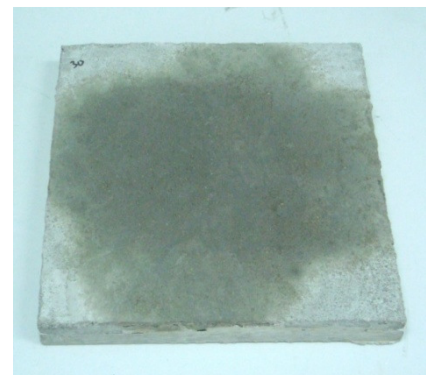
ภาพที่ 54 การแก้ปัญหาการปลดปล่อยพลังงานความร้อนของ PCMs



ภาพที่ 55 การร้วนซึมของมอร์ตาร์ PCMs เพลท



ก. มอร์ตาร์ PCMs เพลทที่ 10 เปอร์เซ็นต์



ข. มอร์ตาร์ PCMs เพลทที่ 30 เปอร์เซ็นต์



ค. มอร์ตาร์ PCMs เพลทที่ 50 เปอร์เซ็นต์

**ภาพที่ 56** การรับซื้อมอร์ตาร์ PCMs เพลทที่เปอร์เซ็นต์ PCMs ต่างๆ



**ภาพที่ 57** มอร์ตาร์ PCMs เพลททาสี

## 6. ทดสอบประสิทธิภาพด้านความแข็งแกร่ง

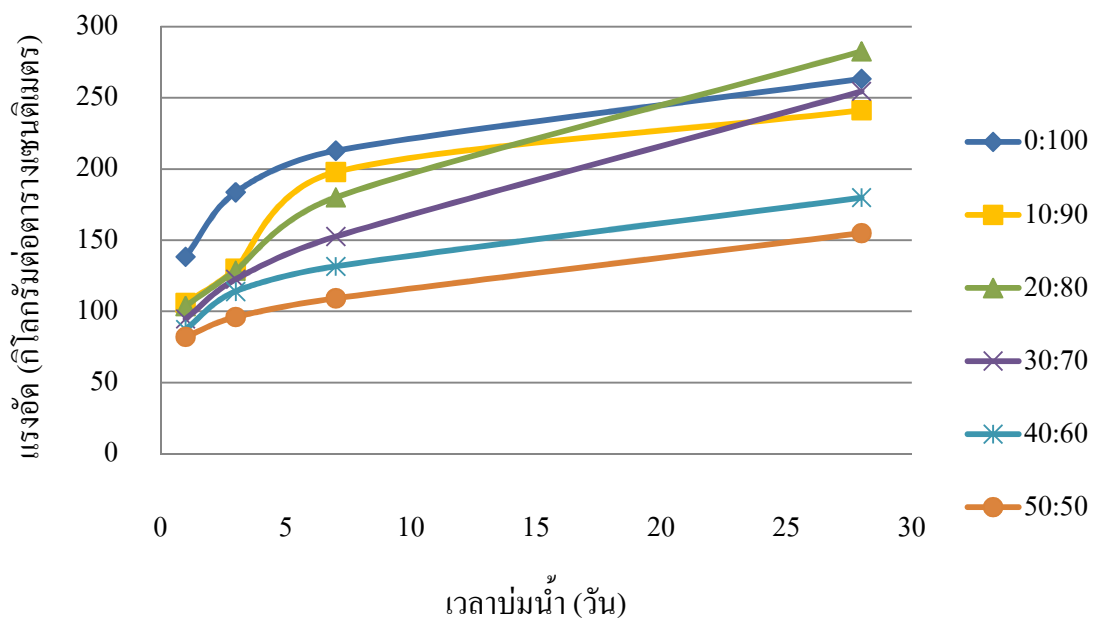
การทดสอบประสิทธิภาพด้านความแข็งแกร่งนี้ได้นำมาถอดจากโรงงานไฟฟ้าแม่เมะ โรงงานไฟฟ้า BLCP และ Paraffin / Fly Ash Composite PCMs มาใช้ทดสอบบนปุ่มซีเมนต์ปอร์ต แลนด์ในอัตราส่วนต่างๆ แล้วทำการหล่อเป็นสี่เหลี่ยมลูกบากระหว่าง 50 x 50 x 50 มิลลิเมตรดังภาพที่ 58 จากนั้นทิ้งให้แข็งตัวเป็นเวลา 24 ชั่วโมงจึงแกะออกจากแบบและนำไปบ่มนำเป็นเวลา 1, 3, 7, 28 วัน ถึงจะนำไปทดสอบแรงอัดด้วยเครื่องทดสอบแรงอัดเพื่อทดสอบประสิทธิภาพด้านความแข็งแกร่งต่อไป ผลการทดสอบได้ดังตารางที่ 17-19 และภาพที่ 59-66



ภาพที่ 58 สี่เหลี่ยมลูกบากระหว่าง 50 x 50 x 50 มิลลิเมตร

ตารางที่ 17 กำลังรับแรงอัดของปูนซีเมนต์ผสมเก้าออยแม่เมะที่อัตราส่วนต่างๆ

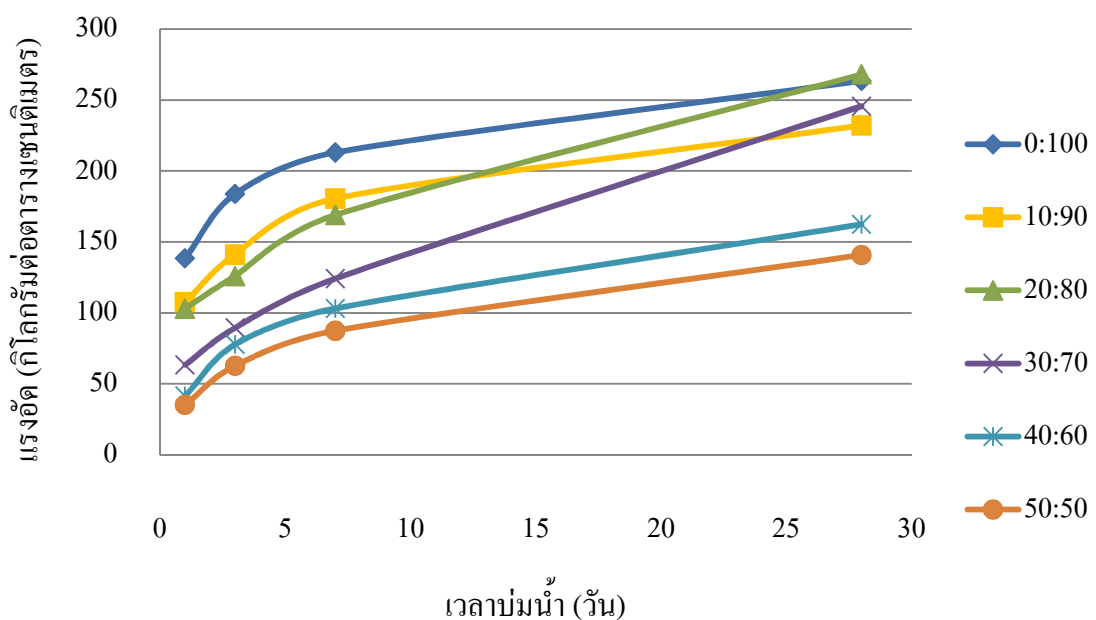
แม่เมะ : ปูน	กำลังรับแรงอัด (กิโลกรัมต่อตารางเซนติเมตร)			
	1 วัน	3 วัน	7 วัน	28 วัน
0 : 100	138.4	183.7	212.9	263.3
10 : 90	106.0	130.1	197.9	241.3
20 : 80	103.7	128.6	180.1	282.6
30 : 70	94.8	122.6	152.7	254.6
40 : 60	87.4	114.0	131.6	179.8
50 : 50	82.1	96.0	109.2	155.0



ภาพที่ 59 กำลังรับแรงอัดของปูนซีเมนต์ผสมเก้าออยแม่เมะที่อัตราส่วนต่างๆ

ตารางที่ 18 กำลังรับแรงอัดของปูนซีเมนต์ผสมถ้าลอย BLCP ที่อัตราส่วนต่างๆ

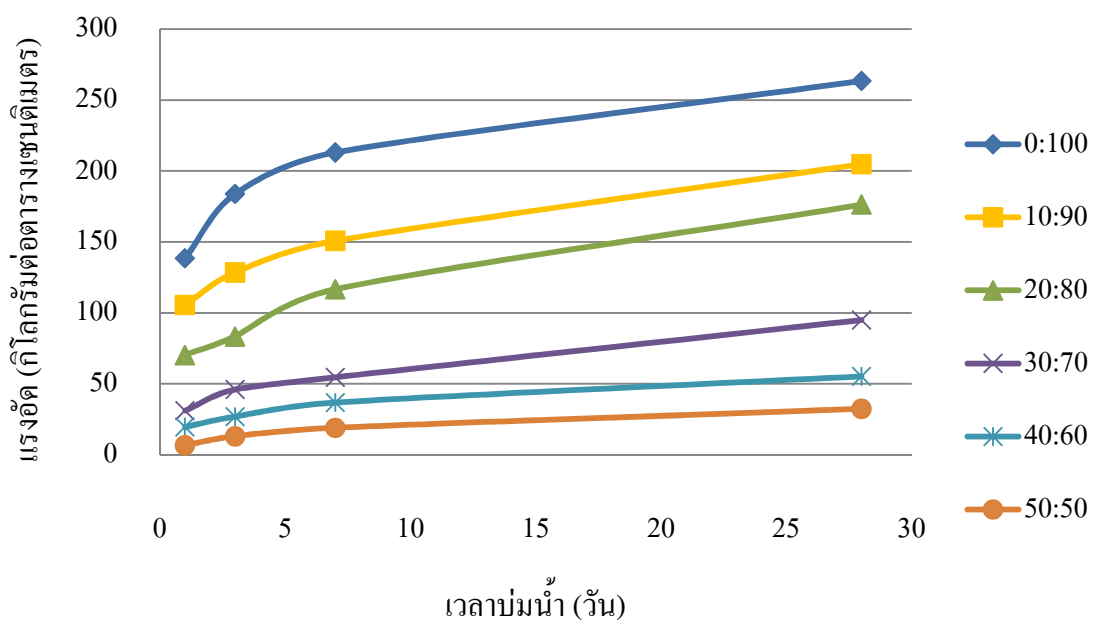
BLCP : ปูน	กำลังรับแรงอัด (กิโลกรัมต่อตารางเซนติเมตร)			
	1 วัน	3 วัน	7 วัน	28 วัน
0 : 100	138.4	183.7	212.9	263.3
10 : 90	107.5	141.0	180.5	232.0
20 : 80	102.9	125.9	168.9	268.0
30 : 70	63.3	89.4	124.1	245.6
40 : 60	41.4	77.7	103.0	162.3
50 : 50	35.1	62.6	87.3	140.6



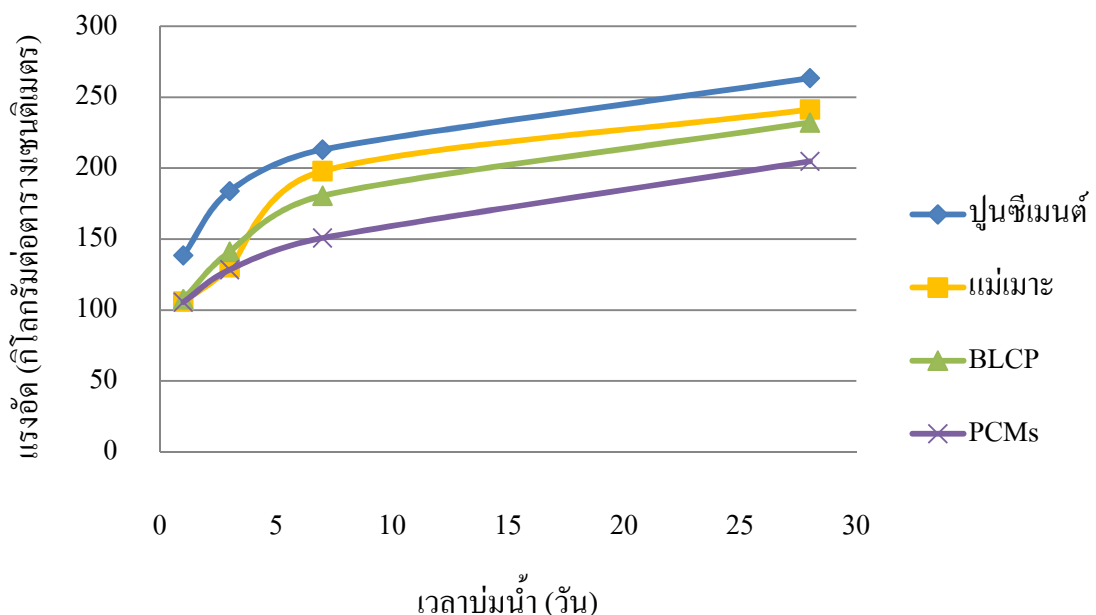
ภาพที่ 60 กำลังรับแรงอัดของปูนซีเมนต์ผสมถ้าลอย BLCP ที่อัตราส่วนต่างๆ

ตารางที่ 19 กำลังรับแรงอัดของปูนซีเมนต์ผสม PCMs ที่อัตราส่วนต่างๆ

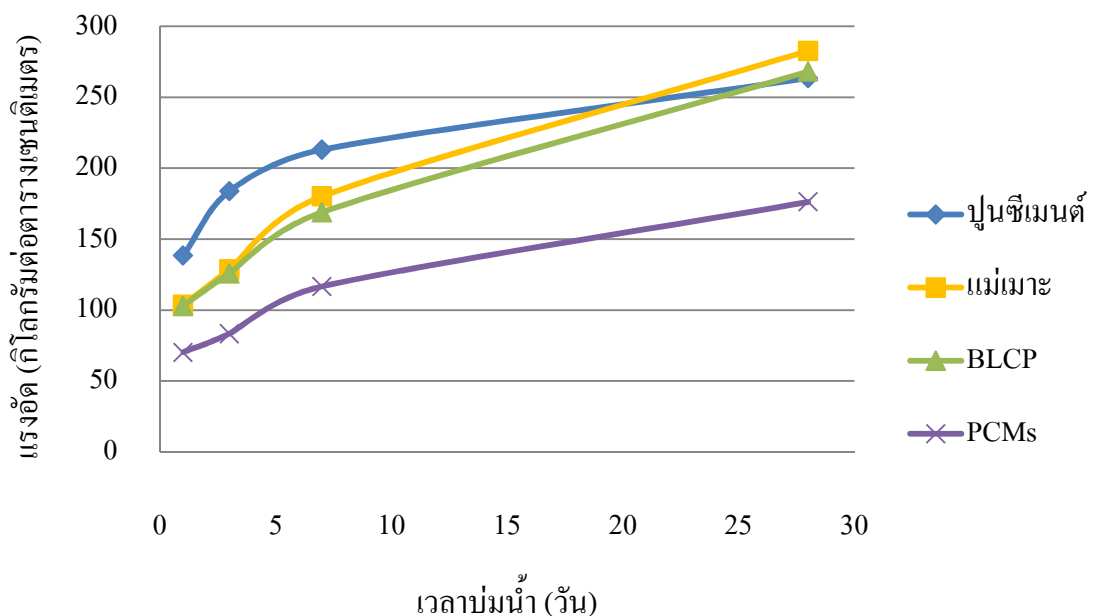
PCMs : ปูน	กำลังรับแรงอัด (กิโลกรัมต่อตารางเซนติเมตร)			
	1 วัน	3 วัน	7 วัน	28 วัน
0 : 100	138.4	183.7	212.9	263.3
10 : 90	105.5	128.4	150.7	204.7
20 : 80	70.2	83.3	116.6	176.2
30 : 70	31.0	45.9	54.5	94.8
40 : 60	19.5	26.8	36.7	55.2
50 : 50	6.6	12.9	18.9	32.3



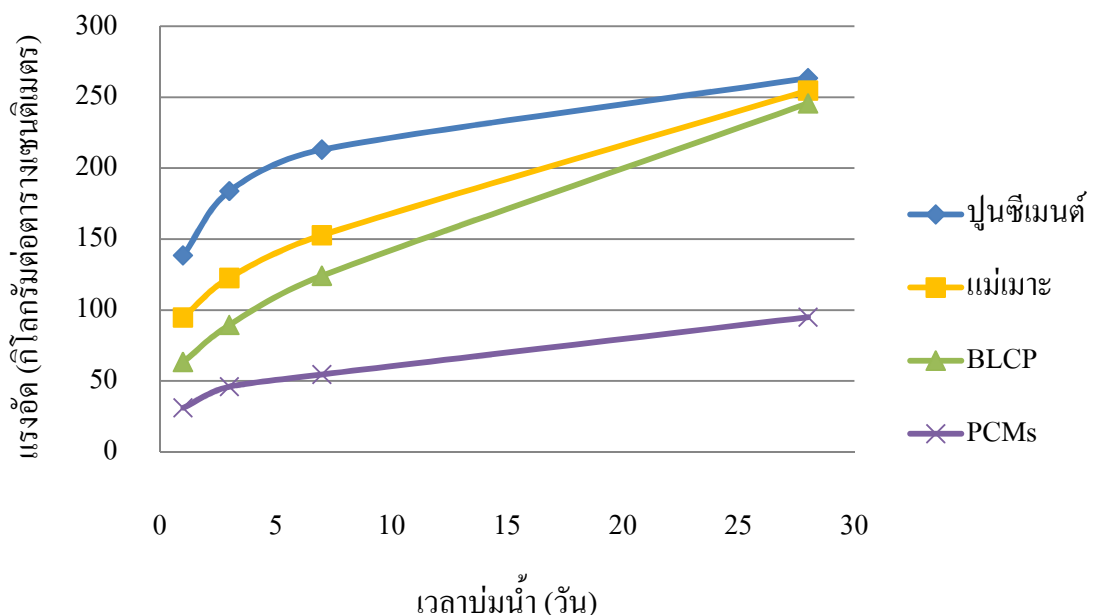
ภาพที่ 61 กำลังรับแรงอัดของปูนซีเมนต์ผสม PCMs ที่อัตราส่วนต่างๆ



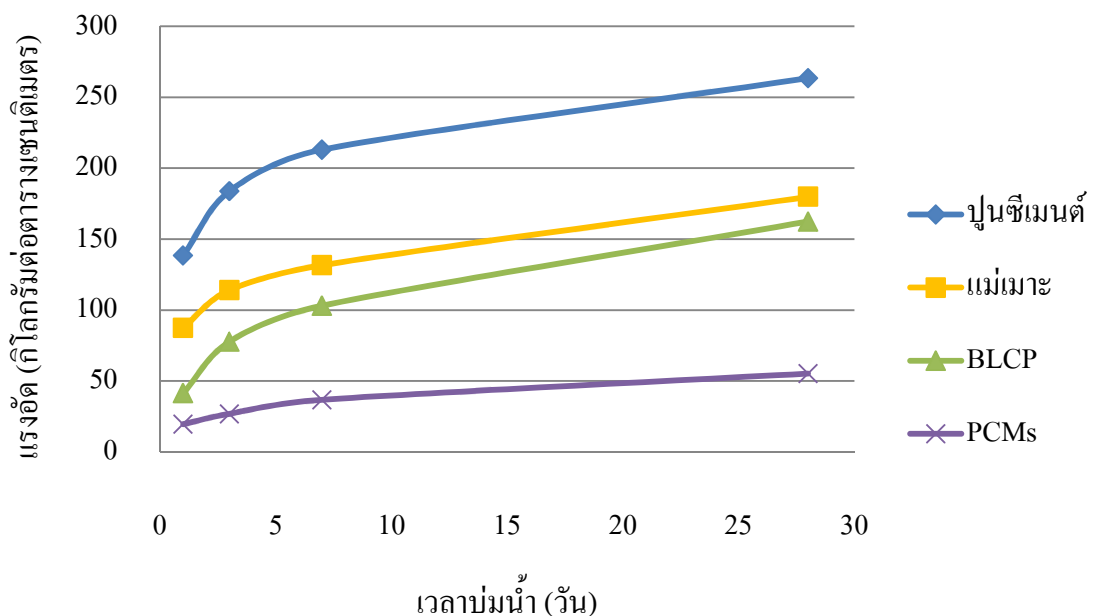
ภาพที่ 62 กำลังรับแรงอัดของปูนซีเมนต์ผสมที่อัตราส่วน 10:90



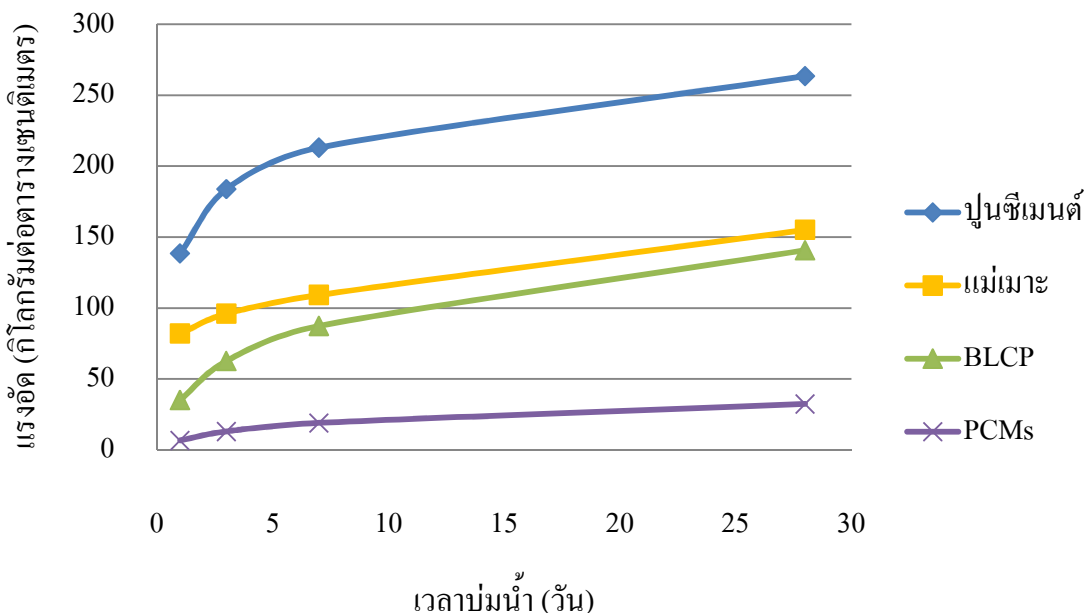
ภาพที่ 63 กำลังรับแรงอัดของปูนซีเมนต์ผสมที่อัตราส่วน 20:80



ภาพที่ 64 กำลังรับแรงอัดของปูนซีเมนต์ผสมที่อัตราส่วน 30:70



ภาพที่ 65 กำลังรับแรงอัดของปูนซีเมนต์ผสมที่อัตราส่วน 40:60



ภาพที่ 66 กำลังรับแรงอัดของปูนซีเมนต์ผสมที่อัตราส่วน 50:50

จากตารางที่ 17-19 และภาพที่ 59-61 จะเห็นว่ากำลังรับแรงอัดของปูนซีเมนต์ผสมถ้าโดยจากโรงไฟฟ้านี้แม่เมะ BLCP และ PCMs ทุกอัตราส่วนในช่วงแรก (1, 3, 7 วัน) มีค่ากำลังรับแรงอัดต่ำกว่าของปูนซีเมนต์ปอร์ตแลนด์ ซึ่งกำลังรับแรงอัดจะลดลงเมื่อปริมาณของส่วนผสมเพิ่มมากขึ้นที่เป็นเช่นนี้ เพราะในช่วงแรกความแข็งแกร่งของมอร์ตาร์เกิดจากปฏิกิริยาไฮดรชัน (Hydration) เมื่อปริมาณของปูนซีเมนต์ปอร์ตแลนด์ถูกทดสอบด้วยวัสดุอื่นทำให้ปฏิกิริยาไฮดรชันเกิดได้น้อยลงอย่างไรก็ตามหากวัสดุทดสอบเป็นวัสดุปอชโซลาน (Pozzolan) เช่นถ้าโดย ความแข็งแกร่งของมอร์ตาร์เมื่อเวลาผ่านไปวัสดุปอชโซลานจะเกิดปฏิกิริยาปอชโซลานกับแคลเซียมไฮдрอกไซด์ (Calcium hydroxide) ซึ่งเป็นผลิตภัณฑ์ที่ได้จากปฏิกิริยาไฮดรชันทำให้มอร์ตาร์มีความแข็งแกร่งเพิ่มมากขึ้น กำลังรับแรงอัดจึงเพิ่มมากขึ้น

ที่อัตราส่วน 20:80 ของปูนซีเมนต์ผสมถ้าโดยจากโรงงานไฟฟ้านี้แม่เมะ และ BLCP จะเห็นว่าเมื่อเวลาผ่านไป (28 วัน) มีค่ากำลังรับแรงอัดสูงกว่าค่าของปูนซีเมนต์ปอร์ตแลนด์ ทั้งนี้เป็นเพราะที่อัตราส่วนนี้ปริมาณแคลเซียมไฮดรอกไซด์ที่เกิดขึ้นจากปฏิกิริยาไฮดรชันมีปริมาณที่เหมาะสมพอดีกับวัสดุปอชโซลาน ทำให้ปฏิกิริยาปอชโซลานเกิดขึ้นได้มากความแข็งแกร่งของมอร์ตาร์จึงสูงกว่าของปูนซีเมนต์ปอร์ตแลนด์ อย่างไรก็ตามที่อัตราส่วน 20:80 และที่อัตราส่วนอื่นๆ ของปูนซีเมนต์ผสม PCMs ค่ากำลังรับแรงอัดไม่ได้สูงกว่าของปูนซีเมนต์ปอร์ตแลนด์เลย เนื่องจาก

ปูนก็จะหายไปซึ่งลานเกิดจากแคลเซียมไอก្រอกไชด์ทำปูนก็จะหายไปกับซิลิกา ( $\text{SiO}_2$ ) และอลูมินา ( $\text{Al}_2\text{O}_3$ ) ซึ่งเป็นส่วนประกอบหลักทางเคมีของถ้าลอยและเมื่อนำถ้าลอยมาทำการคุณภาพพาราฟิน จึงทำให้พาราฟินเคลือบปิดผิวของถ้าลอย ดังนั้นปูนก็จะหายไปซึ่งก็จะเป็นไกด์น้อย ความแข็งแกร่งของมอร์ตาร์ PCMs จึงต่ำ ค่ากำลังรับแรงอัดจึงมีค่าต่ำ

## สรุปและข้อเสนอแนะ

### สรุป

งานวิจัยนี้แบ่งงานวิจัยออกเป็น 2 ส่วน คือ การผลิต Paraffin / Fly Ash Composite PCMs และการทดสอบประสิทธิภาพของ Paraffin / Fly Ash Composite PCMs ในส่วนของการผลิต Paraffin / Fly Ash Composite PCMs ได้ใช้วิธี Vacuum Impregnation ซึ่งได้ทำการศึกษาถึงอิทธิพลของตัวแปรต่างๆ ที่มีผลต่อการผลิต ได้แก่ แหล่งของถ้าโลย ความดันสูญญากาศ เวลาในการแช่ถ้าโลยในพาราฟินและอุณหภูมิของพาราฟินด้วยการนำไปตรวจสอบคุณสมบัติทางด้านความร้อน ส่วนการทดสอบประสิทธิภาพของ Paraffin / Fly Ash Composite PCMs ได้ทำการทดลองใช้งานร่วมกับปูนซีเมนต์และทดสอบถึงผลกระบวนการ Paraffin / Fly Ash Composite PCMs ต่อความแข็งแกร่งของวัสดุ สามารถสรุปผลได้ดังนี้

- เถ้าโลยจากโรงงานไฟฟ้า BLCP มีความเหมะสมในการนำมาผลิต Paraffin / Fly Ash Composite PCMs มากกว่าถ้าโลยจากโรงงานไฟฟ้าแม่มาเพราะมีปริมาณรูพรุนมากกว่า

- จากกราฟ DSC ที่ได้แสดงให้เห็นว่าไม่มีปฏิกิริยาเกิดขึ้นระหว่างพาราฟินกับถ้าโลย เพราะจุดหลอมเหลวของ Paraffin / Fly Ash Composite PCMs กับพาราฟินมีค่าใกล้เคียงกันและกราฟ DSC ก็มีลักษณะคล้ายกัน

- ที่ความดันสูญญากาศ 0 นิวตัน หรือการดูดซับแบบธรรมดاجะมีค่าความร้อนแฟรงน้อยมากเมื่อเทียบกับที่ความดันสูญญากาศที่สูงกว่า เมื่อความดันสูญญากาศมากขึ้นค่าความร้อนแฟรงก็จะเพิ่มมากขึ้นตามความดันสูญญากาศ เพราะสามารถกำจัดอากาศในรูพรุนของถ้าโลยได้มากขึ้นทำให้การดูดซับพาราฟินเกิดได้ง่ายขึ้น

- เวลาในการแช่ถ้าโลยในพาราฟินเพิ่มมากขึ้นค่าความร้อนแฟรงก็จะเพิ่มมากขึ้นตามเวลาที่แช่เพราถ้าโลยมีเวลาในการดูดซับพาราฟินนานขึ้น

- อุณหภูมิของพาราฟินเพิ่มมากขึ้นค่าความร้อนแฟรงก็จะเพิ่มมากขึ้นตามอุณหภูมิของพาราฟิน เพราะอุณหภูมิที่เพิ่มมากขึ้นทำให้ความหนืดของพาราฟินลดลง การดูดซับจึงเกิดได้ง่ายขึ้น

- ประสิทธิภาพการกันความร้อนของมอร์ตาร์เพลทและมอร์ตาร์ PCMs เพลทในช่วง 60นาทีแรก (ปิดไฟ) แสดงให้เห็นว่ามอร์ตาร์ PCMs เพลทสามารถกันความร้อนได้ดีกว่ามอร์ตาร์เพลทส่วนในช่วง 60 นาทีสุดท้าย (ปิดไฟ) มอร์ตาร์เพลทสามารถถ่ายพลังงานความร้อนออกจากห้องได้เร็วกว่ามอร์ตาร์ PCMs เพลท เพราะมอร์ตาร์ PCMs เพลทถ่ายพลังงานความร้อนที่สะสมไว้เข้าสู่ห้อง

- อัตราส่วนระหว่างถ้าloyต่อปูนซีเมนต์ที่มากขึ้นมีผลทำให้ความแข็งแกร่งของมอร์ตาร์ลดลง แต่อัตราส่วน 20:80 ที่ 28 วันมีความแข็งแกร่งมากกว่าปูนซีเมนต์พระบรมราชานุเคราะห์เช่นเดียวกัน ใช้ครองใช้คิดขึ้นจากปฏิกริยาไฮเดรชั่นมีปริมาณที่เหมาะสมพอตัวกับวัสดุปอชโซลาม ทำให้ปฏิกริยาปอชโซลามเกิดขึ้นได้มากความแข็งแกร่งของมอร์ตาร์จึงสูงกว่าของปูนซีเมนต์ปอร์ตแลนด์

- อัตราส่วนระหว่าง PCMs ต่อปูนซีเมนต์ที่มากขึ้นมีผลทำให้ความแข็งแกร่งของมอร์ตาร์ PCM ลดลง เพราะพาราฟินเคลือบปิดผิวของถ้าloyทำให้ปฏิกริยาปอชโซลามเกิดขึ้นได้น้อย ความแข็งแกร่งของมอร์ตาร์ PCMs จึงขึ้นกับปฏิกริยาไฮเดรชั่นเพียงอย่างเดียว เมื่อปริมาณปูนซีเมนต์ลดลงเป็นผลให้ปฏิกริยาไฮเดรชั่นลดลงด้วย

### ข้อเสนอแนะ

- ในการตรวจคุณสมบัติทางความร้อนโดยใช้เครื่อง Differential Scanning Calorimetry (DSC) ยี่ห้อ TA INSTRUMENT รุ่น SDT 2860 ที่มุ่งหลอมเหลวไม่สูงมากนัก ควรใช้ Heating rate ที่ 1 องศาเซลเซียสต่อนาที เพื่อการตรวจสอบคุณสมบัติที่แม่นยำมากขึ้น

- ค่าความร้อนแห้งของ Paraffin / Fly Ash Composite PCMs ขึ้นอยู่กับปริมาณพาราฟินที่แทรกอยดูดซับได้ จะเห็นว่าในการทดลองค่าความร้อนแห้งที่ได้มีค่าประมาณ 60 จูลต่อกรัม อย่างไรก็ตามหากสามารถหาเล้าโลยแหล่งใหม่ที่มีปริมาณรูปฐานสูงๆ ได้จะทำให้สามารถเพิ่มค่าความร้อนแห้งได้มากขึ้น

- ทดลองนำ Paraffin / Fly Ash Composite PCM ไปผลิตเป็นผลิตภัณฑ์และนำไปทดลองใช้จริง

- ทำการทดสอบรอบการใช้ Paraffin / Fly Ash Composite PCMs เพื่อคุ้ว่าหลังผ่านการใช้งานหลายๆ รอบแล้ว มีการสูญเสียคุณสมบัติทางความร้อนหรือไม่

## เอกสารและสิ่งอ้างอิง

กิตติพงศ์ สุรุ่งค์วรรณ และ ภาควัต เกิดบ้านชัน. 2549. การประยุกต์ใช้ Phase Change Material ใน การพัฒนาภาชนะเก็บกักความร้อน. ภาควิชาชีวกรรมเคมี คณะวิศวกรรมศาสตร์ มหาวิทยาลัยเกษตรศาสตร์.

คณะกรรมการวิชาการสาขาวิชาชีวกรรมโยธา วิศวกรรมสถานแห่งประเทศไทยในพระบรมราชูปถัมภ์. 2544. การใช้ถ้วยลอดไนในงานคอนกรีต. ครั้งที่ 1. วิศวกรรมสถานแห่งประเทศไทยในพระบรมราชูปถัมภ์, กรุงเทพฯ.

พิพยรัตน์ หาญสีบ้าย. 2544. เถ้าลอดลิกไนต์ในงานคอนกรีตกับการอนุรักษ์พลังงานและสิ่งแวดล้อม. การไฟฟ้าฝ่ายผลิตแห่งประเทศไทย, กรุงเทพฯ.

ปริญญา จินดาประเสริฐ และ อินทรชัย หอวิจิตร. 2528. การศึกษาปูนซีเมนต์ปอร์ตแลนด์ผสมขี้ถ้วยแม่เมะ. สำนักงานเทคโนโลยีเพื่อพัฒนาชนบท คณะวิศวกรรมศาสตร์ มหาวิทยาลัยขอนแก่น.

Banu, D., D. Feldman, F. Haghighe, J. Paris and D. Hawes. 1998. **Energy Storing Wallboard: Flammability Tests.** J Mater Civ Eng. 10: 98–105.

Chahroudi, D. 1976. **Thermocrete heat storage materials: applications and performance specifications.** Proceedings of Sharing the Sun Solar Technology in the Seventies Conference, Winnipeg, USA.

Dong, Z. 2004. **Development of thermal energy storage concrete.** Cement and Concrete Research. 34: 927-934.

Farid, M.M. and W.J. Kong. 2001. **Underfloor heating with latent heat storage.** Proc Instn Mech Engrs. 215: 601–9.

Feldman, D. and D. Banu. 1991. **Obtaining an energy storing building material by direct incorporation of an organic phase change material in gypsum wallboard.** Solar Energy Mater. 22: 231–242.

Feldman, D. and D. Banu. 1996. **DSC analysis for the evaluation of an energy storing wallboard.** Thermochimica acta. 272: 243-215

Hadjieva, M., R. Stoykov and T. Filipova. 2000. **Composite salt-hydrate concrete system for building energy storage.** Renew Energy. 19: 111–5.

Hawes, D. W., D. Banu and D. Feldman. 1990. **Latent heat storage in concrete II.** Solar Energy Mater. 21: 61–80.

Hawlader, M. N. A., M. S. Uddin and Mya Mya Khin. 2003. **Microencapsulated PCM thermal-energy storage system.** Applied Energy. 74: 195-202

Inaba, H. and P. Tu. 1997. **Evaluation of Thermophysical Characteristics on Shape-Stabilized Paraffin as a Solid-Liquid Phase Change Material.** Heat and Mass Transfer. 32: 307-312.

Lee, T., D.W. Hawes, D. Banu and D. Feldman. 2000. **Control aspects of latent heat storage and recovery in concrete.** Solar Energy Mater Solar Cells. 62: 217–37.

Liu, X., H. Liu, S. Wang, L. Zhang and H. Cheng. 2006. **Preparation and Thermal Properties of Form Stable Paraffin Phase Change Materials Encapsulation.** Energy Conversion and Management. 47: 2515–2522.

Peippo, K and P. Kauranen. 1991. **A Multi Component PCM Wall Optimized for Passive Solar Heating.** Energy and Buildings. 17: 259 – 270.

Schossiga, P., H.-M. Henninga and S. Gschwander. 2005. **Micro-encapsulatedphase-change materials integratedinto construction materials.** Solar Energy Materials & Solar Cells. 89: 297–306

Xiao, M., B. Feng and K. Gong. 2001. **Thermal Performance of a High Conductive Shape-Stabilized Thermal Storage Material.** Solar Energy Materials & Solar Cells. 69: 293–296.

Xiaoming, F. and Z. Zhengguo. 2006. **A Novel Montmorillonite Based Composite Phase Change Materials and Its Applications in Thermal Storage Building Materials.** Energy and Buildings. 38: 377–380.

Zhengguo Z. and F. Xiaoming. 2006. **Study on Paraffin / Expanded Graphite Composite Phase Change Thermal Energy Storage Material.** Energy Conservation and Management. 47: 303–310.

## ភាគធនវក

## ภาคผนวก ก

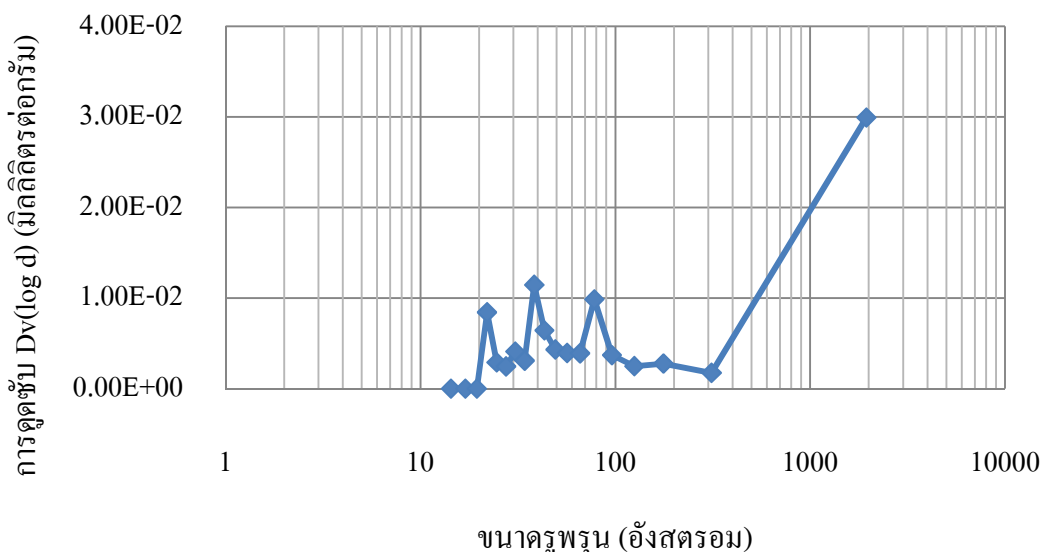
### ข้อมูลที่ได้จากการวิเคราะห์ตัวอย่าง

#### 1. ข้อมูลการหาปริมาณรูพรุนและพื้นที่ผิวของถ้าโลย

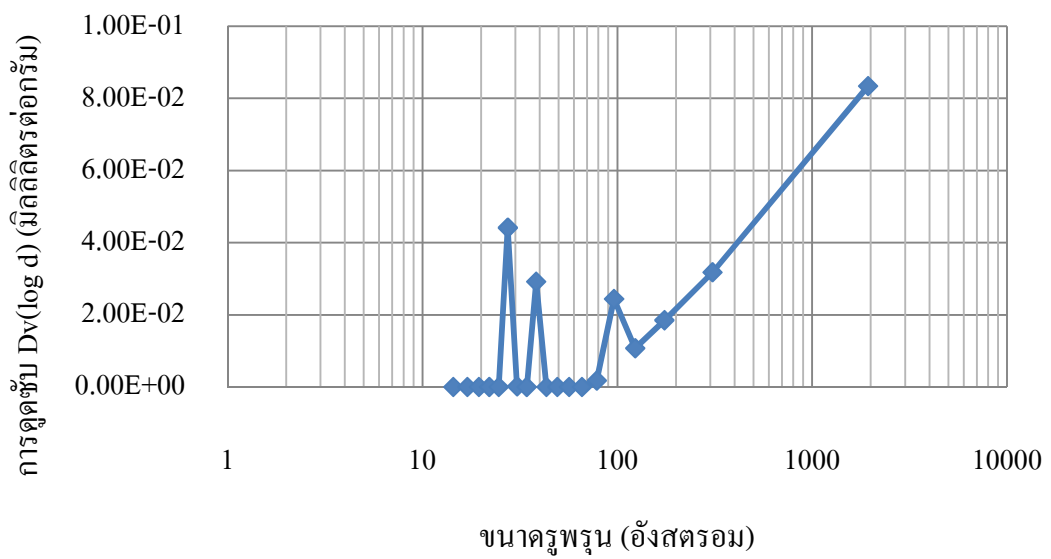
ผลการหาปริมาณรูพรุนและพื้นที่ผิวของถ้าโลย 2 แหล่ง คือ เถ้าโลยก่อสร้าง ไฟฟ้าแม่เมะ และ ไฟฟ้า BLCP ตรวจวัดด้วยเครื่อง Nitrogen Adsorption รุ่น Autosorb1 แสดงดังนี้

ตารางผนวกที่ ก1 ข้อมูลพื้นที่ผิว ขนาดของรูพรุนและปริมาตรรูพรุนของถ้าโลย

ถ้าโลย	พื้นที่ผิว (ตารางเมตรต่อกรัม)	ขนาดรูพรุนเฉลี่ย (อังสตรอม)	ปริมาตรรูพรุน (มิลลิลิตรต่อกรัม)
แม่เมะ	4.411	21.98	0.033
BLCP	9.313	27.44	0.097



ภาคผนวกที่ ก1 การกระจายขนาดรูพรุนของถ้าโลยจากแม่เมะ



ภาพผนวกรที่ ก2 การกระจายขนาดครูพรุนของถ้าดอยจาก BLCP

## 2. ข้อมูลคุณสมบัติทางความร้อนที่ได้จากการทดสอบด้วยเครื่อง DSC ของผลิตภัณฑ์

ผลการหาค่าความจุความร้อนจำเพาะ จุดหลอมเหลว และค่าความร้อนแห่งการหลอม เหลว ของสารทั้งหมด รวมถึงกราฟความสัมพันธ์ระหว่างอัตราการให้ความร้อนกับอุณหภูมิ โดยเครื่อง Differential Scanning Calorimetry (DSC) ยี่ห้อ TA INSTRUMENT รุ่น SDT 2860 และใช้อัตราเพิ่ม อุณหภูมิที่ 1 องศาเซลเซียสต่อนาที แสดงดังนี้

**ตารางผนวกที่ ก2 ความดันสุญญากาศและสภาวะต่างๆที่ใช้ในการทดลองและคุณสมบัติทางความร้อนของสารตัวอย่าง**

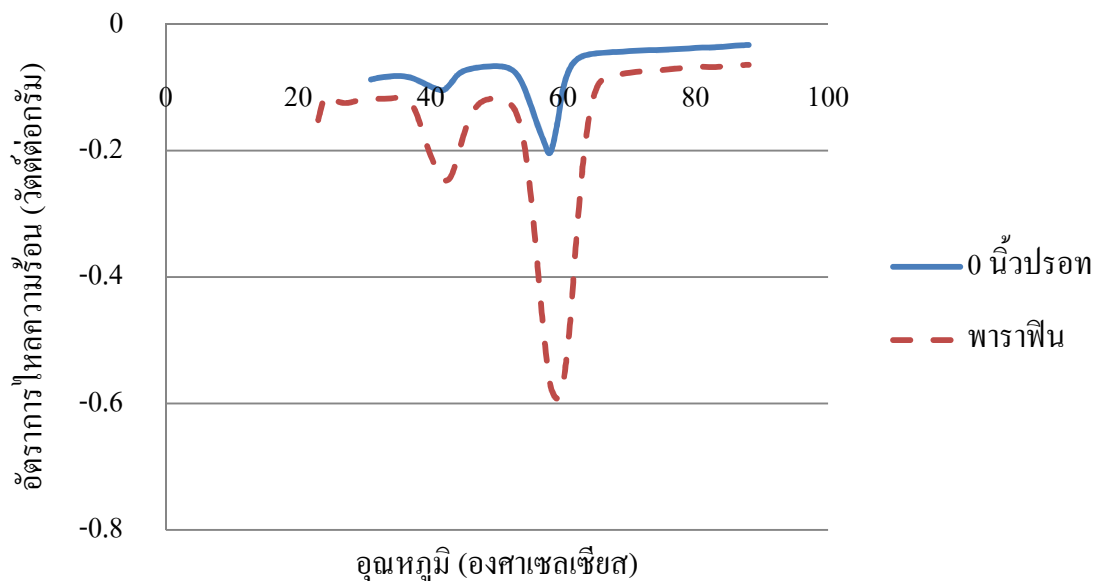
ความดัน สุญญากาศ (นิวปอนท)	เวลา (นาที)	เวลาการแข็ง เดือดอย	อุณหภูมิ พาราฟิน (°C)	จุดหลอมเหลว พาราฟิน (°C)	ความร้อน แห่ง (จูลต่อกรัม)
0	30	30	90	58.19	39.89
10	30	30	90	58.93	56.70
20	30	30	90	58.96	58.23
30	30	30	90	58.88	60.56
40	30	30	90	58.53	61.12
50	30	30	90	58.65	61.32

**ตารางผนวกที่ ก3 เวลาในการแข็งเดือดอยในพาราฟินและสภาวะต่างๆที่ใช้ในการทดลองและคุณสมบัติทางความร้อนของสารตัวอย่าง**

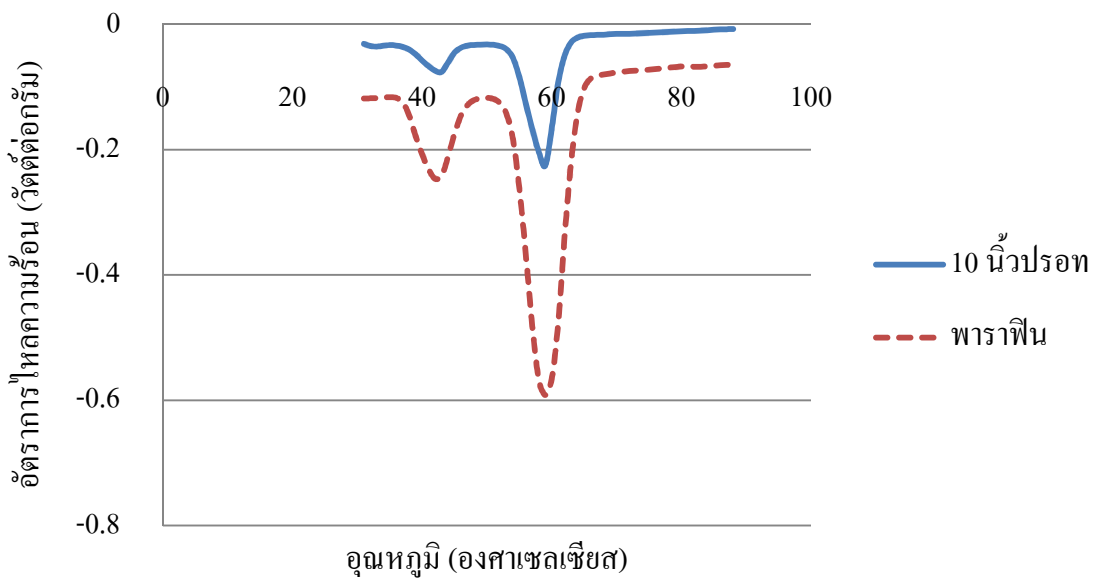
เวลาการแข็ง เดือดอย (นาที)	เวลา (นาที)	ความดัน สุญญากาศ (นิวปอนท)	อุณหภูมิ พาราฟิน (°C)	จุดหลอมเหลว พาราฟิน (°C)	ความร้อนแห่ง (จูลต่อกรัม)
5	30	30	90	58.90	58.46
15	30	30	90	58.61	59.02
30	30	30	90	58.88	60.57
60	30	30	90	58.77	62.24

ตารางผนวกที่ ก4 อุณหภูมิของพาราฟินและสกาวะต่างๆที่ใช้ในการทดลองและคุณสมบัติทางความร้อนของสารตัวอย่าง

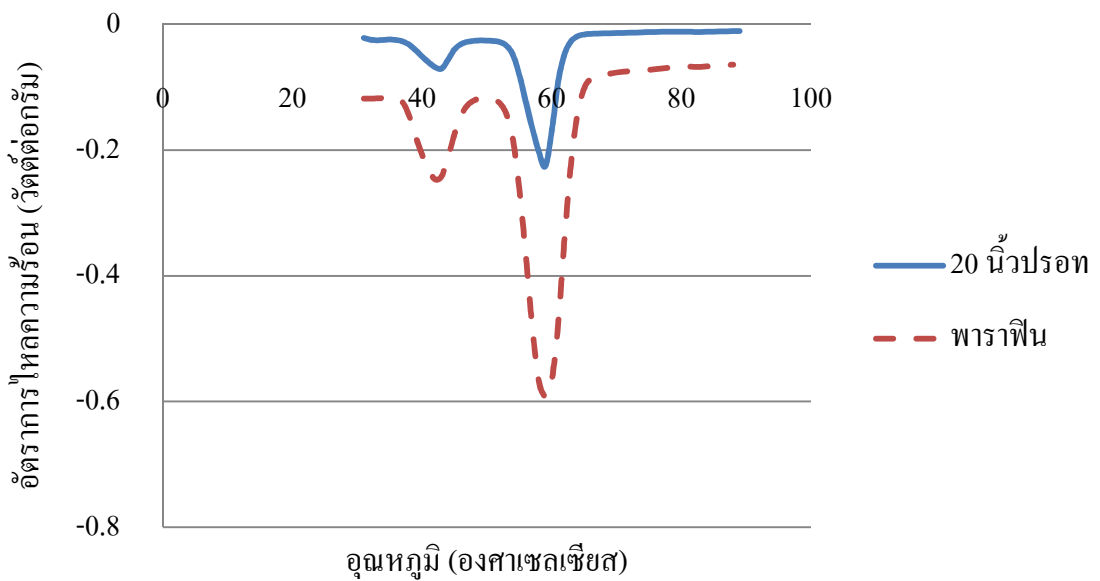
อุณหภูมิ พาราฟิน (°C)	เวลา สุญญากาศ (นาที)	ความดัน สุญญากาศ (นิวปอนท)	เวลาการแข็ง เดือย (นาที)	อุดหนอมเหลว พาราฟิน (°C)	ความร้อนแห้ง <sup>จุดต่อกรัม)</sup>
65	30	30	30	58.61	59.11
90	30	30	30	58.88	60.51
130	30	30	30	58.54	62.54



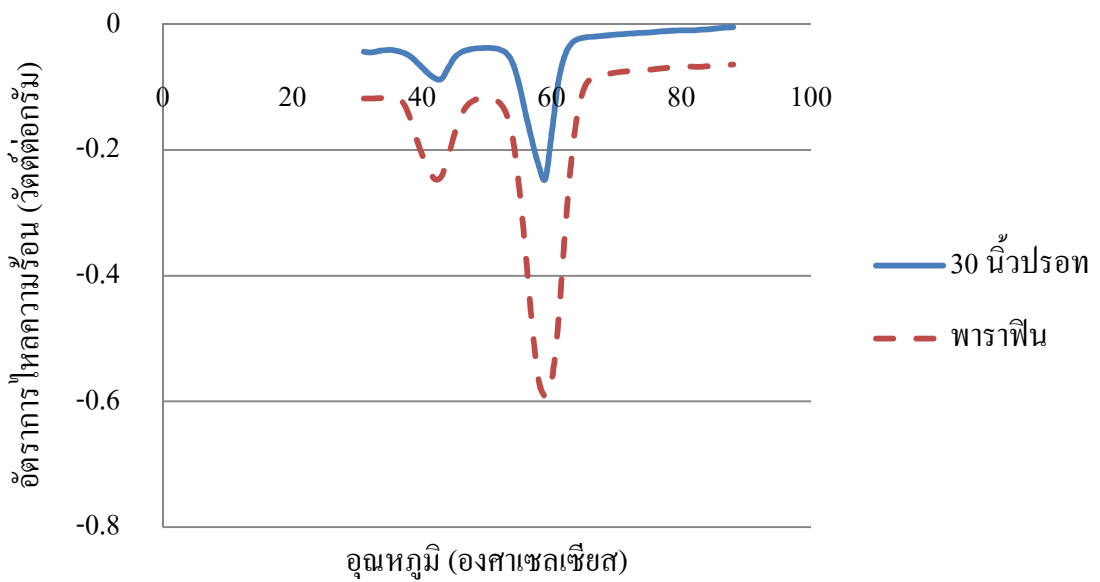
ภาพผนวกที่ ก3 กราฟ DSC ที่ความดันสุญญากาศ 0 นิวปอนท



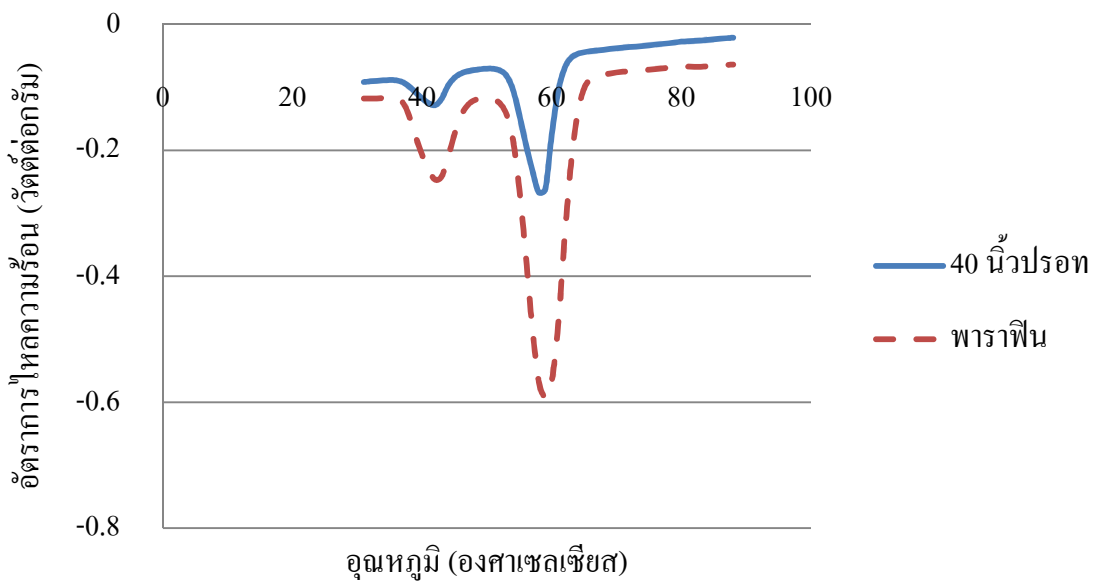
ภาพพนักที่ ก4 กราฟ DSC ที่ความดันสุญญากาศ 10 นิวปะรอท



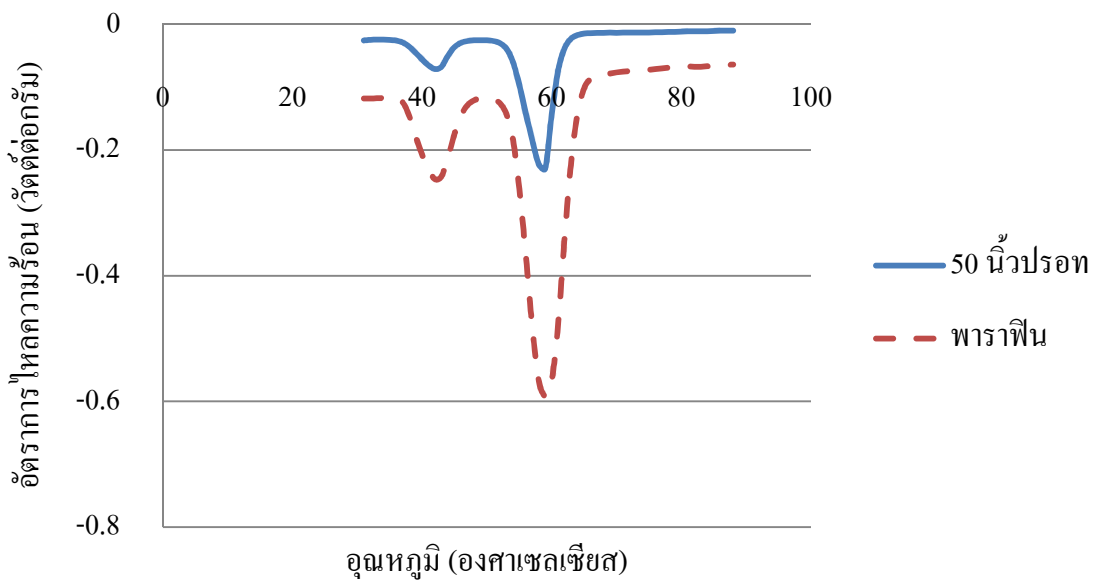
ภาพพนักที่ ก5 กราฟ DSC ที่ความดันสุญญากาศ 20 นิวปะรอท



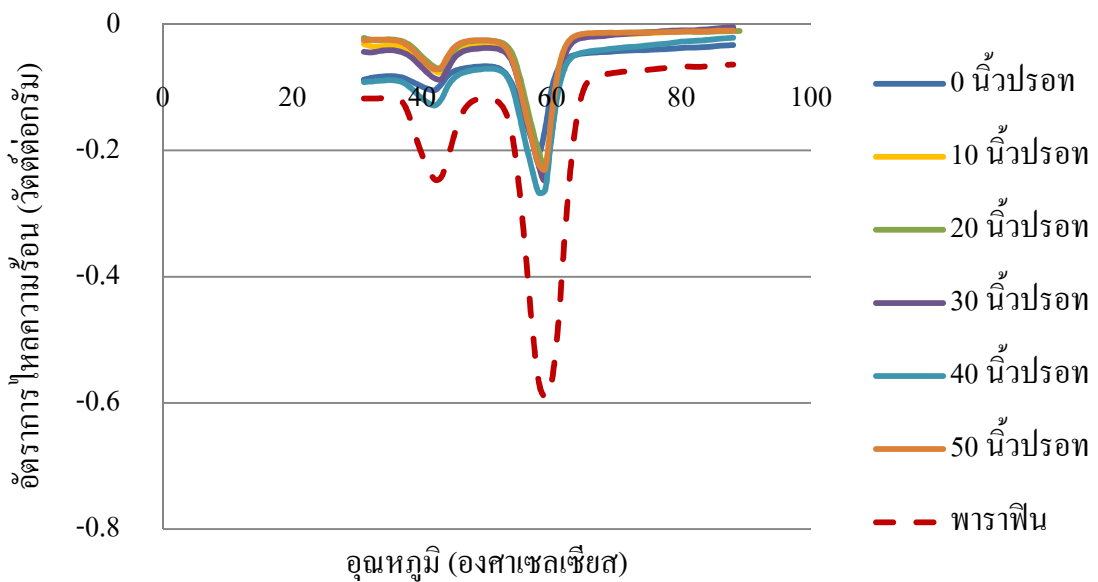
ภาพพนวกที่ ก6 กราฟ DSC ที่ความดันสุญญากาศ 30 นาทีprotein



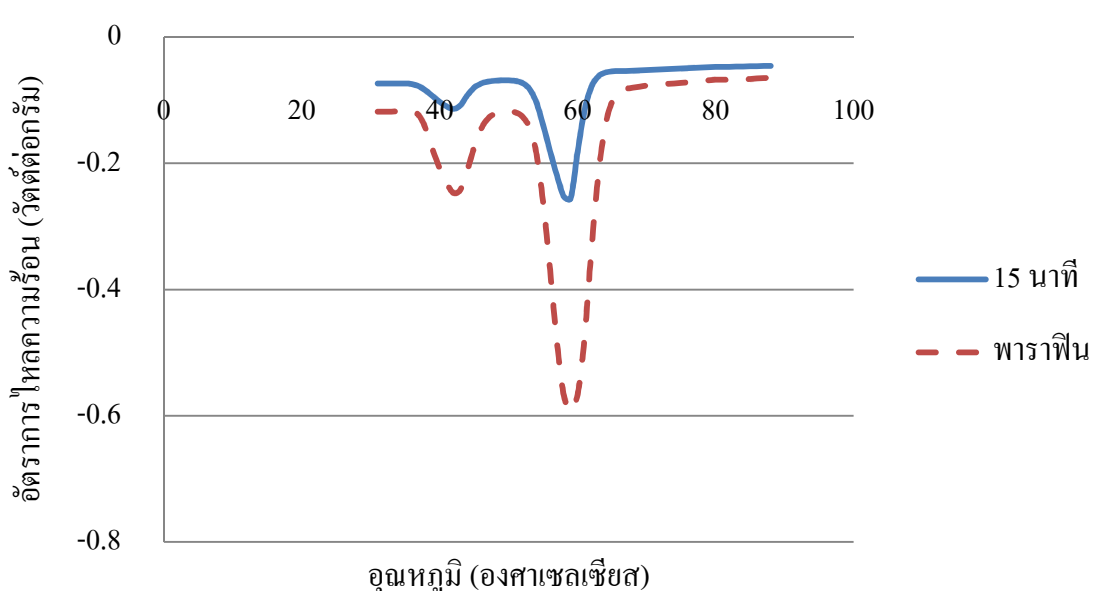
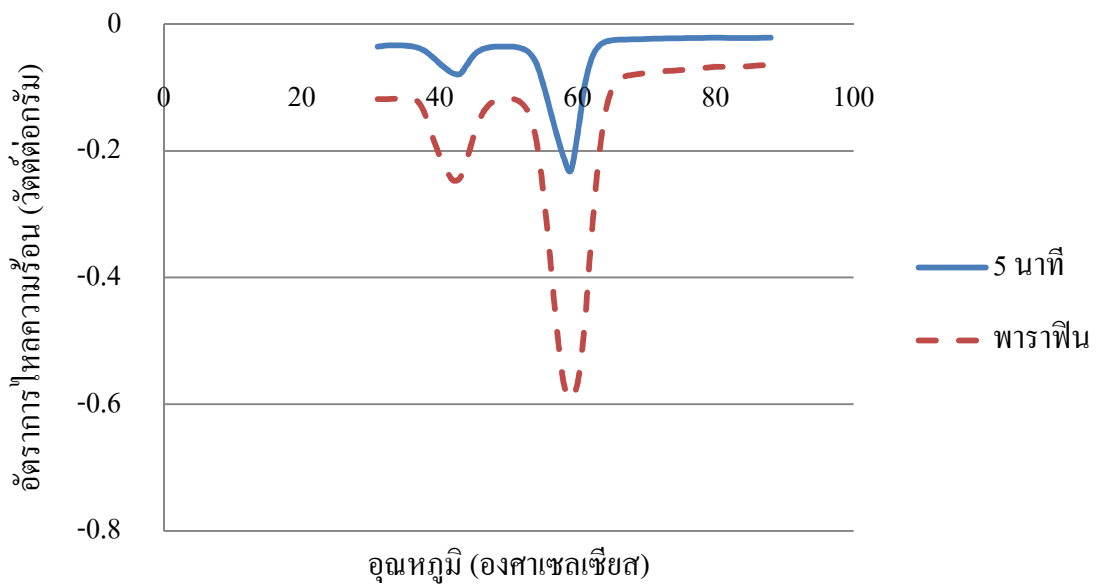
ภาพพนวกที่ ก7 กราฟ DSC ที่ความดันสุญญากาศ 40 นาทีprotein

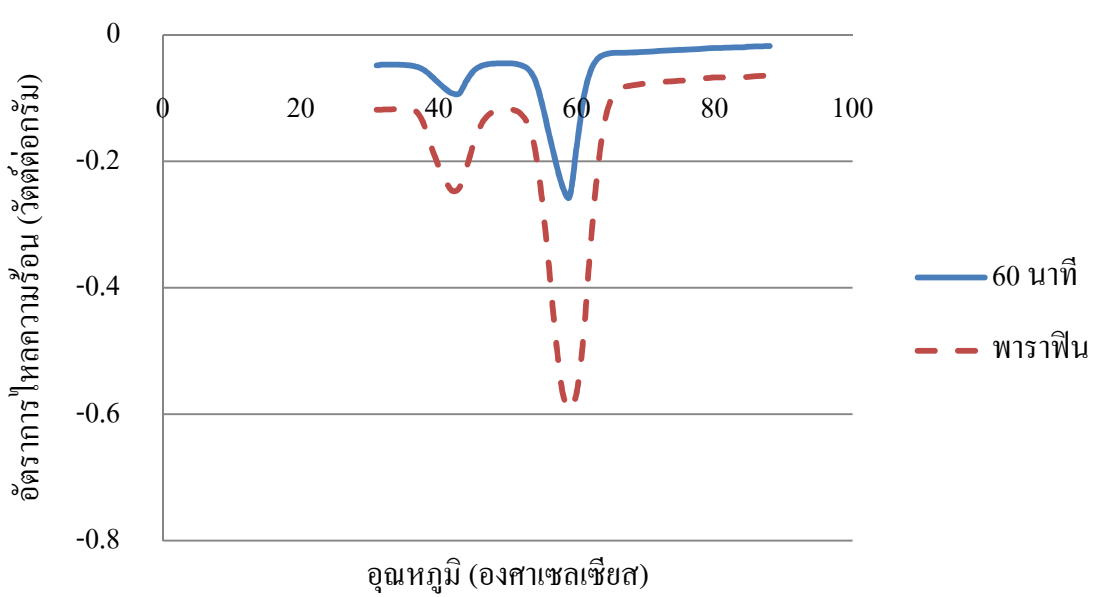
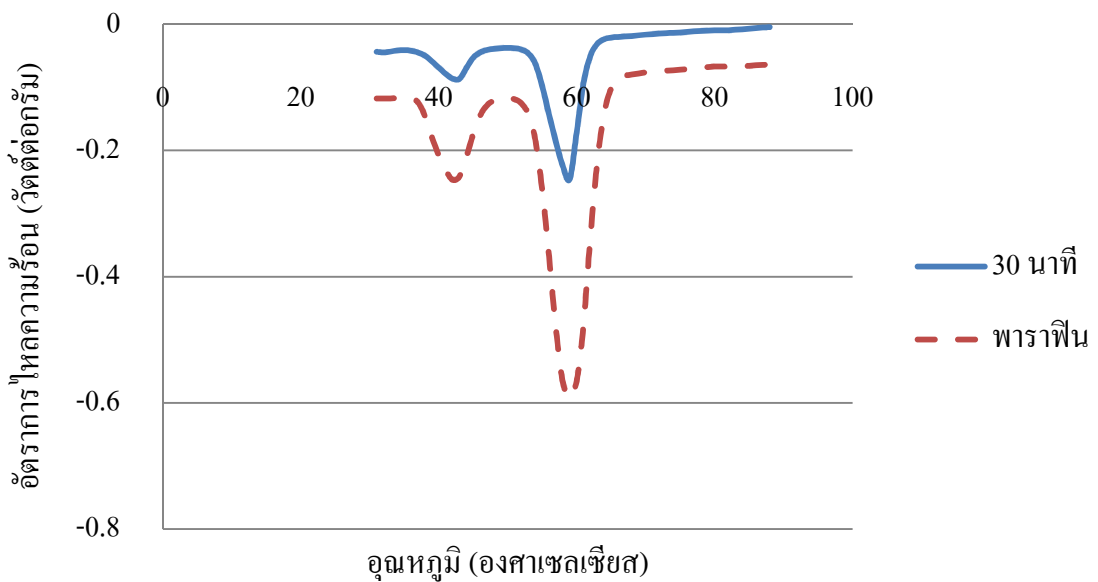


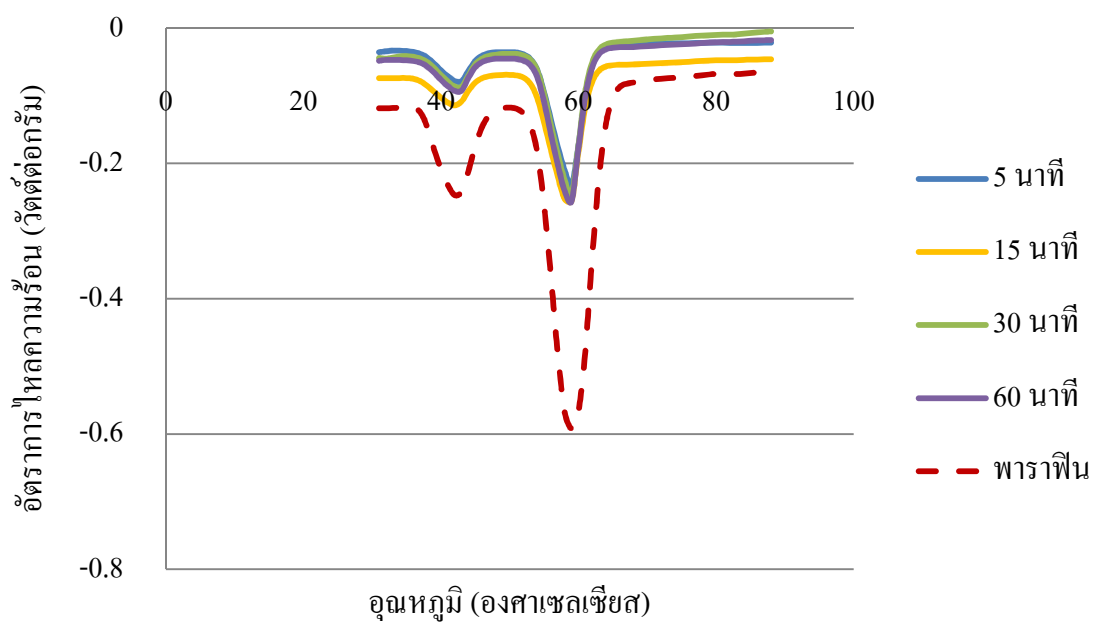
ภาพพนวกที่ ก8 กราฟ DSC ที่ความดันสุญญากาศ 50 นิวป์รอท



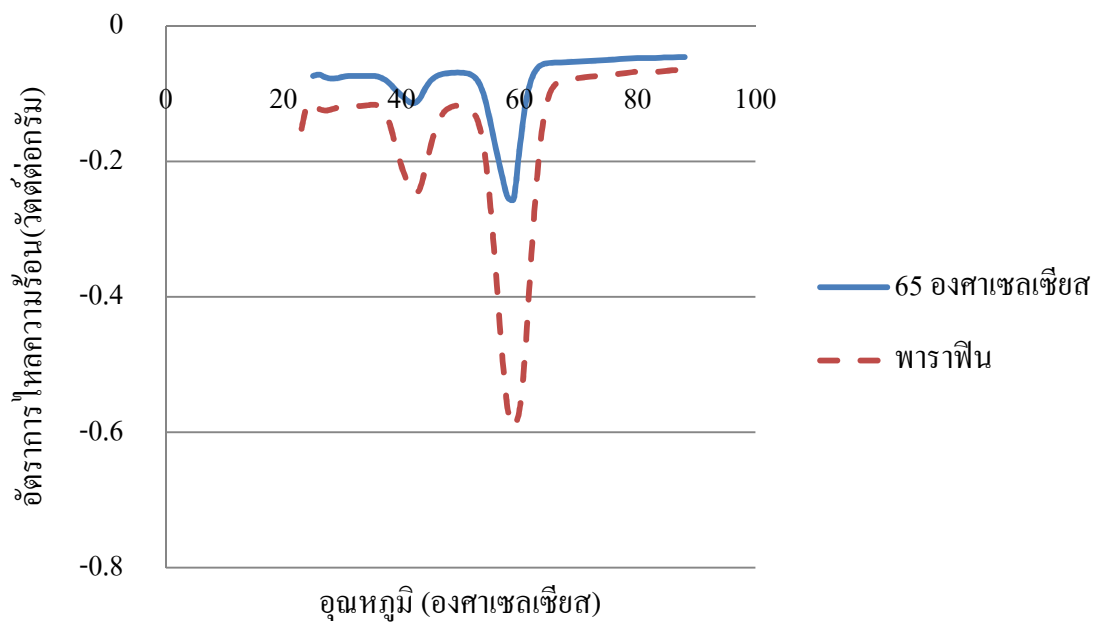
ภาพพนวกที่ ก9 กราฟ DSC ที่ความดันสุญญากาศต่างๆ



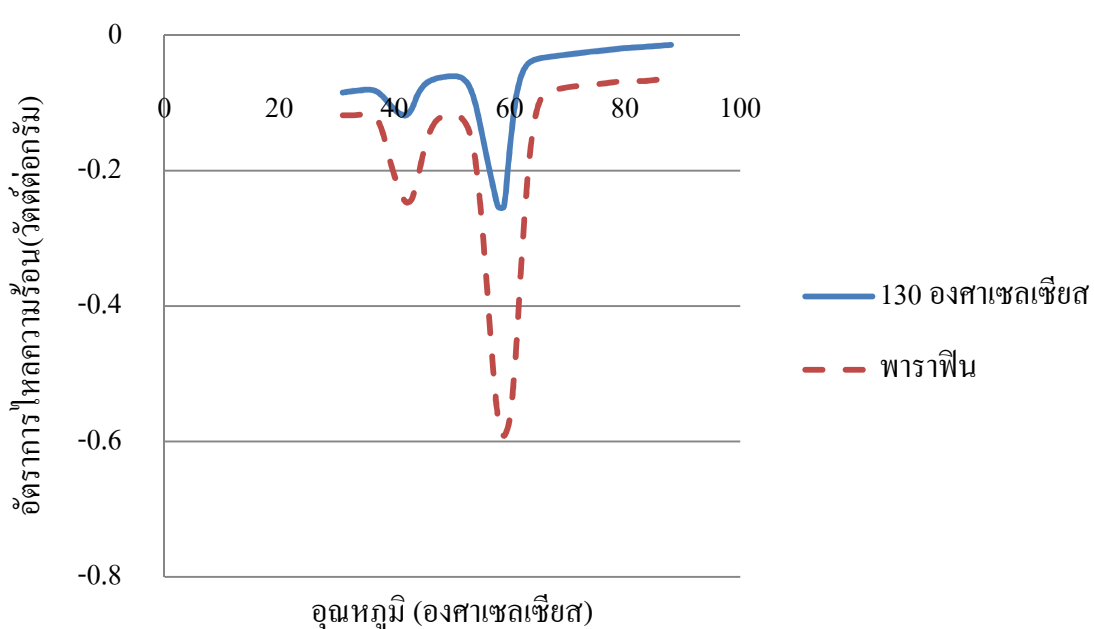
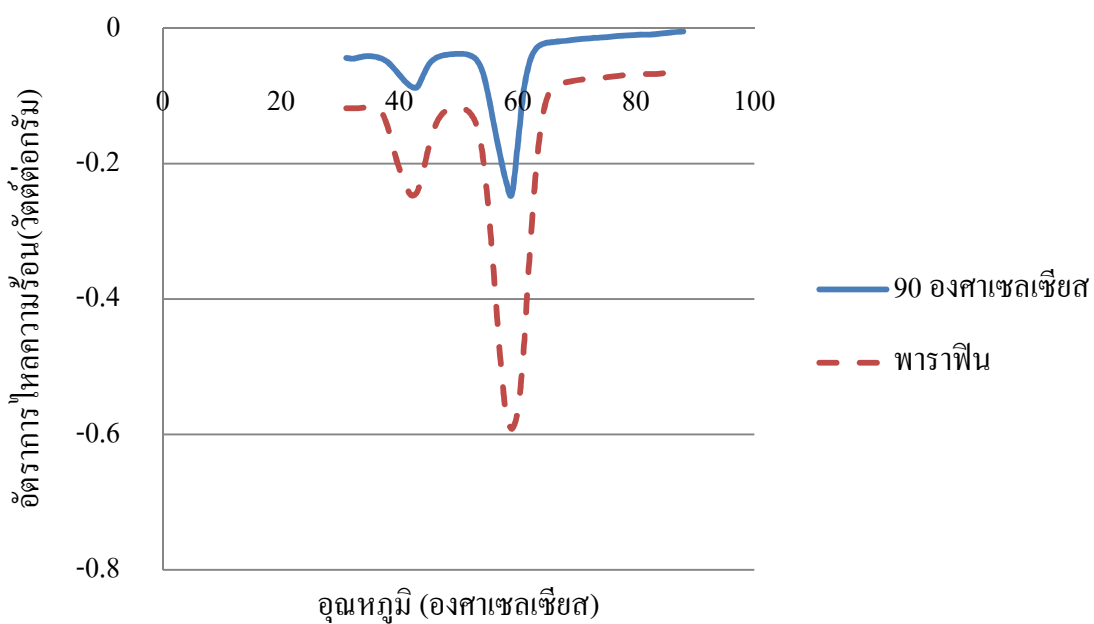




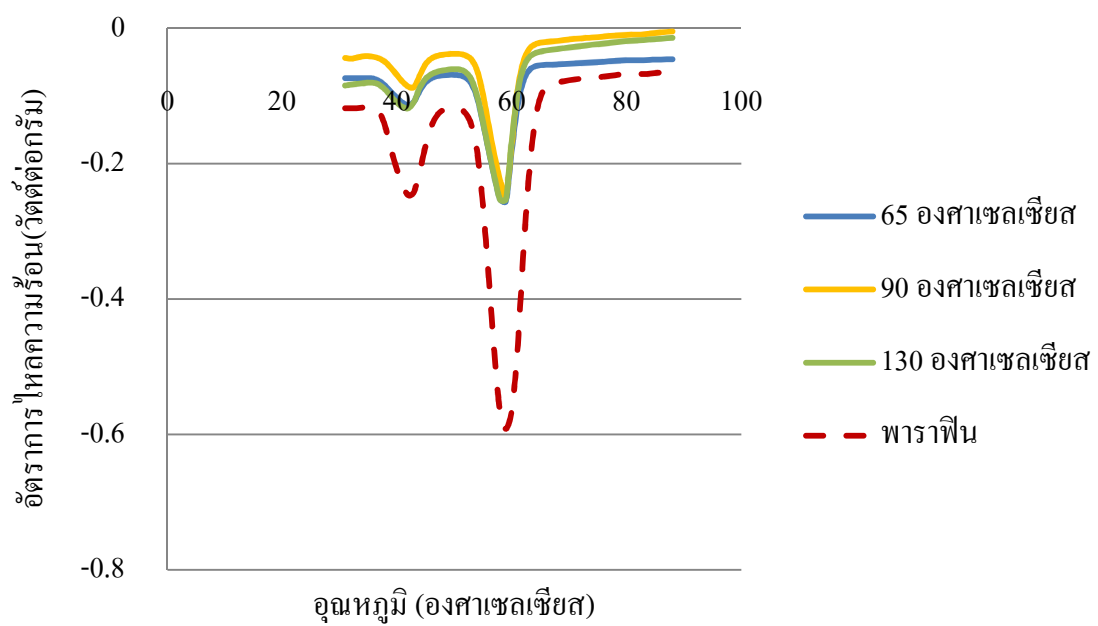
ภาพผนวกรที่ ก14 กราฟ DSC ที่เวลาการแข็งพาราฟินต่างๆ



ภาพผนวกรที่ ก15 กราฟ DSC ที่อุณหภูมิพาราฟิน 65 องศาเซลเซียส



ภาพผนวกรที่ ก17 กราฟ DSC ที่อุณหภูมิพาราฟิน 130 องศาเซลเซียส



ภาพผนวกที่ ก18 กราฟ DSC ที่อุณหภูมิพาราฟินต่างๆ

### 3. ข้อมูลทดสอบประสิทธิภาพด้านความแข็งแกร่ง

ผลการทดสอบแรงอัด เพื่อหาคุณสมบัติทางกลศาสตร์ โดยเครื่องทดสอบแรงอัด Versa Tester ทำการกดอัดสี่เหลี่ยมลูกบาศก์ขนาด  $50 \times 50 \times 50$  มิลลิเมตร ที่เวลาการบ่มนาน 1, 3, 7, 28 วัน จากนั้นนำมาพลีอตกราฟความสัมพันธ์ระหว่างแรงกดอัดในหน่วยกิโลกรัมต่อตารางเซนติเมตรกับเวลาบ่มนานในหน่วยวัน แสดงดังนี้

ตารางผนวกที่ ก5 กำลังรับแรงอัดของปูนซีเมนต์ผสมถ้าโดยแม่เมะที่อัตราส่วนต่างๆ

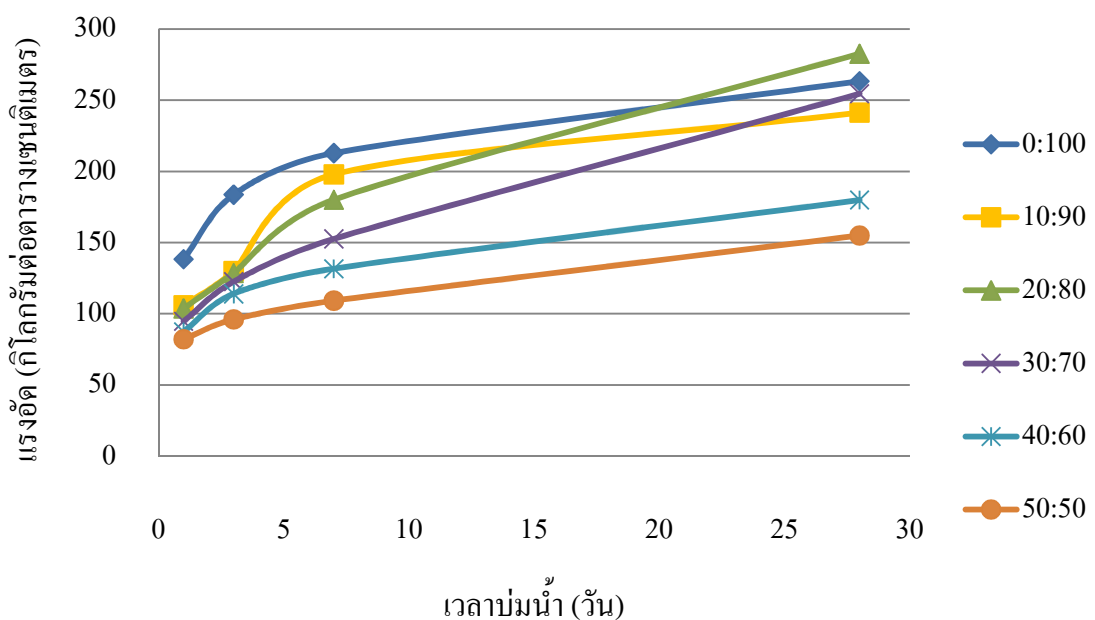
แม่เมะ : ปูน	กำลังรับแรงอัด (กิโลกรัมต่อตารางเซนติเมตร)			
	1 วัน	3 วัน	7 วัน	28 วัน
0 : 100	138.4	183.7	212.9	263.3
10 : 90	106.0	130.1	197.9	241.3
20 : 80	103.7	128.6	180.1	282.6
30 : 70	94.8	122.6	152.7	254.6
40 : 60	87.4	114.0	131.6	179.8
50 : 50	82.1	96.0	109.2	155.0

ตารางผนวกที่ ก6 กำลังรับแรงอัดของปูนซีเมนต์ผสมถ้าโดย BLCP ที่อัตราส่วนต่างๆ

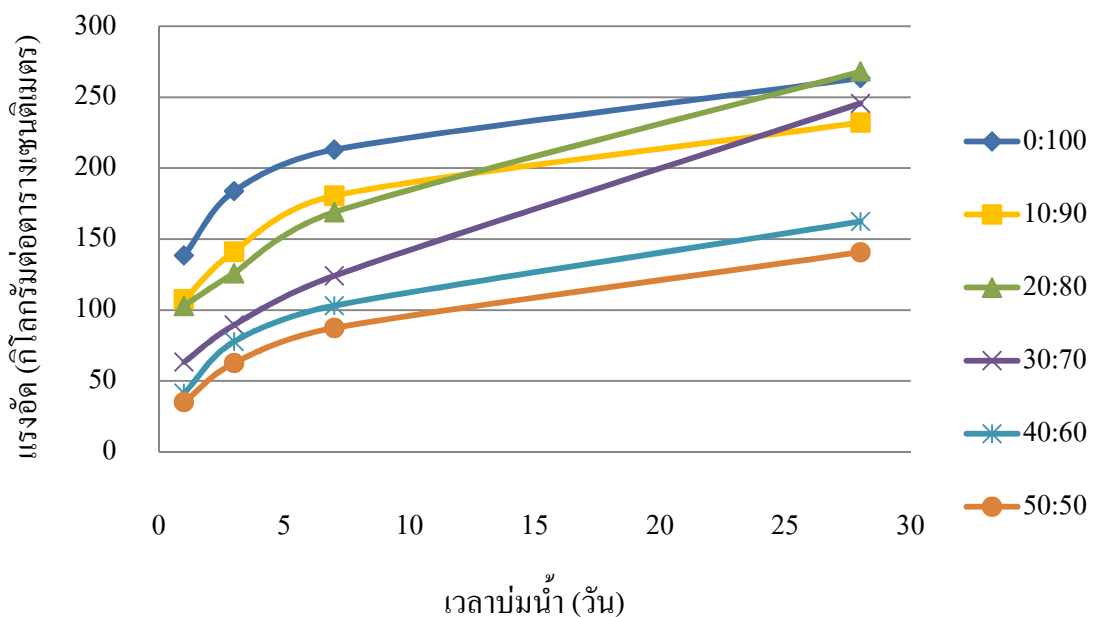
BLCP : ปูน	กำลังรับแรงอัด (กิโลกรัมต่อตารางเซนติเมตร)			
	1 วัน	3 วัน	7 วัน	28 วัน
0 : 100	138.4	183.7	212.9	263.3
10 : 90	107.5	141.0	180.5	232.0
20 : 80	102.9	125.9	168.9	268.0
30 : 70	63.3	89.4	124.1	245.6
40 : 60	41.4	77.7	103.0	162.3
50 : 50	35.1	62.6	87.3	140.6

ตารางผนวกที่ ก7 กำลังรับแรงอัดของปูนซีเมนต์ผสม PCMs ที่อัตราส่วนต่างๆ

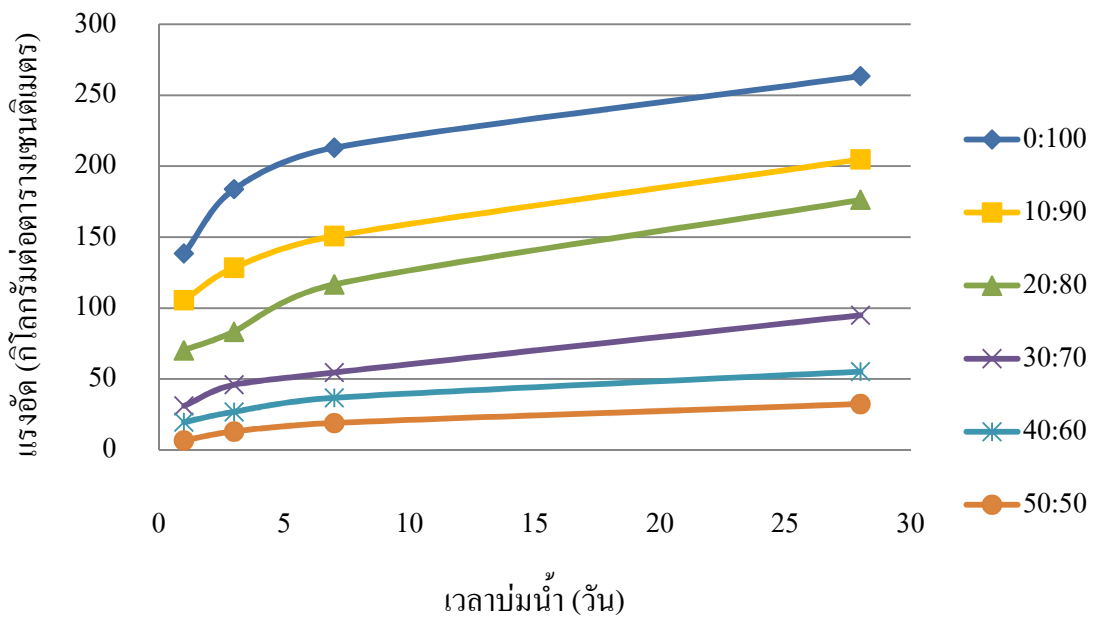
PCMs : ปูน	กำลังรับแรงอัด (กิโลกรัมต่อตารางเซนติเมตร)			
	1 วัน	3 วัน	7 วัน	28 วัน
0 : 100	138.4	183.7	212.9	263.3
10 : 90	105.5	128.4	150.7	204.7
20 : 80	70.2	83.3	116.6	176.2
30 : 70	31.0	45.9	54.5	94.8
40 : 60	19.5	26.8	36.7	55.2
50 : 50	6.6	12.9	18.9	32.3



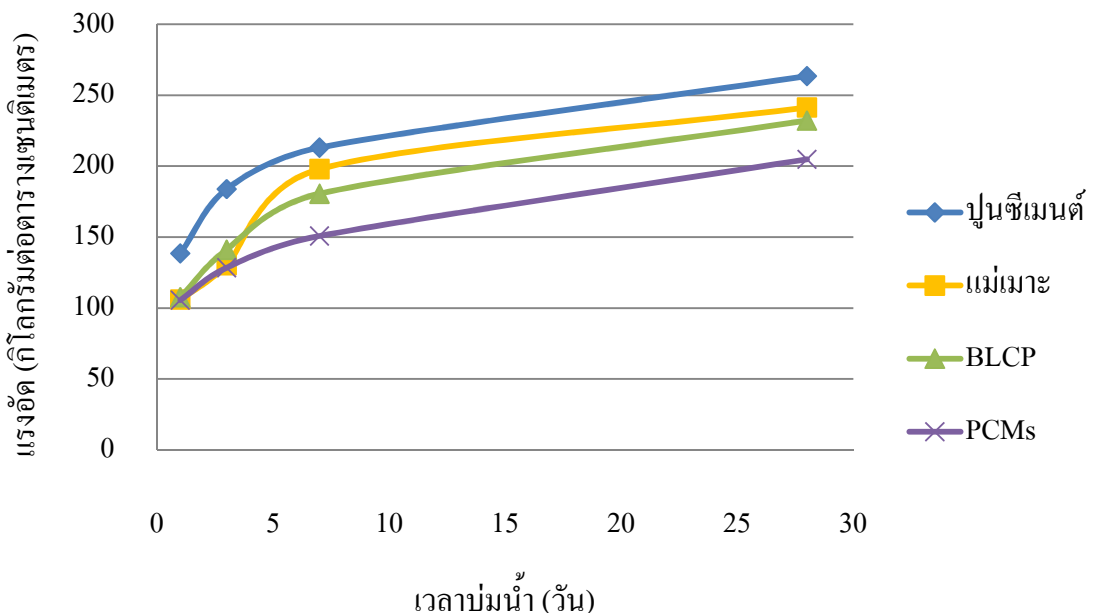
ภาพผนวกที่ ก19 กำลังรับแรงอัดของปูนซีเมนต์ผสมเดือยแม่เมะที่อัตราส่วนต่างๆ



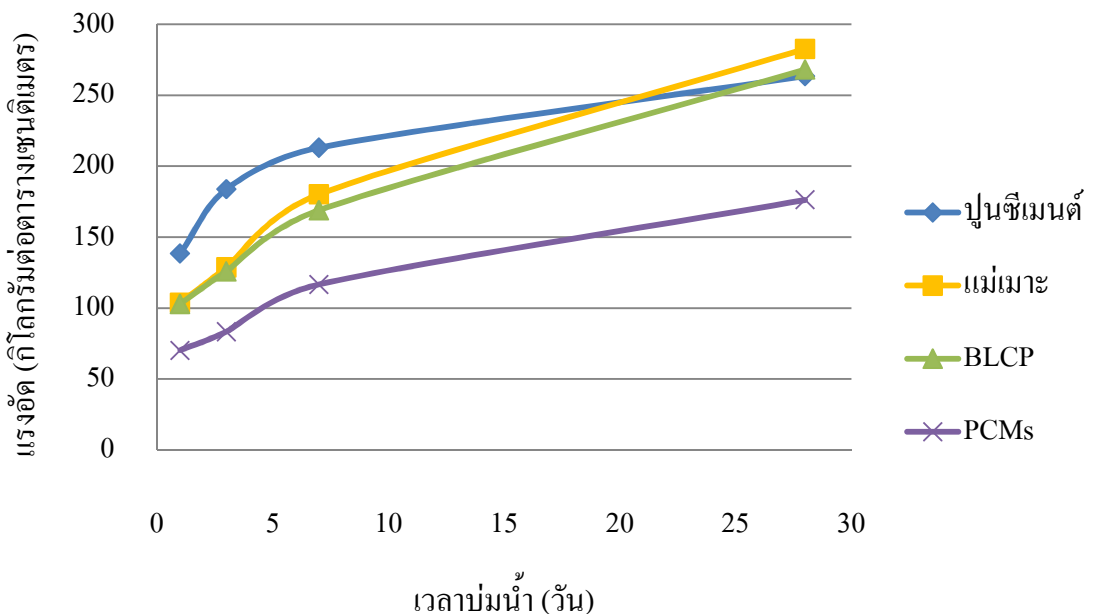
ภาพพนวกที่ ก20 กำลังรับแรงอัดของปูนซีเมนต์ผสมถ้าโดย BLCP ที่อัตราส่วนต่างๆ



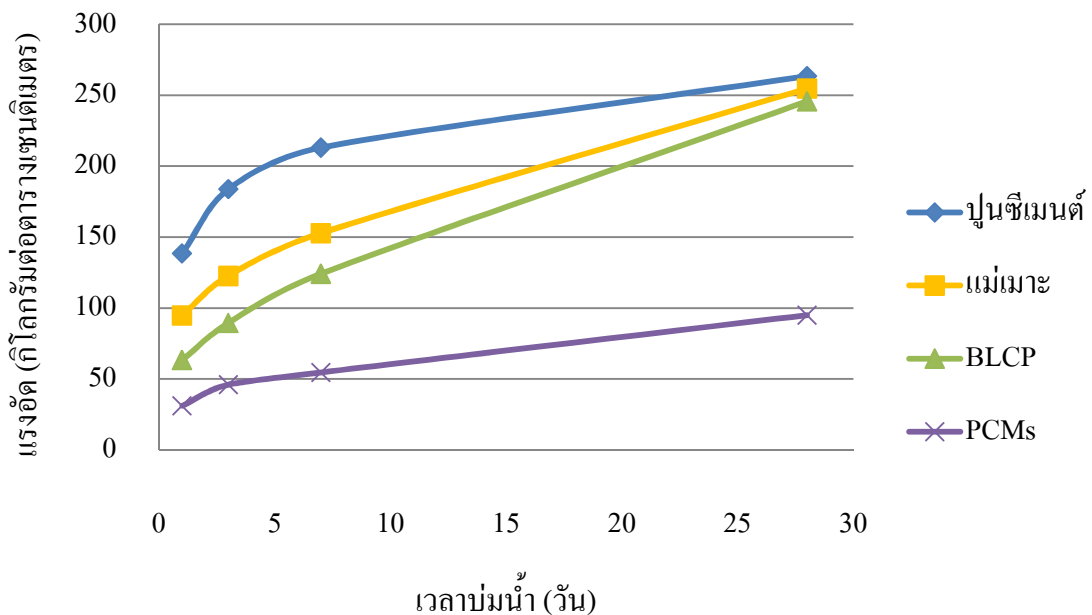
ภาพพนวกที่ ก21 กำลังรับแรงอัดของปูนซีเมนต์ผสม PCMs ที่อัตราส่วนต่างๆ



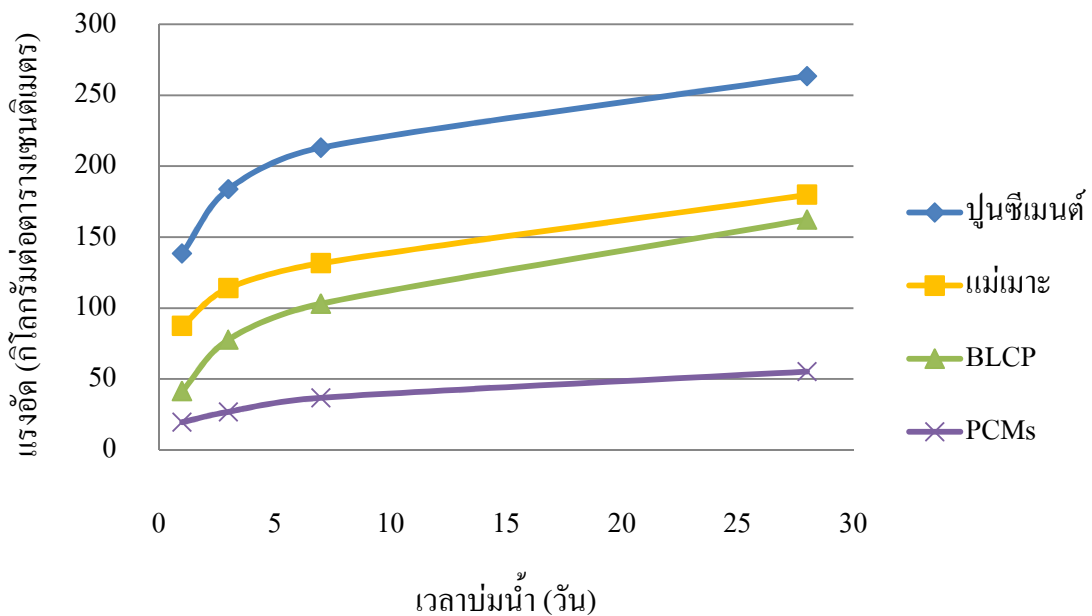
ภาพพนวกที่ ก22 กำลังรับแรงอัดของปูนซีเมนต์ผสมที่อัตราส่วน 10:90



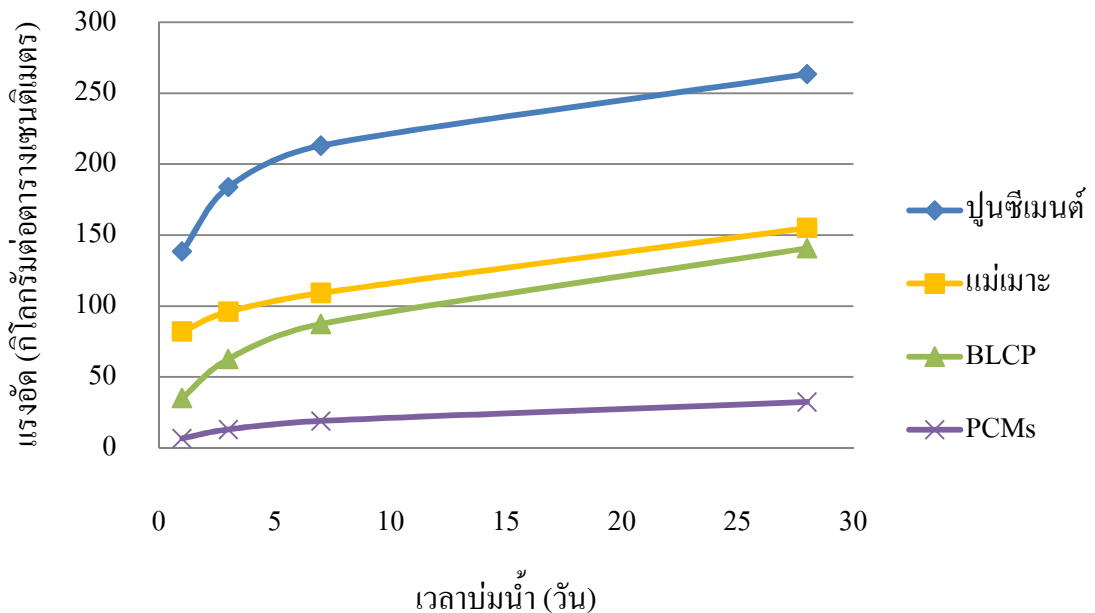
ภาพพนวกที่ ก23 กำลังรับแรงอัดของปูนซีเมนต์ผสมที่อัตราส่วน 20:80



ภาพพนวกที่ ก24 กำลังรับแรงอัดของปูนซีเมนต์ผสมที่อัตราส่วน 30:70



ภาพพนวกที่ ก25 กำลังรับแรงอัดของปูนซีเมนต์ผสมที่อัตราส่วน 40:60



ภาพพนวกที่ ก26 กำลังรับแรงอัดของปูนซีเมนต์ผสมที่อัตราส่วน 50:50

## ภาคผนวก ข

**ข้อมูลสมบัติทางกลศาสตร์ที่ได้จากการทดสอบแรงกดของผลิตภัณฑ์**

**ตารางผนวกที่ ข1 ข้อมูลการทดสอบแรงกดของมอร์ตาร์ลูกบาศก์ปูนซีเมนต์**

เวลาในการ บ่มน้ำ	ก้อนที่	แรงอัด (kg)	ขนาด (cm <sup>2</sup> )	กำลังอัด (kg/cm <sup>2</sup> )	กำลังอัดเฉลี่ย (kg/cm <sup>2</sup> )
1	1	3,450	26.47	130.3	
	2	3,750	25.91	144.7	138.4
	3	3,700	26.42	140.0	
3	1	5,150	26.37	195.3	
	2	4,825	26.27	183.7	183.7
	3	4,575	26.57	172.2	
7	1	5,450	27.89	201.2	
	2	5,825	27.46	212.2	212.9
	3	6,150	27.30	225.3	
28	1	7,275	26.10	278.7	
	2	6,750	26.30	256.5	263.3
	3	6,625	26.00	254.7	

**ตารางผนวกที่ ข2 ข้อมูลการทดสอบแรงกดของมอร์ตาร์ลูกลาศก์ปูนซีเมนต์ผสมถ้าloyแม่เมะที่อัตราส่วน 10 : 90**

เวลาในการบ่มน้ำ	ก้อนที่	แรงอัด (kg)	ขนาด ( $\text{cm}^2$ )	กำลังอัด ( $\text{kg}/\text{cm}^2$ )	กำลังอัดเฉลี่ย ( $\text{kg}/\text{cm}^2$ )
1	1	2,820	25.91	108.8	
	2	2,780	26.06	106.7	106.0
	3	2,755	26.88	102.5	
3	1	3,425	25.40	134.8	
	2	3,250	25.91	125.4	130.1
	3	3,325	25.60	129.9	
7	1	5,050	25.70	196.5	
	2	4,900	25.65	191.0	197.9
	3	5,300	25.70	206.2	
28	1	6,200	26.27	236.1	
	2	6,275	24.89	252.1	241.3
	3	6,000	25.45	235.8	

ตารางผนวกที่ ข3 ข้อมูลการทดสอบแรงกดของมอร์ตาร์ลูกลาศก์ปูนซีเมนต์ผสมถ้าลอยแม่เมะที่ อัตราส่วน 20 : 80

เวลาในการ บ่มน้ำ	ก้อนที่	แรงอัด (kg)	ขนาด (cm <sup>2</sup> )	กำลังอัด (kg/cm <sup>2</sup> )	กำลังอัดเฉลี่ย (kg/cm <sup>2</sup> )
1	1	2,680	25.80	103.9	
	2	2,705	25.65	105.4	103.7
	3	2,640	25.91	101.9	
3	1	3,225	25.40	127.0	
	2	3,400	25.96	131.0	128.6
	3	3,275	25.60	127.9	
7	1	4,525	25.55	177.1	
	2	4,700	25.60	183.6	180.1
	3	4,575	25.45	179.8	
28	1	7,525	25.90	280.8	
	2	7,150	25.55	279.8	282.6
	3	7,425	25.86	287.2	

**ตารางผนวกที่ ข4 ข้อมูลการทดสอบแรงกดของมอร์ตาร์ลูกลาศก์ปูนซีเมนต์ผสมถ้าลอยแม่เมะที่อัตราส่วน 30 : 70**

เวลาในการบ่มน้ำ	ก้อนที่	แรงอัด (kg)	ขนาด ( $\text{cm}^2$ )	กำลังอัด ( $\text{kg}/\text{cm}^2$ )	กำลังอัดเฉลี่ย ( $\text{kg}/\text{cm}^2$ )
1	1	2,525	26.78	94.3	
	2	2,490	26.32	94.6	94.8
	3	2,450	25.65	95.5	
3	1	3,425	26.52	129.1	
	2	3,300	26.01	126.9	122.6
	3	2,950	26.36	111.9	
7	1	4,175	25.63	162.7	
	2	3,900	26.73	145.9	152.7
	3	3,950	26.41	149.6	
28	1	6,550	26.37	248.4	
	2	6,625	25.09	264.1	254.6
	3	6,600	26.26	251.3	

**ตารางผนวกที่ ข5 ข้อมูลการทดสอบแรงกดของมอร์ตาร์ลูกลาศก์ปูนซีเมนต์ผสมถ้าลอยแม่เมะที่อัตราส่วน 40 : 60**

เวลาในการบ่มน้ำ	ก้อนที่	แรงอัด (kg)	ขนาด ( $\text{cm}^2$ )	กำลังอัด ( $\text{kg}/\text{cm}^2$ )	กำลังอัดเฉลี่ย ( $\text{kg}/\text{cm}^2$ )
1	1	2,300	26.27	87.6	
	2	2,325	25.81	90.1	87.4
	3	2,225	26.36	84.4	
3	1	3,000	25.55	117.4	
	2	2,925	25.60	114.2	114.0
	3	2,875	25.05	110.4	
7	1	3,425	25.96	131.9	
	2	3,275	26.05	125.7	131.6
	3	3,525	25.70	137.1	
28	1	4,625	25.65	180.3	
	2	4,750	25.65	185.2	179.8
	3	4,500	25.86	174.0	

**ตารางผนวกที่ ข6 ข้อมูลการทดสอบแรงกดของมอร์ตาร์ลูกลาศก์ปูนซีเมนต์ผสมถ้าลอยแม่เมะที่อัตราส่วน 50 : 50**

เวลาในการบ่มน้ำ	ก้อนที่	แรงอัด (kg)	ขนาด ( $\text{cm}^2$ )	กำลังอัด ( $\text{kg}/\text{cm}^2$ )	กำลังอัดเฉลี่ย ( $\text{kg}/\text{cm}^2$ )
1	1	2,155	26.57	81.1	
	2	2,120	25.96	81.7	82.1
	3	2,190	26.26	83.4	
3	1	2,485	26.52	93.7	
	2	2,700	27.14	99.5	96.0
	3	2,525	26.63	94.8	
7	1	2,875	26.52	108.4	
	2	2,815	25.81	109.1	109.2
	3	2,900	26.32	110.2	
28	1	4,050	26.20	154.5	
	2	4,075	25.90	157.3	155.0
	3	3,900	25.40	153.2	

ตารางผนวกที่ ข7 ข้อมูลการทดสอบแรงกดของมอร์ตาร์ลูกลาศก์ปูนซีเมนต์ผสมเจ้าலอย BLCP ที่อัตราส่วน 10 : 90

เวลาในการบ่มน้ำ	ก้อนที่	แรงอัด (kg)	ขนาด ( $\text{cm}^2$ )	กำลังอัด ( $\text{kg}/\text{cm}^2$ )	กำลังอัดเฉลี่ย ( $\text{kg}/\text{cm}^2$ )
1	1	2,835	26.42	107.3	
	2	2,790	25.29	110.3	107.5
	3	2,835	27.04	104.9	
3	1	3,425	25.45	134.6	
	2	3,650	25.24	144.6	141.0
	3	3,650	25.40	143.7	
7	1	4,400	24.99	176.0	
	2	4,825	27.19	177.4	180.5
	3	5,075	26.98	188.1	
28	1	5,875	26.41	222.4	
	2	6,150	26.62	231.0	232
	3	6,025	24.85	242.5	

ตารางผนวกที่ ข8 ข้อมูลการทดสอบแรงกดของมอร์ตาร์ลูกลาศก์ปูนซีเมนต์ผสมเหลวอย BLCP ที่อัตราส่วน 20 : 80

เวลาในการบ่มน้ำ	ก้อนที่	แรงอัด (kg)	ขนาด ( $\text{cm}^2$ )	กำลังอัด ( $\text{kg}/\text{cm}^2$ )	กำลังอัดเฉลี่ย ( $\text{kg}/\text{cm}^2$ )
1	1	2,685	26.16	102.6	
	2	2,690	26.01	103.4	102.9
	3	2,675	26.06	102.7	
3	1	3,225	25.91	124.5	
	2	3,200	26.37	121.4	125.9
	3	3,525	26.73	131.9	
7	1	4,400	25.81	170.5	
	2	4,250	25.96	163.7	168.9
	3	4,500	26.11	172.3	
28	1	7,000	25.60	273.4	
	2	6,850	25.81	265.4	268.0
	3	6,950	26.21	265.1	

ตารางผนวกที่ ๖๙ ข้อมูลการทดสอบแรงกดของมอร์ตาร์ลูกลาศก์ปูนซีเมนต์ผสมเหลวอย BLCP ที่อัตราส่วน 30 : 70

เวลาในการบ่มน้ำ	ก้อนที่	แรงอัด (kg)	ขนาด ( $\text{cm}^2$ )	กำลังอัด ( $\text{kg}/\text{cm}^2$ )	กำลังอัดเฉลี่ย ( $\text{kg}/\text{cm}^2$ )
1	1	1,755	26.32	66.7	
	2	1,555	25.60	60.7	63.3
	3	1,680	26.83	62.6	
3	1	2,300	27.08	84.9	
	2	2,460	26.27	93.7	89.4
	3	2,380	26.57	89.6	
7	1	3,125	25.90	120.6	
	2	3,250	26.11	124.5	124.1
	3	3,425	26.94	127.2	
28	1	6,300	25.96	242.7	
	2	6,300	25.35	248.5	245.6
	3	6,350	25.86	245.6	

**ตารางผนวกที่ ข10 ข้อมูลการทดสอบแรงกดของมอร์ตาร์ลูกบาศก์ปูนซีเมนต์ผสมเล้าloy BLCP ที่อัตราส่วน 40 : 60**

เวลาในการบ่มน้ำ	ก้อนที่	แรงอัด (kg)	ขนาด ( $\text{cm}^2$ )	กำลังอัด ( $\text{kg}/\text{cm}^2$ )	กำลังอัดเฉลี่ย ( $\text{kg}/\text{cm}^2$ )
1	1	1,130	26.83	42.1	
	2	1,130	27.25	41.5	41.4
	3	1,105	27.14	40.7	
3	1	2,100	27.14	77.4	
	2	2,080	26.72	77.8	77.7
	3	2,065	26.47	78.0	
7	1	2,765	26.68	103.6	
	2	2,695	26.06	103.4	103.0
	3	2,665	26.11	102.1	
28	1	4,200	26.88	156.2	
	2	4,500	26.88	167.4	162.3
	3	4,225	25.86	163.4	

**ตารางผนวกที่ ข11 ข้อมูลการทดสอบแรงกดของมอร์ตาร์ลูกบาศก์ปูนซีเมนต์ผสมเล้าloy BLCP ที่อัตราส่วน 50 : 50**

เวลาในการบ่มน้ำ	ก้อนที่	แรงอัด (kg)	ขนาด ( $\text{cm}^2$ )	กำลังอัด ( $\text{kg}/\text{cm}^2$ )	กำลังอัดเฉลี่ย ( $\text{kg}/\text{cm}^2$ )
1	1	905	26.16	34.6	
	2	940	27.09	34.7	35.1
	3	965	26.88	35.9	
3	1	1,565	26.16	59.8	
	2	1,615	26.32	61.4	62.6
	3	1,715	25.70	66.7	
7	1	2,260	26.26	86.1	
	2	2,360	26.16	90.2	87.3
	3	2,200	25.65	85.8	
28	1	3,500	25.80	135.6	
	2	3,700	26.60	139.2	140.6
	3	3,775	25.70	146.9	

**ตารางผนวกที่ ข12 ข้อมูลการทดสอบแรงกดของมอร์ตาร์ลูกบาศก์ปูนซีเมนต์ผสม PCMs ที่อัตราส่วน 10 : 90**

เวลาในการบ่มน้ำ	ก้อนที่	แรงอัด (kg)	ขนาด ( $\text{cm}^2$ )	กำลังอัด ( $\text{kg}/\text{cm}^2$ )	กำลังอัดเฉลี่ย ( $\text{kg}/\text{cm}^2$ )
1	1	2,810	25.75	109.1	
	2	2,785	26.78	104.0	105.5
	3	2,815	27.19	103.5	
3	1	3,275	25.19	130.0	
	2	3,125	25.95	120.4	128.4
	3	3,550	26.36	134.7	
7	1	4,250	26.26	161.8	
	2	3,925	26.57	147.7	150.7
	3	3,800	26.62	142.7	
28	1	5,300	25.50	207.8	
	2	5,250	25.91	202.6	204.7
	3	5,225	25.65	203.7	

**ตารางผนวกที่ ข13 ข้อมูลการทดสอบแรงกดของมอร์ตาร์ลูกลักษณะปูนซีเมนต์ผสม PCMs ที่อัตราส่วน 20 : 80**

เวลาในการบ่มน้ำ	ก้อนที่	แรงอัด (kg)	ขนาด ( $\text{cm}^2$ )	กำลังอัด ( $\text{kg}/\text{cm}^2$ )	กำลังอัดเฉลี่ย ( $\text{kg}/\text{cm}^2$ )
1	1	1,875	26.63	70.4	
	2	1,800	26.57	67.7	70.2
	3	1,920	26.47	72.5	
3	1	2,230	25.81	86.4	
	2	2,015	26.32	76.6	83.3
	3	2,320	26.68	87.0	
7	1	3,075	26.16	117.5	
	2	3,025	25.45	118.9	116.6
	3	2,975	26.21	113.5	
28	1	4,800	25.86	185.6	
	2	4,525	26.06	173.6	176.2
	3	4,450	26.27	169.4	

**ตารางผนวกที่ ข14 ข้อมูลการทดสอบแรงกดของมอร์ตาร์ลูกบาศก์ปูนซีเมนต์ผสม PCMs ที่อัตราส่วน 30 : 70**

เวลาในการบ่มน้ำ	ก้อนที่	แรงอัด (kg)	ขนาด ( $\text{cm}^2$ )	กำลังอัด ( $\text{kg}/\text{cm}^2$ )	กำลังอัดเฉลี่ย ( $\text{kg}/\text{cm}^2$ )
1	1	800	26.37	30.3	
	2	845	26.52	31.9	31.0
	3	790	25.55	30.9	
3	1	1,180	26.47	44.6	
	2	1,245	26.16	47.6	45.9
	3	1,195	26.32	45.4	
7	1	1,515	26.11	58.0	
	2	1,410	26.47	53.3	54.5
	3	1,385	26.47	52.3	
28	1	2,445	25.65	95.3	
	2	2,440	25.50	95.7	94.8
	3	2,400	25.65	93.6	

**ตารางผนวกที่ ข15 ข้อมูลการทดสอบแรงกดของมอร์ตาร์ลูกบาศก์ปูนซีเมนต์ผสม PCMs ที่อัตราส่วน 40 : 60**

เวลาในการบ่มน้ำ	ก้อนที่	แรงอัด (kg)	ขนาด ( $\text{cm}^2$ )	กำลังอัด ( $\text{kg}/\text{cm}^2$ )	กำลังอัดเฉลี่ย ( $\text{kg}/\text{cm}^2$ )
1	1	490	25.80	19.0	
	2	510	26.11	19.5	19.5
	3	520	26.16	19.9	
3	1	705	26.11	27.0	
	2	690	25.60	26.9	26.8
	3	690	26.00	26.5	
7	1	950	26.47	35.9	
	2	1,000	25.70	38.9	36.7
	3	925	26.16	35.4	
28	1	1,440	25.30	56.9	
	2	1,380	25.70	53.7	55.2
	3	1,405	25.50	55.1	

**ตารางผนวกที่ ข16 ข้อมูลการทดสอบแรงกดของมอร์ตาร์ลูกบาศก์ปูนซีเมนต์ผสม PCMs ที่อัตราส่วน 50 : 50**

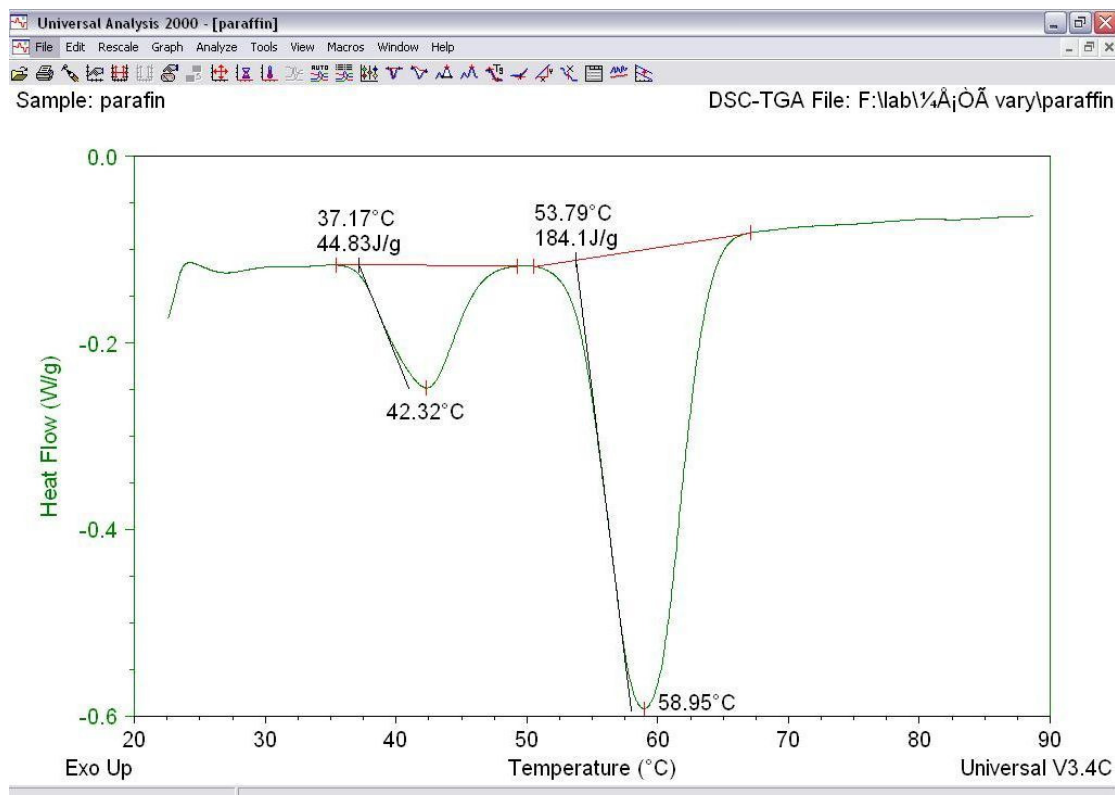
เวลาในการบ่มน้ำ	ก้อนที่	แรงอัด (kg)	ขนาด ( $\text{cm}^2$ )	กำลังอัด ( $\text{kg}/\text{cm}^2$ )	กำลังอัดเฉลี่ย ( $\text{kg}/\text{cm}^2$ )
1	1	185	26.27	7.0	
	2	180	26.73	6.7	6.6
	3	160	25.96	6.2	
3	1	345	25.95	13.3	
	2	345	25.60	13.5	12.9
	3	315	26.47	11.9	
7	1	475	26.00	18.3	
	2	500	25.86	19.3	18.9
	3	490	25.80	19.0	
28	1	795	26.06	30.5	
	2	860	26.32	32.7	32.3
	3	875	25.91	33.8	

## ภาคผนวก ค

### การคำนวณค่าความจุความร้อน จุดหลอมเหลวและค่าความร้อนแฝง

คุณสมบัติทางความร้อนทั้งหมดนี้เป็นค่าที่ได้จากการคำนวณจากการ ซึ่งได้จากการ เครื่อง Differential Scanning Calorimetry หรือ DSC ยี่ห้อ TA INSTRUMENT รุ่น SDT 2860 เป็นเทคนิค การวิเคราะห์คุณสมบัติทางความร้อน โดยใช้วิธีการพิจารณา Heat flow ร่วมกับการเปลี่ยนแปลงของสารที่ทดสอบ เครื่อง DSC เป็นเครื่องมือที่ใช้ช่วยในการตรวจสอบคุณสมบัติทางความร้อนทั้งในเชิงฟิสิกส์และเคมีของสารที่ไม่ทราบล่วงประกอน หรือสารที่ไม่ทราบลักษณะการเปลี่ยนสถานะ การทดสอบโดยใช้เครื่อง DSC จะสามารถให้ทั้งค่าเชิงปริมาณและคุณภาพ

โดยตัวอย่างการคำนวณค่าคุณสมบัติทางความร้อนของพาราฟินซึ่งเป็นกราฟที่มี base line อิ่งค่อนข้างชัดเจน ทำให้สามารถคำนวณค่าคุณสมบัติทางความร้อนได้อย่างแม่นยำ แสดงดังนี้



ภาคผนวกที่ ค1 กราฟ DSC ของพาราฟินที่ได้จากการโปรแกรม TA ANALYSIS

จากภาพพนวกที่ ค1 เห็นว่าเมื่อถูกเส้น base line เชื่อมกันแล้วโปรแกรมจะให้ค่าจุดหลอมเหลวและความร้อนแห่ง โดยพาราฟินมีจุดหลอมเหลวที่ 58.95 องศาเซลเซียส และมีค่าความร้อนแห่ง 184.1 จูลต่อกรัม

สำหรับค่าความจุความร้อนจะแสดงการคำนวณการหาค่าความจุความร้อนของแข็ง โดยจะคำนวณจากค่าอัตราให้ความร้อน (Heat flow) ซึ่งเป็นค่าที่ได้จากเครื่อง DSC และอัตราเพิ่มความร้อน (Heating rate) ซึ่งเป็นค่าที่เรากำหนดไว้ที่ 1 องศาเซลเซียสต่อนาที โดย

$$\text{ค่าความจุความร้อน (จูลต่อกรัมของศาสเซลเซียส)} = \frac{\text{ค่าอัตราให้ความร้อน (วัตต์ต่อกรัม)}}{\text{อัตราเพิ่มความร้อน (องศาเซลเซียสต่อนาที)}}$$

$$\begin{aligned} \text{ เช่น ค่าความจุความร้อนที่ 35 \text{ องศาเซลเซียส} &= \frac{0.1163 \text{ W}}{\text{g}} \left| \begin{array}{c|c|c|c|c} \text{min} & \text{J} & & & 60 \text{ s} \\ 1 \text{ }^{\circ}\text{C} & \text{s} & \text{W} & 1 \text{ min} & \end{array} \right. \\ &= 6.978 \text{ J/g. } ^{\circ}\text{C} \end{aligned}$$

สำหรับค่าความจุความร้อนของแข็งของพาราฟินที่แสดงในตารางที่ 10 นี้เป็นค่าความจุความร้อนเฉลี่ยในช่วงอุณหภูมิ 30-37 องศาเซลเซียส ซึ่งการคำนวณจะใช้โปรแกรม Excel โดยเพียงนำค่าความจุความร้อนทั้งหมดในช่วงการรวมกันแล้วหารด้วยจำนวนค่าทั้งหมดซึ่งได้เท่ากับ 7.087 จูลต่อกรัมของศาสเซลเซียส

## ภาคผนวก ง

### การทดสอบหากำลังอัดของมอร์tarซีเมนต์

1. เตรียมแบบสำหรับหล่อก้อนตัวอย่าง โดยทาน้ำมัน (Mineral oil or light Cop grease) บางๆ เพื่อที่จะได้ลดแรงเสียดทานง่ายๆ และป้องกันไม่ให้น้ำปูนไหลออกจากแบบ
2. เตรียมส่วนผสมสำหรับมอร์tarซีเมนต์ โดยใช้ซีเมนต์กับทรายมาตรฐานในอัตราส่วน 1:2.75 โดยน้ำหนัก ทรายมาตรฐานที่ใช้จะต้องเป็น Natural Silica Sand ที่มีขนาดส่วนคละดังตารางผนวกที่ ง1

#### ตารางผนวกที่ ง1 ขนาดคละของทรายมาตรฐาน

ตะแกรงเบอร์	ปรอต์เซ็นต์ของมวลที่ค้างบนตะแกรง
100	98+2
50	72+2
30	2+2
16	0

3. สำหรับก้อนทดสอบ 6 ก้อน ให้ใช้ซีเมนต์ 500 กรัม ทราย 1,375 กรัมและน้ำ 242 มิลลิกรัม (น้ำ/ซีเมนต์ = 0.485) ทำการผสมซีเมนต์ ทรายและน้ำเป็นมอร์tarด้วยเครื่องผสมตามวิธีมาตรฐานสำหรับปูนซีเมนต์ปอร์ตแลนด์

4. นำมอร์tarมาทดสอบการไหลแพ้ให้มีการไหลแพ้ 105-115 ตามวิธีการทดสอบการไหลแพ้

5. ในการทดสอบการไหลแพ้ เช็คแท่นให้สะอาดและแห้งแล้ววางแบบให้อยู่กึ่งกลางของแท่นจากนั้นให้ใส่มอร์tarที่ผสมแล้วลงในแบบ 1 ชั้นหนาประมาณ 25 มิลลิเมตร แล้วกระทุบด้วยแท่งกระทุบ (Temper) 20 ครั้ง ให้สม่ำเสมอและเพียงพอให้มอร์tarเต็มแบบ จากนั้นใส่มอร์tarอีกชั้นให้ลับแบบแล้วกระทุบเช่นเดียวกันกับชั้นแรก ปิดมอร์tarส่วนที่เกินออกให้เรียบ ทำความสะอาดแท่นอีกครั้งหนึ่ง ยกแบบขึ้นตรงๆ จากนั้นใช้มือหมุนให้แท่นตกกระแทกในแนวตั้ง สูง  $\frac{1}{2}$  นิ้ว หรือ 12.7 มิลลิเมตร จำนวน 25 ครั้ง ในเวลา 15 วินาที เสร็จแล้ววัดเส้นผ่านศูนย์กลางของมอร์tarที่กระจายบนแท่น โดยหาค่าเฉลี่ยจากการวัด 4 ครั้งที่ช่วงห่างเท่ากัน โดยคำนวณการไหลแพ้จาก

$$\% \text{ การไหลดແພ} = ((D_1 - D_0) / D_0) \times 100$$

ເມື່ອ

$D_0$  = ເສັນຜ່ານຄູນຍົກລາງທີ່ຈຳນວນຂອງແບບ

$D_1$  = ເສັນຜ່ານຄູນຍົກລາງເລີ່ມຂອງມອຮຕາຣ໌ທີ່ກະຈາຍບນແກ່ນ

ຫາກກາຮ່າງໄຫລແພ໌ໄມ້ອູ້ໃນຊ່ວງ 105-115 ໄທ້ທໍາກາຮ່າງທດລອງໄໝ່ໂຄດນເປັນແປງປ່ອຮ່າງເຊີນຕໍ່  
ປະມາມນໍ້າທີ່ໃຊ້ຈົນກະທຶນໄດ້ກາຮ່າງໄຫລແພ່ອູ້ໃນຊ່ວງ 105-115 (ໃນກາຮ່າງທດລອງແຕ່ລະກວ່າງໃຫ້ໃຊ້ມອຮຕາຣ໌  
ໄໝ່ເສັນອອ)



ກາພັນວັກທີ່ 1 ແກ່ນທດສອບກາຮ່າງໄຫລແພ໌



ກາພັນວັກທີ່ 2 ແບບແລະແທ່ງກະທຶນ

6. ກາຮ່າງໄຫລແພ໌ສິ້ນຕີ່ສໍາຫຼັບກ້ອນລູກນາສກ໌ຕ້ວອຍ່າງ ລັງຈາກເທສ່ວນພສມທຸກອ່າງລົງ  
ໃນອ່າງແລ້ວໃຫ້ທໍາກາຮ່າງພສມເປັນເວລາ 90 ວິນາທີ່ ແລ້ວຈຶ່ງຫຼຸດກາຮ່າງພສມທີ່ສ່ວນພສມໄວ້ໃນອ່າງ 90

วินาที ระหว่าง 15 วินาทีสุดท้าย ให้ข้อมูลอัตราที่ค้างอยู่ข้างอ่างผสมลงไปรวมที่ก้นอ่าง จากนั้นจึงกวนผสมอีกรั้งด้วยความเร็วปานกลางเป็นเวลา 15 วินาที ให้รีบนำอัตราที่ผสมได้ใส่ลงในแบบหล่อที่เตรียมไว้แล้วทันที

7. การหล่อแบบมอร์ตาร์ชีเมนต์จะต้องทำให้เสร็จภายในเวลา 90 วินาทีหลังจากที่ผสมมอร์ตาร์เสร็จแล้ว โดยให้ใส่มอร์ตาร์ลงในแบบหล่อเป็น 2 ชั้น ชั้นแรกหนา 25 มิลลิเมตรแล้วจึงกระทุบด้วยแท่งกระทุบ 32 ครั้งภายในเวลา 10 วินาที จากนั้นจึงใส่มอร์ตาร์ที่เหลือลงไปจนพูนแบบหล่อแล้วจึงกระทุบเช่นเดียวกันกับครั้งแรก โดยเมื่อกระทุบเสร็จแล้วมอร์ตาร์จะมีระดับสูงกว่าแบบหล่อเล็กน้อย ให้ใช้เกรียงปั๊มมอร์ตาร์ที่ลันติดขอบแบบลงมาในแบบแล้วปิดผิวให้เรียบ

8. หลังจากหล่อเสร็จเรียบร้อยแล้วให้เก็บตัวอย่างซึ่งอยู่ในแบบไว้ในห้องบ่มชี้น โดยผิวน้ำให้สัมผัสกับความชื้นแต่ระวังไม่ให้ถูกหยดน้ำโดยตรงเป็นเวลา 20-24 ชั่วโมง จากนั้นแกะออกจากแบบแล้วจึงนำไปแข็งน้ำ

9. การทดสอบกำลังอัดของตัวอย่างมอร์ตาร์ลูกบาศก์ตามอายุที่กำหนด อนุญาตให้มีความคลาดเคลื่อนดังตารางผนวกที่ ง2

#### ตารางผนวกที่ ง2 ค่าคลาดเคลื่อนที่อนุญาตของการบ่มน้ำ

เวลาในบ่มน้ำ (วัน)	คลาดเคลื่อนได้ (ชั่วโมง)
1	0.5
3	1
7	3
28	12

การทดสอบกำลังอัด ให้เช็คผิwtัวอย่างให้แห้ง ปัดเม็ดทรายหรือเศษฝุ่นที่ติดที่ผิวน้ำออกให้หมด วัดขนาดของตัวอย่างแต่ละก้อน วางก้อนทดสอบให้อยู่สูนย์กลางของแป้นทดสอบและผิว ก้อนตัวอย่างสัมผัสกับแป้นกด ร่องก้อนตัวอย่างแตกและทำการบันทึกค่า

### ตารางผนวก จ

#### องค์ประกอบทางเคมีของถ้ำลอย

ตารางผนวกที่ จ1 องค์ประกอบทางเคมีของถ้ำลอย

ถ้ำลอย	องค์ประกอบทางเคมี (เปลอร์เซ็นต์)									
	Na <sub>2</sub> O	MgO	Al <sub>2</sub> O <sub>3</sub>	SiO <sub>2</sub>	P <sub>2</sub> O <sub>5</sub>	SO <sub>3</sub>	K <sub>2</sub> O	CaO	TiO <sub>2</sub>	Fe <sub>2</sub> O <sub>3</sub>
แม่แมะ	1.11	2.21	26.43	46.25	-	1.85	3.07	7.61	-	10.71
BLCP	-	0.731	22.1	62.3	0.525	0.476	1.91	2.18	2.24	7.55

## ประวัติการศึกษา และการทำงาน

ชื่อ – นามสกุล	นายกำพล ล้อเลิศสกุล
วัน เดือน ปี ที่เกิด	1 ตุลาคม พ.ศ.2526
สถานที่เกิด	กรุงเทพมหานคร
ประวัติการศึกษา	สำเร็จการศึกษาระดับปริญญาตรี วศ.บ.(วิศวกรรมศาสตร์ บัณฑิต) มหาวิทยาลัยเทคโนโลยีมหามาตรี
ตำแหน่งหน้าที่การงานปัจจุบัน	นักศึกษาปริญญาโท ภาควิชาวิศวกรรมเคมี
สถานที่ทำงานปัจจุบัน	มหาวิทยาลัยเกษตรศาสตร์
ทุนการศึกษาที่ได้รับ	ทุนการศึกษาประเภท 4 จากโครงการพัฒนาบัณฑิตและ วิจัยด้านวิศวกรรมเคมี ภาควิชาวิศวกรรมเคมี คณะ วิศวกรรมศาสตร์ มหาวิทยาลัยเกษตรศาสตร์ (ADB)